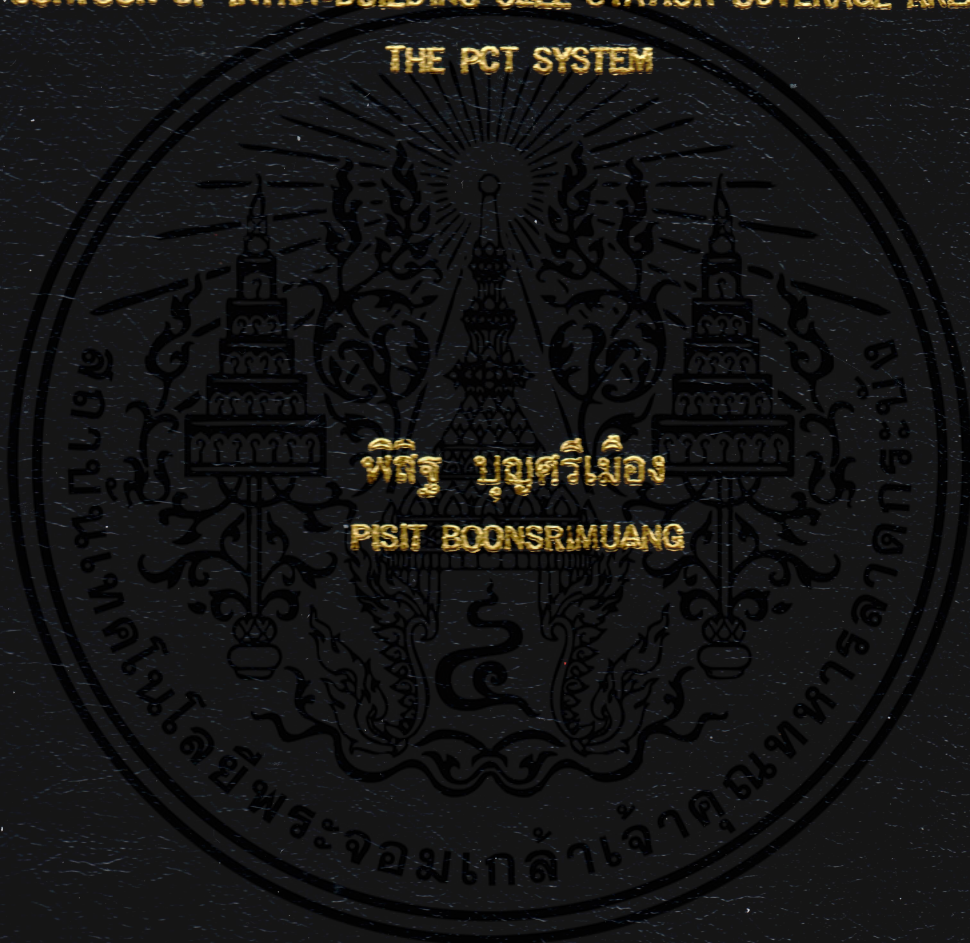


การหาพื้นที่ครอบคลุมเซลล์ภายในอาคารของระบบพีซีทีอย่างแม่นยำโดย

วิธี 1st order approximation method

1st ORDER APPROXIMATION METHOD TO PREDICT THE ACCURATE
CONTOUR OF INTRA-BUILDING CELL STATION COVERAGE AREA OF
THE PCT SYSTEM



วิทยานิพนธ์นี้เป็นส่วนหนึ่งของการศึกษาด้านหลักสูตรปริญญาวิศวกรรมศาสตรมหาบัณฑิต

สาขาวิชาวิศวกรรมไฟฟ้า

บัณฑิตวิทยาลัย

สถาบันเทคโนโลยีพระจอมเกล้าเจ้าคุณทหารลาดกระบัง

พ.ศ. 2548

ISBN 974-648-013-8

การหาพื้นที่ครอบคลุมเซลล์ภายในอาคารของระบบพีซีทีอย่างแม่นยำโดย

วิธี 1st order approximation method

1ST ORDER APPROXIMATION METHOD TO PREDICT THE ACCURATE
CONTOUR OF INTRA-BUILDING CELL STATION COVERAGE AREA OF
THE PCT SYSTEM



พิสิฐ บุญศรีเมือง

PISIT BOONSRIMUANG

วิทยานิพนธ์นี้เป็นส่วนหนึ่งของการศึกษาตามหลักสูตรปริญญาวิศวกรรมศาสตรมหาบัณฑิต

สาขาวิชาวิศวกรรมไฟฟ้า

บัณฑิตวิทยาลัย

สถาบันเทคโนโลยีพระจอมเกล้าเจ้าคุณทหารลาดกระบัง

พ.ศ. 2543

ISBN 974-648-013-8

เอกสารนี้เป็นเอกสารที่สงวนไว้สำหรับการใช้งานเพื่อการศึกษาดูเท่านั้น ไม่อนุญาตให้นำไปใช้ประโยชน์ด้านการค้า
ไม่ว่ากรณีใดๆทั้งสิ้น อีกทั้งห้ามมิให้ดัดแปลงเนื้อหาและข้อมูลของเอกสารทุกครั้งที่มีการนำไปใช้

เลขหม.....
เลขทะเบียน..... 38959
วัน, เดือน, ปี..... 20 ก.พ. 2544

b.....
i.....

**1ST ORDER APPROXIMATION METHOD TO PREDICT THE
ACCURATE CONTOUR OF INTRA-BUILDING CELL STATION
COVERAGE AREA OF THE PCT SYSTEM**



PISIT BOONSIRIMUANG

**A THESIS SUBMITTED IN PARTIAL FULFILLMENT
OF THE REQUIREMENT FOR THE DEGREE OF
MASTER OF ENGINEERING IN ELECTRICAL ENGINEERING
SCHOOL OF GRADUATE STUDIES**

KING MONGKUT 'S INSTITUTE OF TECHNOLOGY LADKRABANG

2000

ISBN 974-648-013-8



COPYRIGHT 2000

SCHOOL OF GRADUATE STUDIES

เอกสารนี้เป็นเอกสารที่สงวนไว้สำหรับการใช้งานเพื่อการศึกษาเท่านั้น ไม่อนุญาตให้นำไปใช้ประโยชน์ด้านการค้า
KING MONGKUT'S INSTITUTE OF TECHNOLOGY LADKRABANG
ไม่ว่ากรณีใดๆ หวังว่าผู้อ่านจะพึงสนใจและมีเหตุเกิดแบบลงเนื้อหา และต้องอ้างอิงถึงเจ้าของเอกสารทุกครั้งในการนำไปใช้

บัณฑิตวิทยาลัย
สถาบันเทคโนโลยีพระจอมเกล้าเจ้าคุณทหารลาดกระบัง
ใบรับรองวิทยานิพนธ์

หัวข้อวิทยานิพนธ์ การหาพื้นที่ครอบคลุมเซลล์ภายในอาคารของระบบพีซีทีอย่างแม่นยำ
โดยวิธี 1st order approximation method
1st ORDER APPROXIMATION METHOD TO PREDICT THE
ACCURATE CONTOUR OF INTRA-BUILDING CELL STATION
CONVERGENCE AREA OF THE PCT SYSTEM

ชื่อนักศึกษา นายพิสิฐ บุญศรีเมือง
รหัสประจำตัว 41061078
ปริญญา วิศวกรรมศาสตรมหาบัณฑิต
สาขาวิชา วิศวกรรมไฟฟ้า
อาจารย์ผู้ควบคุมวิทยานิพนธ์ รศ.ดร.สุวิทย์ พิงมา
อาจารย์ผู้ควบคุมวิทยานิพนธ์ร่วม ศ.มนูญ สุขเกษม

คณะกรรมการสอบวิทยานิพนธ์		ลายมือชื่อ
ศ.มนูญ	สุขเกษม	
พศ.ดร. ไกรสิน	ส่งวัฒนา	
รศ.ดร.สุวิพล	สิทธิชีวกาศ	
รศ.ดร.กอบชัย	เดชหาญ	
รศ.ดร.สุวิทย์	พิงมา	

วัน/เดือน/ปี ที่สอบ 10 พฤศจิกายน 2543 เวลา 12.00-13.00 น.

สถานที่สอบ ณ ตึก 12 ชั้น ชั้น 4 (ห้อง E12-404)



เอกสารนี้เป็นเอกสารที่สงวนไว้สำหรับการใช้งานเพื่อการศึกษาเท่านั้น ไม่สามารถนำออกนอกสถาบันฯ หรือเผยแพร่สู่สาธารณะโดยไม่ได้รับอนุญาต
ไม่ว่ากรณีใดๆทั้งสิ้น อีกทั้งห้ามมิให้คัดแปลงเนื้อหา และต้องสงวนลิขสิทธิ์ไว้ทุกประการ
วันที่... 19 ...เดือน... 2543 ...พ.ศ. 2543

หัวข้อวิทยานิพนธ์	การหาพื้นที่ครอบคลุมเซลล์ภายในอาคารของระบบพีซีทีอย่างแม่นยำโดยวิธี 1 st order approximation method
นักศึกษา	นาย พิสิฐ บุญศรีเมือง
รหัสประจำตัว	41061078
ปริญญา	วิศวกรรมศาสตรมหาบัณฑิต
สาขาวิชา	วิศวกรรมไฟฟ้า
พ.ศ.	2543
อาจารย์ผู้ควบคุมวิทยานิพนธ์	รศ.ดร. ถวิล พึ่งมา

บทคัดย่อ

วิทยานิพนธ์ฉบับนี้ศึกษาเกี่ยวกับลักษณะการแพร่กระจายคลื่นวิทยุภายในอาคารในย่านความถี่ 1900 MHz เพื่อนำมาใช้หารูปแบบการวางตำแหน่งเซลล์ภายในอาคารที่เหมาะสมของระบบโทรศัพท์พื้นฐานพกพาส่วนบุคคลพีซีที(PCT) ดังนั้นต้องการทราบปรากฏการณ์การแพร่กระจายคลื่นวิทยุเมื่อคลื่นวิทยุเดินทางผ่านวัสดุต่างๆ ที่นำมาใช้สร้างอาคารเช่น ผนัง กำแพงฯ ในวิทยานิพนธ์นี้ใช้วิธีประมาณค่าอันดับหนึ่ง (1st order approximation method) ปรับปรุงสมการการลดทอนทั้งในพื้นที่แนวสายตา (LOS: Line of Sight) และในพื้นที่อยู่นอกแนวสายตา (NLOS: Non-Line of Sight) ทำให้การหาค่าระดับของสัญญาณภายในอาคารได้อย่างแม่นยำและแสดงผลของค่าระดับสัญญาณเป็นเส้นรูปร่างพื้นที่ครอบคลุมเซลล์ภายในอาคาร

เอกสารนี้เป็นเอกสารที่สงวนไว้สำหรับการใช้งานเพื่อการศึกษาเท่านั้น ไม่อนุญาตให้นำไปใช้ประโยชน์ด้านการค้า ไม่ว่าจะกรณีใดๆทั้งสิ้น อีกทั้งห้ามมิให้คัดแปลงเนื้อหา และต้องอ้างอิงถึงเจ้าของเอกสารทุกครั้งที่มีการนำไปใช้

Thesis Title 1stOrder Approximation Method to Predict the Accurate Contour of
Intra-Building Cell Station Coverage Area of the PCT System

Student Mr. Pisit Boonsrimuang

Student ID. 41061078

Degree Master of Engineering

Year 2000

Thesis Advisor Assoc.Prof.Dr. Tawil Paungma

ABSTRACT

This thesis studied on intra-building radio propagation at 1900 MHz for determines a suitable position of intra-building cell station in the Personal Communication Telephone (PCT) system. So, it should know about the wave propagation phenomena when the travel wave passes through the other constructed materials such as obstruction, wall, etc. To use the 1st order approximation method for improving the attenuation equation of line of sight (LOS) and non-line of sight (NLOS) areas to determine the signal level of intra-building in order to predict more accurate contour of intra-building cell station coverage area in personal communication telephone system (PCT).

เอกสารนี้เป็นเอกสารที่สงวนไว้สำหรับการใช้งานเพื่อการศึกษาเท่านั้น ไม่อนุญาตให้นำไปใช้ประโยชน์ด้านการค้า
ไม่ว่ากรณีใดๆทั้งสิ้น อีกทั้งห้ามมิให้คัดแปลงเนื้อหา และต้องอ้างอิงถึงเจ้าของเอกสารทุกครั้งที่มีการนำไปใช้

กิตติกรรมประกาศ

วิทยานิพนธ์ฉบับนี้ สามารถสำเร็จลุล่วงได้ด้วยดี เนื่องจากได้รับคำแนะนำและช่วยเหลือจาก รศ.ดร. ถวิล พึ่งมา และ ศ. มนูญ สุขเกษม ตลอดจน ข้าพเจ้ารู้สึกซาบซึ้งในความอนุเคราะห์และ ขอบกราบขอบพระคุณอาจารย์ทั้งสองท่านเป็นอย่างสูง ขอบกราบขอบพระคุณ คุณพ่อ คุณแม่ ที่ให้ โอกาสและสนับสนุนข้าพเจ้าให้ได้เล่าเรียนมาจนถึงระดับปริญญาโทมาบัดนี้

ขอขอบพระคุณมูลนิธิเพื่อการสื่อสารและคอมพิวเตอร์(C&C)และบัณฑิตวิทยาลัยสถาบัน เทคโนโลยีพระจอมเกล้าเจ้าคุณทหารลาดกระบัง ที่ได้มอบทุนช่วยเหลือในศึกษาวิจัยระดับบัณฑิต ศึกษาศาสาโทรคมนาคม ในขณะที่กำลังศึกษาจนทำให้วิทยานิพนธ์ฉบับนี้สามารถสำเร็จลงด้วยดี

ขอบคุณเพื่อนๆ พี่ ๆ และน้องๆ ทุกคนในสถาบันเทคโนโลยีพระจอมเกล้าเจ้าคุณทหาร ลาดกระบัง ที่ช่วยเหลือให้คำแนะนำต่างๆ พร้อมทั้งช่วยตรวจทานและแก้ไขข้อผิดพลาดอื่นๆ จนวิทยานิพนธ์ฉบับนี้สำเร็จสมบูรณ์ยิ่งขึ้น

ความรู้และประโยชน์ใดๆที่ได้รับจากวิทยานิพนธ์ฉบับนี้ ข้าพเจ้าขอมอบความดีที่ได้ให้แก่ บิดา มารดาและผู้มีพระคุณทุกท่าน

พิสิฐ บุญศรีเมือง

เอกสารนี้เป็นเอกสารที่สงวนไว้สำหรับการใช้งานเพื่อการศึกษาเท่านั้น ไม่อนุญาตให้นำไปใช้ประโยชน์ด้านการค้า ไม่ว่ากรณีใดๆทั้งสิ้น อีกทั้งห้ามมิให้คัดแปลงเนื้อหา และต้องอ้างอิงถึงเจ้าของเอกสารทุกครั้งที่มีการนำไปใช้

สารบัญ

	หน้า
บทคัดย่อภาษาไทย.....	I
บทคัดย่อภาษาอังกฤษ.....	II
กิตติกรรมประกาศ.....	III
สารบัญ.....	IV
สารบัญตาราง.....	VII
สารบัญภาพ.....	VIII
รายการสัญลักษณ์.....	XI
บทที่ 1 บทนำ.....	1
1.1 อธิบายถึงปัญหาที่กำลังศึกษาและวิจัย.....	2
1.2 เพราะเหตุใดปัญหานี้จึงน่าสนใจ.....	3
1.3 มีการนำเสนอหลักการใหม่อย่างไร.....	3
1.4 ให้เปรียบเทียบกับหลักการที่มีอยู่เดิม.....	4
บทที่ 2 ทฤษฎีการแพร่กระจายคลื่นและความรู้เบื้องต้นของระบบของโทรศัพท์พื้นฐานพหุภาคส่วน บุคคลพีซีที.....	5
2.1 โดเมนเนลอินเตอร์เฟอร์เรนซ์.....	5
2.2 การลดทอนแบบลาร์จสเกล.....	8
2.2.1 ลองเทอมเฟดคิง.....	8
2.2.2 ชี้อเทอมเฟดคิง.....	9
2.3 การลดทอนแบบสมอลสเกล.....	11
2.3.1 ผลกระทบของสมอลสเกลเฟดคิง.....	12
2.4 การสะท้อนและการแพร่กระจายคลื่น.....	12
2.5 ความรู้เบื้องต้นของระบบของโทรศัพท์พื้นฐานพหุภาคส่วนบุคคลพีซีที.....	14
2.6 โครงสร้างของระบบโทรศัพท์พื้นฐานพหุภาคส่วนบุคคลพีซีที.....	16
2.7 คุณสมบัติทางเทคนิคของระบบโทรศัพท์พื้นฐานพหุภาคส่วนบุคคลพีซีที.....	17
2.8 โครงสร้างของช่องสัญญาณและความถี่ที่ใช้สำหรับโทรศัพท์พื้นฐานพหุภาคส่วนบุคคล พีซีที.....	18
2.9 คุณสมบัติสถานีลูกข่าย.....	19

เอกสารนี้เป็นเอกสารลิขสิทธิ์ของมหาวิทยาลัยเทคโนโลยีพระจอมเกล้าธนบุรี การนำเอกสารนี้ไปใช้ในการค้า
ไม่ว่ากรณีใดๆ ทั้งสิ้น ห้ามมิให้คัดแปลงเนื้อหา และต้องอ้างอิงถึงเจ้าของเอกสารทุกครั้งที่มีการนำไปใช้

สารบัญ(ต่อ)

หน้า

2.10 คุณสมบัติเครื่องลูกข่าย.....	20
บทที่ 3 การออกแบบ.....	22
3.1 การออกแบบฮาร์ดแวร์เครื่องดาต้าล็อกเกอร์.....	22
3.1.1 พีเอชเอสฟิลต์ดอณาไลเซอร์	23
3.1.1.1 ไวด์แบนด์สเปกตรัมดอณาไลเซอร์.....	23
3.1.1.2 แนร์โรว์แบนด์สเปกตรัมดอณาไลเซอร์.....	24
3.1.1.3 มัลติแทร็กซิง.....	24
3.1.1.4 ซิงเกิลแทร็กซิง.....	24
3.1.2 ดาต้าล็อกเกอร์.....	25
3.1.2.1 วงจรส่วนเชื่อมต่อ.....	26
3.1.2.2 วงจรเปลี่ยนระยะทางเป็นสัญญาณไฟฟ้า.....	27
3.1.2.3 หน่วยประมวลผลกลาง.....	28
3.1.3 ส่วนวัตรระยะทาง.....	33
3.1.4 คอมพิวเตอร์.....	33
3.1.5 ฮาร์ดดิสก์.....	34
3.2 การออกแบบโปรแกรมวิเคราะห์.....	35
3.2.1 มุมตกกระทบที่ระยะใดๆ.....	35
3.2.2 ผลกระทบของการลดทอนและการสะท้อน.....	38
บทที่ 4 การคำนวณพื้นที่ครอบคลุมและการออกแบบการวางตำแหน่งเซลล์เคลื่อนที่ภายในอาคาร...43	43
4.1 วิธีการที่ใช้ในหาค่าการสะท้อนและการลดทอนของสัญญาณ.....	43
4.1.1 โมเดลของเรย์แทร็กซิง	44
4.2 การหาระดับสัญญาณ โดยใช้โปรแกรม.....	49
4.3 วิธีหาพื้นที่ครอบคลุมของเซลล์เคลื่อนที่จากการวัดระดับสัญญาณ.....	55
บทที่ 5 การวิเคราะห์ข้อมูล.....	59
5.1 ผลการออกแบบการวางเซลล์.....	59

เอกสารนี้เป็นเอกสารที่สงวนไว้สำหรับการใช้งานเพื่อการศึกษาเท่านั้น ไม่อนุญาตให้นำไปใช้ประโยชน์ด้านการค้า

ไม่ว่ากรณีใดๆ

สารบัญ(ต่อ)

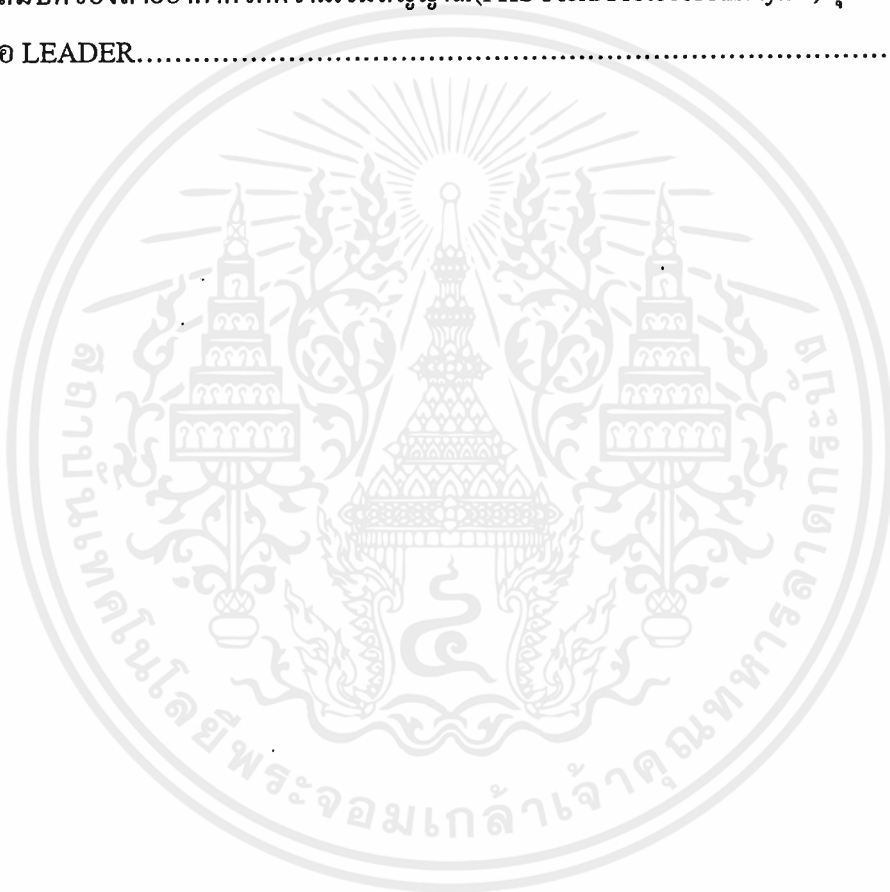
หน้า

5.2 เปรียบเทียบผลการทดลองกับผลที่ได้จากการคำนวณโดยซอฟต์แวร์.....	61
บทที่ 6 บทสรุป.....	63
6.1 ปัญหาที่เกิดขึ้น.....	64
6.2 สรุปผลและข้อเสนอแนะ.....	64
บรรณานุกรม.....	66
ภาคผนวก ก โปรแกรมเชื่อมโยงการทำงานเครื่องพีเอชเอสฟิลด์อนาไลเซอร์กับคอมพิวเตอร์.....	68
ภาคผนวก ข โปรแกรมแอสเซมบลี เครื่องควบคุมการทำงานและรับข้อมูลจากเครื่องพีเอชเอส ฟิลด์อนาไลเซอร์.....	79
ภาคผนวก ค คำสั่งของพีเอชเอสฟิลด์อนาไลเซอร์.....	90
ภาคผนวก ง คำสั่งของโปรแกรมออกแบบการวางเซลล์เตชั้น.....	102
ภาคผนวก จ ผลงานวิจัยในระหว่างการศึกษาที่ได้รับการตีพิมพ์เผยแพร่.....	105
ประวัติผู้เขียน.....	110

เอกสารนี้เป็นเอกสารที่สงวนไว้สำหรับการใช้งานเพื่อการศึกษาเท่านั้น ไม่อนุญาตให้นำไปใช้ประโยชน์ด้านการค้า
ไม่ว่ากรณีใดๆทั้งสิ้น อีกทั้งห้ามมิให้คัดแปลงเนื้อหา และต้องอ้างอิงถึงเจ้าของเอกสารทุกครั้งที่มีการนำไปใช้

สารบัญตาราง

ตารางที่	หน้า
2.1 การใช้งานความถี่ของระบบโทรศัพท์พื้นฐานพหุภาคส่วนบุคคลพีซีที.....	18
2.2 คุณสมบัติเฉพาะของเซสเตรชั่นภายในอาคาร	20
3.1 คุณสมบัติของเครื่องวัดความเข้มสัญญาณ(PHS Field Protocol Analyzer) รุ่น LF-960 ยี่ห้อ LEADER.....	24
3.2 คุณสมบัติของสายอากาศวัดความเข้มสัญญาณ(PHS Field Protocol Analyzer) รุ่น LF-960 ยี่ห้อ LEADER.....	25



เอกสารนี้เป็นเอกสารที่สงวนไว้สำหรับการใช้งานเพื่อการศึกษาเท่านั้น ไม่อนุญาตให้นำไปใช้ประโยชน์ด้านการค้า ไม่ว่าจะกรณีใดๆทั้งสิ้น อีกทั้งห้ามมิให้คัดแปลงเนื้อหา และต้องอ้างอิงถึงเจ้าของเอกสารทุกครั้งที่มีการนำไปใช้

สารบัญญรูป

รูปที่	หน้า
2.1 การสอดแทรกของช่องสัญญาณที่ใช้ความถี่ร่วมกัน.....	6
2.2 โคแชนแนลอินเตอร์เฟียร์เร้นซ์ที่เกิดขึ้นบริเวณของเซลล์.....	7
2.3 (ก) ค่าเฉลี่ยของลองเทอมเฟดดิ้ง.....	9
(ข) ลองเทอมเฟดดิ้งในรูปของลือกนอลมอลติสตีบิวชั่น.....	9
2.4 การแพร่กระจายคลื่นที่เกิดการสะท้อนของคลื่น.....	14
2.5 โครงข่ายโทรศัพท์พื้นฐานพหุพาสส่วนบุคคลพีซีที.....	16
2.6 แสดงการจัดช่องสัญญาณแบบ TDMA-TDD.....	17
2.7 สถานีลูกข่ายภายในอาคารของโทรศัพท์พื้นฐานพหุพาสส่วนบุคคลพีซีที.....	19
2.8 เครื่องลูกข่ายโทรศัพท์พื้นฐานพหุพาสส่วนบุคคลพีซีที.....	21
3.1 บล็อกไดอะแกรมเครื่องรับและคาล์อ์กเกอร์.....	23
3.2 ภาพถ่ายจริงของเครื่องพีเอชเอสฟิลด์อ์นาไลเซอร์.....	23
3.3 วงจรส่วนเชื่อมต่อระหว่างคอมพิวเตอร์กับพีเอชเอสฟิลด์อ์นาไลเซอร์.....	26
3.4 วงจรเปลี่ยนระยะทางเป็นสัญญาณไฟฟ้า.....	27
3.5 ตำแหน่งที่ติดตั้งแม่เหล็ก.....	27
3.6 วงจรที่สมบูรณ์ของวงจรเชื่อม.....	29
3.7 ภาพถ่ายจริงของวงจรเชื่อมต่อ.....	30
3.8 โฟว์ชาร์ทการทำงานของวงจรเชื่อมต่อ.....	31
3.9 โฟว์ชาร์ทการตั้งโหมดการทำงานของวงจรเชื่อมต่อ.....	32
3.10 แสดงหน้าต่างของโปรแกรมถึงกับเครื่องคาล์อ์กเกอร์.....	33
3.11 การสะท้อนของสัญญาณ 1 ครั้ง.....	36
3.12 การสะท้อนของสัญญาณ 2 ครั้ง.....	36
3.13 เปรียบเทียบระยะการเดินทางของคลื่นที่มีการสะท้อนอันดับ 1 กับ คลื่นที่เดิน โดยตรง.....	37
3.14 ระยะการเดินทางของคลื่นที่มีการสะท้อนอันดับ 1 (Dref1), 2 (Dref2) และ 3 (Dref3).....	37
3.15 (ก) ทิศทางการแพร่กระจายคลื่นผ่านกำแพงในแนวตั้ง.....	39
(ข) ทิศทางการแพร่กระจายคลื่นที่เกิดการสะท้อนจากผ่านกำแพงในแนวตั้ง.....	39
3.16 (ก) ทิศทางการแพร่กระจายคลื่นผ่านกำแพงในแนวนอน.....	40
(ข) ทิศทางการแพร่กระจายคลื่นที่เกิดการสะท้อนจากผ่านกำแพงในแนวนอน.....	40

สารบัญรูป(ต่อ)

หน้า

3.17 ไฟล์ชาร์ทการทำงานของโปรแกรมออกแบบการวางตำแหน่งเซลล์เตชัน.....	41
3.18 โปรแกรมออกแบบการวางเซลล์เตชัน โดยใช้โปรแกรมเมทซ์แคด(Mathcad).....	42
4.1 ทิศทางของคลื่นในแนวตรงและสะท้อนจากพื้นดิน.....	44
4.2 ระดับสัญญาณที่คำนวณจากเรย์โมเดล โดยกำหนดสนามเป็น H polarize ที่ $H_t = 4$ m และ $H_r = 1.5$ m ที่ความถี่ 1900MHz สัมประสิทธิ์การสะท้อนเท่ากับ -1	46
4.3 ระดับสัญญาณที่คำนวณจากเรย์โมเดล โดยกำหนดสนามเป็น V polarize ที่ $H_t = 4$ m และ $H_r = 1.5$ m ที่ความถี่ 1900MHz สัมประสิทธิ์การสะท้อนเท่ากับ -1	47
4.5 พื้นที่ครอบคลุมเซลล์ในแนวสายโดยทุเรย์โมเดล.....	49
4.6 แผนผังอาคารของตึกโทรคมนาคม ชั้น 1 คณะวิศวกรรมศาสตร์	50
4.7 (ก) กำแพงหรือฉากกั้นในแนวนอนทั้งหมดของตึกโทรคมนาคมชั้น 1	50
(ข) กำแพงหรือฉากกั้นในแนวตั้งทั้งหมดของตึกโทรคมนาคมชั้น 1.....	50
4.8 ลักษณะภาพตาข่าย 3มิติของสัญญาณที่คำนวณได้จากโปรแกรมของตึก โทรคมนาคม ชั้น 1.....	51
4.9 ลักษณะภาพ คอนทัวร์ของสัญญาณที่คำนวณได้จากโปรแกรมของตึก โทรคมนาคม ชั้น 1.....	51
4.10 (ก) กำแพงหรือฉากกั้นในแนวนอนทั้งหมดของตึกโทรคมนาคมชั้น 2	52
(ข) กำแพงหรือฉากกั้นในแนวตั้งทั้งหมดของตึกโทรคมนาคมชั้น 2	52
4.11 ลักษณะภาพตาข่าย 3มิติของสัญญาณที่คำนวณได้จากโปรแกรมของตึก โทรคมนาคม ชั้น 2.....	52
4.12 ลักษณะภาพ คอนทัวร์ของสัญญาณที่คำนวณได้จากโปรแกรมของตึก โทรคมนาคม ชั้น 2.....	53
4.13 (ก) กำแพงหรือฉากกั้นในแนวนอนทั้งหมดของตึกโทรคมนาคมชั้น 3	53
(ข) กำแพงหรือฉากกั้นในแนวตั้งทั้งหมดของตึกโทรคมนาคมชั้น 3	53
4.14 ลักษณะภาพตาข่าย 3มิติของสัญญาณที่คำนวณได้จากโปรแกรมของตึก โทรคมนาคม ชั้น 3.....	54

เอกสารนี้เป็นเอกสารที่สงวนไว้สำหรับการใช้งานเพื่อการศึกษาเท่านั้น ไม่อนุญาตให้นำไปใช้ประโยชน์ด้านการค้า ไม่ว่าจะกรณีใดๆทั้งสิ้น อีกทั้งห้ามมิให้คัดแปลงเนื้อหา และต้องอ้างอิงถึงเจ้าของเอกสารทุกครั้งที่มีการนำไปใช้

สารบัญรูป (ต่อ)

หน้า

4.15 ลักษณะภาพ คอนทัวร์ของสัญญาณที่คำนวณได้จากโปรแกรมของตึก โทรคมนาคม ชั้น 3.....	54
4.16 ภาพถ่ายจริงของเครื่องคาล์อกรีต.....	55
4.17 ความผิดพลาดที่เกิดจากระยะห่างของการแซมปลิงข้อมูล.....	56
4.18 ระดับสัญญาณที่วัดโดยใช้เครื่องคาล์อกรีตร่วมกับพีเอชเอสฟิลด์คานาไลเซอร์.....	57
4.20 ค่าการลดทอนของสัญญาณระหว่างชั้นภายในอาคาร.....	58
5.1 การแกว่งของสัญญาณที่ระยะ 35 เมตรพื้นที่นอกแนวสายตา(NLOS) ของตึก โทรคมนาคม ...	59
5.2 ความน่าจะเป็นของสัญญาณที่ระยะ35 เมตรพื้นที่นอกแนวสายตา(NLOS) ของตึก โทรคมนาคม.....	60
5.3 ภาพถ่ายจริงของเครื่องเงินเนอร์เรเตอร์HP-ESG-3000A.....	61
5.4 ระดับของสัญญาณในแนวสายตา(LOS) ของตึก โทรคมนาคม คณะวิศวกรรมศาสตร์ สถาบัน เทคโนโลยีพระจอมเกล้าฯ เจ้าคุณทหารลาดกระบัง.....	62
5.5 เปรียบระดับที่วัดกับสัญญาณที่ได้จากการคำนวณของสัญญาณในแนวสายตา(LOS) ของตึก โทรคมนาคมคณะวิศวกรรมศาสตร์ สถาบันเทคโนโลยีพระจอมเกล้าฯ เจ้าคุณทหาร ลาดกระบัง.....	62

เอกสารนี้เป็นเอกสารที่สงวนไว้สำหรับการใช้งานเพื่อการศึกษาเท่านั้น ไม่อนุญาตให้นำไปใช้ประโยชน์ด้านการค้า
ไม่ว่ากรณีใดๆทั้งสิ้น อีกทั้งห้ามมิให้คัดแปลงเนื้อหา และต้องอ้างอิงถึงเจ้าของเอกสารทุกครั้งที่มีการนำไปใช้

รายการสัญลักษณ์

PCS	: Personal Communication System
PHS	: Personal Handy-phone System
PCT	: Personal Communication Telephone System
IN	: Intelligent Network
MS	: Mobile Station
BS	: Base Station
PS	: Personal Station
CS	: Cell Station
TDMA	: Time Division Multiple Access
TDD	: Time Division Duplex
ISDN	: Integrated Service Digital Network
PSTN	: Public Switched Telephone Network
SS7	: Signaling System No.7
TOT	: Telephone Organization of Thailand
TA	: Telecom Asia Co., Ltd.
$\pi/4$ QPSK	: $\pi/4$ Quadrature Phase Shift Keying
SSP	: Service Switching Point
HLR	: Home Location Register

เอกสารนี้เป็นเอกสารที่สงวนไว้สำหรับการใช้งานเพื่อการศึกษาเท่านั้น ไม่อนุญาตให้นำไปใช้ประโยชน์ด้านการค้า
ไม่ว่ากรณีใดๆทั้งสิ้น อีกทั้งห้ามมิให้คัดแปลงเนื้อหา และต้องอ้างอิงถึงเจ้าของเอกสารทุกครั้งที่มีการนำไปใช้

บทที่ 1

บทนำ

การสื่อสารได้เข้ามามีบทบาทต่อชีวิตประจำวันมากยิ่งขึ้น การทำธุรกิจหรือการค้าต่างๆ มีความจำเป็นต้องพึ่งพาการสื่อสารเป็นสำคัญซึ่งผู้ที่มีการติดต่อสื่อสารที่ดีและรวดเร็วก็จะได้เปรียบกว่าผู้ที่มีการติดต่อสื่อสารที่ไม่ดีหรือช้ากว่า ทำให้ปริมาณความต้องการการสื่อสารที่สะดวกและรวดเร็วมีปริมาณเพิ่มมากขึ้น ซึ่งส่งผลทำให้มีผู้ที่คิดค้นการสื่อสารที่สะดวกและรวดเร็วออกมาหลายประเภท โทรศัพท์เคลื่อนที่(Mobile Phone) ก็เป็นระบบการสื่อสารที่มีความต้องการเพิ่มขึ้นอย่างรวดเร็วและก็มีผู้ผลิตระบบ โทรศัพท์เคลื่อนที่ออกมามากมายหลายระบบเช่น GSM, DECT, AMPS, PHS เป็นต้น ซึ่งการเลือกระบบโทรศัพท์เคลื่อนที่เพื่อใช้งานในแต่ละระบบให้เหมาะสมขึ้นกับผู้ใช้งานของแต่ละบุคคล ซึ่งแต่ละระบบมีข้อดีและข้อด้อยแตกต่างกันออกไป

ในประเทศไทยนั้นได้มีการเปิดให้บริการระบบโทรศัพท์พื้นฐานพกพาส่วนบุคคลพีซีที (PCT: Personal Communication Telephone System) ในย่านความถี่ 1900 MHz (1895-1918 MHz) โดยการนำเทคโนโลยีของระบบโทรศัพท์พกพาส่วนบุคคล PHS จากประเทศญี่ปุ่นมาทำการปรับปรุงเพื่อให้สอดคล้องกับสภาพแวดล้อมภายในประเทศ การที่เรียกระบบโทรศัพท์นี้ว่าเป็น “การสื่อสารส่วนบุคคล” เพราะว่ามีลักษณะลักษณะการใช้งานของโทรศัพท์ในระบบนี้การใช้ส่วนใหญ่จะอยู่ในพื้นที่ที่เป็นชีวิตประจำวัน เช่น ที่บ้าน ที่สำนักงาน ห้างสรรพสินค้า เป็นต้น โดยที่ระบบการสื่อสารส่วนบุคคลนี้กำลังเป็นที่ได้รับความนิยมเป็นอย่างมากตามเมืองหลวงของประเทศต่างๆ เนื่องจากมีข้อได้เปรียบตรงที่มีความจุของจำนวนผู้ใช้งานต่อพื้นที่สูง สาเหตุที่ทำให้ระบบการสื่อสารส่วนบุคคลนี้มีความจุต่อพื้นที่สูงเพราะว่าขนาดของเซลล์เสตชันที่มีขนาดเล็ก ซึ่งทำให้การวางเซลล์เสตชันให้สามารถใช้งานโทรศัพท์ส่วนบุคคลนี้ได้ในทุกๆพื้นที่จึงมีความยุ่งยาก ซับซ้อนและจำเป็นต้องใช้จำนวนของเซลล์เสตชันมากขึ้น ซึ่งสามารถแบ่งลักษณะการติดตั้งเซลล์เสตชันออกเป็นสองลักษณะใหญ่ๆด้วยกันคือ 1. การติดตั้งเซลล์เสตชันภายนอกอาคาร และ 2. การติดตั้งเซลล์เสตชันภายในอาคาร ซึ่งทั้งสองแบบนี้แตกต่างกันทั้งในเรื่องตัวเซลล์เสตชัน และการออกแบบการวางตำแหน่งเซลล์เสตชัน

การออกแบบการวางตำแหน่งเซลล์เสตชันก็จะสามารถแบ่งโมเดลที่ใช้งานออกเป็นการออกแบบการวางตำแหน่งเซลล์เสตชันภายนอกอาคารและการออกแบบการวางตำแหน่งเซลล์เสตชันภายในอาคาร ซึ่งโมเดลที่ใช้สำหรับการออกแบบนี้ก็จะมีผู้เสนอโมเดลที่มีลักษณะการใช้งานของแต่ละพื้นที่ที่แตกต่างกันเช่น พื้นที่ที่เป็นลักษณะของเมือง พื้นที่ที่เป็นลักษณะกึ่งเมือง พื้นที่ที่เป็นชนบท และพื้นที่ที่เป็นอาคารขนาดใหญ่ กลาง เล็ก ตามลำดับเป็นต้น เพื่อให้ประสิทธิภาพของระบบมี

ประสิทธิภาพที่ดี การออกแบบการวางตำแหน่งเซลล์เสตชันก็จำเป็นต้องเลือกประเภทของแต่ละโมเดลให้สอดคล้องตามแต่ละพื้นที่

เนื่องจากพื้นที่ภายในอาคารเป็นลักษณะพื้นที่ปิด การแพร่กระจายคลื่นภายในอาคารจะได้รับอิทธิพลของคลื่นที่สะท้อนจากพื้น ผนังและเพดานมากกว่าพื้นที่ภายนอกอาคารที่มีลักษณะที่เป็นพื้นที่เปิด ดังนั้นการคาดเดาการแพร่กระจายคลื่นที่คิดผลรวมของคลื่นที่เกิดจากการสะท้อนและการลดทอนที่เกิดจาก พื้น ผนังและเพดานจะให้ความคาดเคลื่อนที่น้อยกว่าการคาดเดาระดับของสัญญาณที่เกิดจากคลื่นที่เดินทางโดยตรงเพียงอย่างเดียว

1.1 อธิบายถึงปัญหาที่กำลังศึกษาและวิจัย

การสื่อสารในปัจจุบันมีความต้องการเพิ่มขึ้นอย่างรวดเร็ว ประเทศไทยจึงได้นำระบบการสื่อสารส่วนบุคคลเข้ามาใช้ เพื่อรองรับปริมาณการสื่อสารที่เพิ่มมากขึ้น โดยนำระบบ PHS มาใช้งาน ซึ่งทำงานอยู่ที่ย่านความถี่ 1900 MHz และได้มีการปรับปรุงระบบเพื่อให้เหมาะสมการใช้งานภายในประเทศไทย จึงเรียกระบบนี้ใหม่ว่าระบบโทรศัพท์พื้นฐานพกพาส่วนบุคคลพีซีที (PCT) เนื่องจากความถี่ที่ใช้ในการสื่อสารส่วนบุคคลมีความถี่มีแนวโน้มที่จะสูงขึ้น ซึ่งคุณสมบัติการแพร่กระจายคลื่นก็แตกต่างกัน เช่นในย่าน 1900MHz ก็จะแตกต่างจาก 800 MHz และ 900MHz ที่ใช้งานอยู่ ดังนั้นเพื่อให้ระบบโทรศัพท์พื้นฐานพกพาส่วนบุคคลมีประสิทธิภาพสูงขึ้น การศึกษาถึงการแพร่กระจายคลื่นจึงเป็นสิ่งจำเป็น

วิทยานิพนธ์ฉบับนี้เป็นการศึกษาเกี่ยวกับการแพร่กระจายคลื่นภายในอาคารในย่านความถี่ 1900MHz ซึ่งโดยทั่วไปลักษณะภายในอาคารจะมีพื้นที่เป็นลักษณะปิด มีการสะท้อนและการลดทอนของสัญญาณจากวัสดุต่างๆมากมายเช่น ผนัง กำแพง พื้นหรือเฟอร์นิเจอร์ ทำให้พื้นที่ครอบคลุมเซลล์ของแต่ละพื้นที่ภายในอาคารมีรูปแบบที่แตกต่างกันตามลักษณะของอาคารและวัสดุที่ใช้ในการก่อสร้าง ส่งผลให้การออกแบบการวางเซลล์ให้สามารถครอบคลุมในแต่ละพื้นที่ทำได้ยาก ดังนั้นเพื่อการออกแบบการวางเซลล์ภายในอาคารมีประสิทธิภาพยิ่งขึ้น จากการศึกษาถึงผลการสะท้อนและการลดทอนของสัญญาณ ก็จะนำสัมประสิทธิ์ของการสะท้อนและลดทอนของสัญญาณมาทำการปรับปรุงสมการให้หาค่าระดับสัญญาณได้ใกล้เคียงกับระดับของสัญญาณในพื้นที่ที่ใช้งานจริง นอกจากนี้ทำการซิมูเลชันหาระดับสัญญาณและพลอต (Plot) ค่าระดับสัญญาณในลักษณะของภาพคอนทัวร์ (Contour) เพื่อให้เห็นระดับของสัญญาณได้ชัดเจนและสะดวกในการออกแบบการวางเซลล์

1.2 เพราะเหตุใดปัญหานี้จึงน่าสนใจ

เนื่องจากระบบโทรศัพท์พื้นฐานพกพาส่วนบุคคลพีซีที (PCT) เป็นการนำเอาเทคโนโลยีของระบบ PHS ที่ใช้งานอยู่ในประเทศญี่ปุ่นมาปรับปรุงดังนั้นการออกแบบการวางเซลล์สำหรับใช้งาน

ในประเทศไทย จึงจำเป็นต้องมีการปรับปรุงการวางเซลล์ให้เหมาะสมกับสภาพแวดล้อมภายในประเทศไทย เพราะค่าสัมประสิทธิ์ของการสะท้อนและการลดทอนของสัญญาณเปลี่ยนไปตามรูปแบบของอาคาร, วัสดุที่นำมาสร้าง, เฟอร์นิเจอร์ ฯลฯ เพื่อช่วยให้การคาดคะเนระดับของสัญญาณเป็นไปได้อย่างแม่นยำ ในระบบโทรศัพท์พื้นฐานพหุภาคส่วนบุคคลพีซีที (PCT) การวางเซลล์เป็นแบบไมโครเซลล์คือเซลล์จะมีขนาดเล็ก เพื่อให้ระบบมีประสิทธิภาพจะต้องวางเซลล์ให้ครอบคลุมพื้นที่ได้ทั่วถึง เนื่องกำลังส่งของเซลล์เสถียรภายในอาคารมีกำลังส่งต่ำ พื้นที่ภายในอาคารมีความสลับซับซ้อน ทำให้การออกแบบการวางเซลล์เพื่อให้ครอบคลุมพื้นที่ทั่วถึงทำได้ยาก ดังนั้นเพื่อการออกแบบสะดวกและแม่นยำยิ่งขึ้น ก็นำจะผลของการศึกษาสัมประสิทธิ์การสะท้อนและการลดทอนของสัญญาณนำมาสร้างเป็นโปรแกรมเพื่อช่วยในการออกแบบ โดยโปรแกรมจะสร้างภาพของระดับสัญญาณในลักษณะภาพคอนทัวร์(Contour) ทำให้เข้าใจได้ง่าย ดังนั้นการออกแบบการวางเซลล์ภายในอาคารก็จะทำได้ง่ายและประหยัดเวลายิ่งขึ้น

1.3 มีการนำเสนอหลักการใหม่อย่างไร

การแพร่กระจายคลื่นได้มีการศึกษากันอย่างกว้างในหลายประเทศ ซึ่งสิ่งที่มีผลกระทบต่อ การแพร่กระจายคลื่นอย่างมาก นอกจากย่านความถี่แล้วก็จะเกิดจากสิ่งกีดขวางว่าสิ่งกีดขวางนั้นทำ จากวัสดุอะไร, หนาเท่าไร, กว้างเท่าไร ฯลฯ จากผลกระทบนี้ทำให้พื้นที่ครอบคลุมเซลล์มีลักษณะที่ เปลี่ยนแปลงไปตามรูปแบบของอาคารและวัสดุที่สร้างอาคาร เมื่อประเทศไทยนำระบบ PHS มาดัด แปลงเป็นระบบ PCT การออกแบบการวางเซลล์ภายในอาคารจำเป็นต้องปรับปรุงให้เหมาะสมเพราะ ว่ารูปร่างของอาคารและวัสดุที่นำมาสร้างเปลี่ยนแปลงไป เพื่อให้การคาดคะเนระดับของสัญญาณ ใกล้เคียงกับระดับของสัญญาณที่ได้จากวัดในพื้นที่ การคำนวณหาค่าระดับสัญญาณไม่ได้หาจาก การลดทอนของผนังหรือกำแพงแต่เพียงอย่างเดียว จำเป็นต้องพิจารณาผลการสะท้อนของสัญญาณ โดยจะใช้วิธีการของ 1st Order Approximate Method ประกอบการหาระดับของสัญญาณ จะทำให้ การหาพื้นที่ครอบคลุมเซลล์ภายในอาคารเป็นไปได้ถูกต้อง

1.4 ให้เปรียบเทียบกับหลักการที่มีอยู่เดิม

เนื่องจากความต้องการทางด้านการสื่อสารภายในประเทศไทยเพิ่มขึ้นอย่างรวดเร็ว องค์การ โทรศัพท์จึงได้อนุญาตให้เปิดบริการ โทรศัพท์ระบบใหม่ในย่านความถี่ 1900MHz ซึ่งคล้ายกับ ระบบ PHS ในประเทศญี่ปุ่น ความถี่ในย่าน 1900MHz เป็นย่านความถี่ใหม่ที่ใช้ในประเทศไทย ดังนั้นสมการการคาดคะเนระดับสัญญาณแบบเดิมที่ใช้ในประเทศญี่ปุ่นนั้นไม่สามารถที่จะใช้ใน ประเทศไทยได้เพราะสภาพแวดล้อมที่เปลี่ยนแปลงไปตามแต่ละประเทศ การคาดคะเนระดับของ สัญญาณจากสมการการลดทอนเพียงอย่างเดียวจะทำให้ค่าระดับสัญญาณดังกล่าวมีความคาดเคลื่อน

เพื่อให้เกิดความแม่นยำในการคาดคะเนระดับสัญญาณจึงนำสัมประสิทธิ์การสะท้อนของสัญญาณมาประกอบการพิจารณาค่าระดับของสัญญาณ ในวิทยานิพนธ์นี้ จึงเสนอวิธีการหาค่าระดับสัญญาณจากการสะท้อนและการลดทอนของสัญญาณโดยการใช้หลักการเรย์เทรซซิง (Ray tracing) และหลักการอิมเมจ(Image) ซึ่งเป็นหลักการที่เกี่ยวข้องกับการสะท้อนและการหักเหของคลื่น ในการออกแบบโปรแกรมจะคำนวณระดับสัญญาณตามเส้นทางของคลื่นบนแผนที่ ซึ่งเส้นทางดังกล่าวจะประกอบไปด้วยการสะท้อนและการหักเหที่เกิดขึ้นระหว่างเซลล์เสตชันและตัวเครื่องโทรศัพท์ โดยผลรวมของความแรงของสัญญาณที่ตำแหน่งใดๆจะแสดงออกมาในลักษณะของภาพคอนทัวร์(Contour)เทียบกับแผนที่ของอาคารต่างๆที่นำมาออกแบบ



เอกสารนี้เป็นเอกสารที่สงวนไว้สำหรับการใช้งานเพื่อการศึกษาเท่านั้น ไม่อนุญาตให้นำไปใช้ประโยชน์ด้านการค้า
ไม่ว่ากรณีใดๆทั้งสิ้น อีกทั้งห้ามมิให้คัดแปลงเนื้อหา และต้องอ้างอิงถึงเจ้าของเอกสารทุกครั้งที่มีการนำไปใช้

บทที่ 2

ทฤษฎีการแพร่กระจายคลื่นและความรู้เบื้องต้นของระบบของ โทรศัพท์พื้นฐานพกพาส่วนบุคคลพีซีที

ประสิทธิภาพของระบบโทรศัพท์สื่อสารไร้สายที่ติดตั้งส่วนหนึ่งมาจากการวางแผนเซลล์เพื่อให้สามารถครอบคลุมพื้นที่ได้อย่างทั่วถึง ดังนั้นเพื่อให้ระบบโทรศัพท์สื่อสารไร้สายทำงานได้อย่างเต็มประสิทธิภาพจึงมีความจำเป็นต้องศึกษาถึงการแพร่กระจายคลื่น, การลดทอนต่างๆของสัญญาณ, การเกิดการจางหายของสัญญาณ(Fading), การแทรกสอดของสัญญาณ(Interference)และอื่นๆ ฯลฯ เพื่อสามารถออกแบบวางแผนเซลล์ได้ครอบคลุม

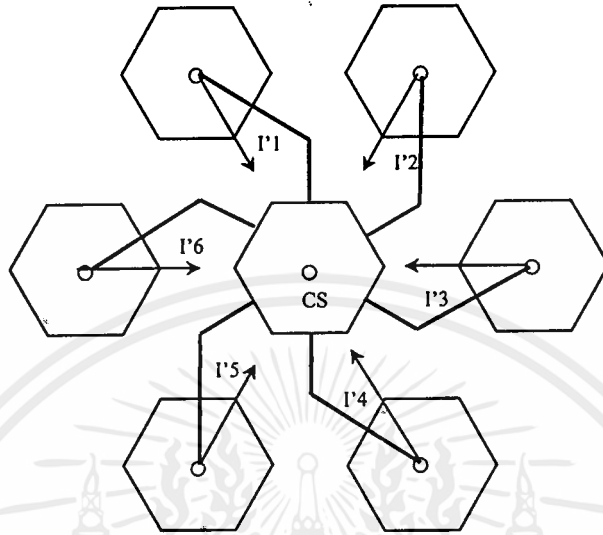
2.1 โคแชนแนลอินเตอร์เฟียร์เรนซ์

การเกิดอินเตอร์เฟียร์เรนซ์ของช่องสัญญาณที่เหมือนกันเป็นสิ่งที่เกิดขึ้นกับระบบโทรศัพท์ที่มีโครงสร้างแบบเซลล์ลาร์(Cellular) เพราะช่องสัญญาณที่เหมือนกันก็จะถูกใช้ในเซลล์อื่นๆที่อยู่ห่างออกไป การจัดช่องสัญญาณร่วมกันคือให้ช่องสามารถทำการสื่อสารได้ตั้งแต่สองช่องสัญญาณขึ้นโดยใช้ความถี่เดียวกัน การทำเช่นนี้เพื่อเพิ่มประสิทธิภาพของการใช้ความถี่ ในสภาพแวดล้อมที่ใช้ช่องสัญญาณร่วมกัน สมมติให้แต่ละสายอากาศมีพื้นที่ครอบคลุมสัญญาณในแต่ละเซลล์มีรัศมี R และระยะห่างระหว่างสองเซลล์ที่ใช้ช่องสัญญาณร่วมกันมีระยะห่างเป็น D ซึ่งอัตราส่วนระหว่าง R/D เป็นค่าที่สำคัญเกี่ยวกับโคแชนแนลอินเตอร์เฟียร์เรนซ์

$$a = D/R \tag{2.1}$$

ค่าของ a เรียกว่าโคแชนแนลรีดิวชันแฟคเตอร์ (Co-channel Reduction Factor) ค่าของ a สามารถหาได้จากอัตราส่วนระหว่างแอมพลิจูดการสอดแทรกของช่องสัญญาณเดียวกัน ดังนั้นรูปแบบการวางตำแหน่งของสายอากาศในพื้นที่ขนาดใหญ่ที่ติดตั้งขึ้นอยู่ค่าของโคแชนแนลรีดิวชันแฟคเตอร์ ซึ่งค่าอัตราส่วนของแอมพลิจูดโคแชนแนลอินเตอร์เฟียร์เรนซ์จะต้องมากกว่า 18 dB หรือเท่ากับ 63เปอร์เซ็นต์ ซึ่งสามารถหาได้จากสมการที่ 2.2 ซึ่งเป็นค่าที่กำหนดจากการพิจารณาคุณภาพของสัญญาณที่ได้รับจากเครื่องรับโทรศัพท์ โดยที่สัญญาณเสียงที่รับนี้ยังสามารถจะสื่อสารเข้าใจได้ซึ่งจะต้องเลือกตำแหน่งของเซลล์เซลล์ให้เหมาะสมเพื่อให้เกิดอินเตอร์เฟียร์เรนซ์น้อยที่สุด เพื่อให้เกิดความเข้าใจถึงลักษณะของโคแชนแนลอินเตอร์เฟียร์เรนซ์สามารถที่จะอธิบายการเกิดอินเตอร์เฟียร์เรนซ์ได้ดังสมการที่ 2.1

$$\frac{S}{N_0 + I} = \frac{S}{N_0 + \sum_{i=1}^M I_i} = 63.1 \quad (2.2)$$



รูปที่ 2.1 การสอดแทรกของช่องสัญญาณที่ใช้ความถี่ร่วมกัน

จากรูปที่ 2.1 ภายในพื้นที่ส่วนที่แรเงาคือเซลล์เดชนั้นที่ใช้ความถี่เดียวกันเป็นวิธีการนำความถี่กลับมาใช้ใหม่หรือเรียกว่า ฟรีควเอนซีรียูส(Frequency reuse)หมายถึงการทำให้พื้นที่ครอบคลุมเซลล์ทำได้หลายๆพื้นที่โดยใช้ความถี่เดียวกัน การวางเซลล์ในลักษณะนี้เราเรียกว่า โคเซลล์แนลเซลล์(Co-channel cells)และการเกิดอินเตอร์เฟียร์เร็นซ์ระหว่างสัญญาณที่จากเซลล์ที่เป็น โคเซลล์แนลเซลล์เรียกว่าโคเซลล์แนลอินเตอร์เฟียร์เร็นซ์(Co-channel interference) ซึ่งไม่เหมือนกับนอยส์(Noise) ที่เกิดจากอุณหภูมิหรือเทอร์มอลนอยส์(Thermal noise) สามารถเพิ่มขึ้นได้จากอัตราส่วนระหว่างสัญญาณต่อสัญญาณรบกวนหรือซิกแนลทูนอยส์เรโซ(SNR) โคเซลล์แนลอินเตอร์เฟียร์เร็นซ์ไม่สามารถทำให้ลดได้ง่ายโดยการเพิ่มกำลังส่งแครร์เรียร์ของเครื่องส่ง ที่เป็นเช่นนี้เพราะว่าการเพิ่มกำลังส่งแครร์เรียร์ของเครื่องส่งจะเกิดการสอดแทรกจากสัญญาณที่เป็นความถี่เดียวกันจากเซลล์ข้างเคียง วิธีการลดโคเซลล์แนลอินเตอร์เฟียร์เร็นซ์จะต้องทำการแยกโคเซลล์แนลเซลล์ออกจากกันโดยทางกายภาพซึ่งระยะห่างระหว่างเซลล์ที่น้อยที่สุดจะต้องห่างพอที่เป็นตัวกั้นของการแพร่กระจายคลื่น

จากการแพร่กระจายคลื่นในช่องสัญญาณ โมบายล์จะแสดงให้เห็นค่าเฉลี่ยของสัญญาณที่รับที่จุดใดๆ จะลดลงด้วยกฎของพลังงานตามระยะทางที่แยกออกกระหว่างเครื่องส่งและเครื่องรับพลังงานที่รับได้เฉลี่ย P_r ที่ระยะห่าง d จากสายอากาศเครื่องส่งสามารถประมาณได้โดย

เอกสารนี้เป็นเอกสารที่สงวนไว้สำหรับการใช้งานเพื่อการศึกษาดูเท่านั้น ไม่อนุญาตให้เผยแพร่ไปบนเว็บไซต์สาธารณะโดยไม่ได้รับอนุญาต
ไม่ว่ากรณีใดๆ หากมีข้อสงสัยหรือต้องการข้อมูลเพิ่มเติม กรุณาติดต่อฝ่ายวิชาการของเอกสารทุกครั้งที่มีการนำไปใช้

$$P_r = P_o \left(\frac{d}{d_o}\right)^{-n} \quad (2.3)$$

หรือ

$$P_r(\text{dBm}) = P_o(\text{dBm}) - 10n \log\left(\frac{d}{d_o}\right) \quad (2.4)$$

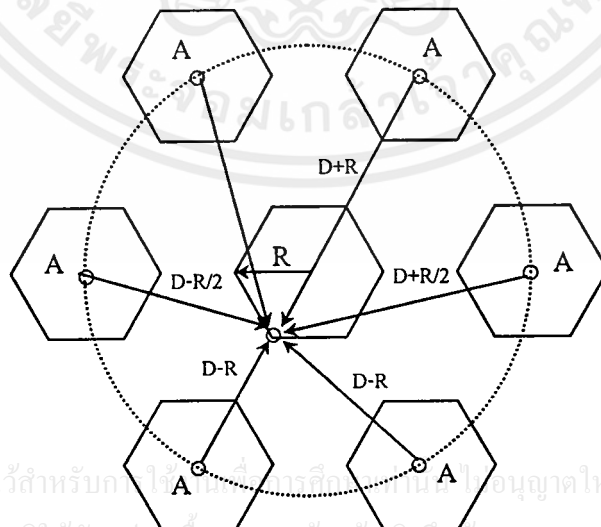
เมื่อ P_o คือระดับพลังงานอ้างอิงในบริเวณฟาร์ฟิลด์(Far field)ของสายอากาศโดยที่ d_o เป็นระยะห่างเล็กน้อยจากสายอากาศเครื่องส่งและ n เป็นเลขยกกำลังของพาทลอส

เมื่อพลังงานที่ส่งมาจากเครื่องของแต่ละเครื่องเท่ากันและพาทลอสของแต่ละเซลล์มีขนาดเท่ากัน S/I สามารถที่ประมาณได้ดังนี้

$$S/I = \frac{R^{-n}}{\sum_{i=1}^{i_o} (D_i)} \quad (2.5)$$

เมื่อพิจารณาเฉพาะในชั้นแรกของเซลล์ข้างเคียง ถ้าเกิดอินเตอร์เฟอเรนซ์จากทุกๆเซลล์ที่มีระยะทางเท่ากันจากเบสเสตชั่นที่ต้องการและถ้าระยะห่างมีค่าเท่ากับ D ระหว่างศูนย์กลางของเซลล์เขียนเป็นสมการง่ายๆได้ดังนี้

$$\frac{S}{I} = \frac{(D/R)^n}{i_o} = \frac{(\sqrt{3}N)^n}{i_o} \quad (2.6)$$



รูปที่ 2.2 โคเซลล์เนลอินเตอร์เฟอเรนซ์ที่เกิดขึ้นบริเวณของเซลล์

ดังนั้นสามารถที่จะประมาณการเกิด โคเชลแนลอินเตอร์เฟอเรนซ์ที่ขอบขั้วของเซลล์เช่นรูปที่ 2.2 จะเห็นว่าเป็นเป็นกลุ่มเซลล์ 7 โดยโมบายล์อยู่ที่ขอบของเซลล์ มีระยะห่าง $D-R$ จากเซลล์ข้างเคียงอยู่สองเซลล์และเซลล์อื่นๆประมาณได้เป็น $D+R/2, D, D-R/2$ และ $D+R$ เราสมมุติให้ n เท่ากับ 4 อัตราส่วนของสัญญาณต่อสัญญาณรบกวนสามารถประมาณได้ดังสมการที่ 2.5

$$\frac{S}{I} = \frac{R^{-4}}{2(D-R)^{-4} + (D-R/2)^{-4} + (D+R/2)^{-4} + (D+R)^{-4} + D^{-4}} \quad (2.7)$$

เมื่อขนาดของเซลล์แต่ละเซลล์ประมาณให้มีขนาดเท่ากัน โคเชลแนลอินเตอร์เฟอเรนซ์จะขึ้นอยู่กับพลังงานของเครื่องส่งให้เหมาะสมกับขนาดรัศมีของเซลล์และระยะห่างจุดศูนย์กลางของเซลล์ข้างเคียงหรือโคเชลแนลเซลล์ โดยอัตราการเพิ่มของ D/R ขึ้น อินเตอร์เฟอเรนซ์ลดได้โดยทำให้เกิดแนวกันระหว่างกำลังงานของ RF จากเซลล์ข้างเคียง ซึ่งระยะห่างระหว่างโคเชลแนลเซลล์จะสัมพันธ์ระยะห่างของพื้นที่ครอบคลุมเซลล์ที่เพิ่ม

2.2 การลดทอนแบบลาร์จสเกล

2.2.1 ลองเทอมเฟดดิ้ง

ลองเทอมเฟดดิ้งเป็น(Long-Term Fading $m(t)$ or $m(x)^2$) เป็นค่าเฉลี่ยของสัญญาณที่เกิดการจางหายของสัญญาณ หรือเรียกว่าโลคอลมีน (Local mean) โดยค่าลองเทอมเฟดดิ้งแต่ละค่าเป็นค่าเฉลี่ยของความเข้มสนามของแต่ละจุด สามารถอธิบายทางคณิตศาสตร์โดยค่า $\hat{m}(x_1)$ ที่ตำแหน่ง x_1 เขียนสมการได้ดังนี้

$$\hat{m}(x) = \frac{1}{2L} \int_{x_1-L}^{x_1+L} r(x) dx = \frac{1}{2L} \int_{x_1-L}^{x_1+L} m(x) r_0(x) dx \quad (2.8)$$

สมมุติให้ $\hat{m}(x_1)$ เป็นค่าเฉลี่ยที่ตำแหน่ง x_1 จะได้

$$m(x = x_1) = \hat{m}(x = x_1) \quad x_1 - L < x < x_1 + L$$

โดย L เป็นช่วงความยาวที่เลือก

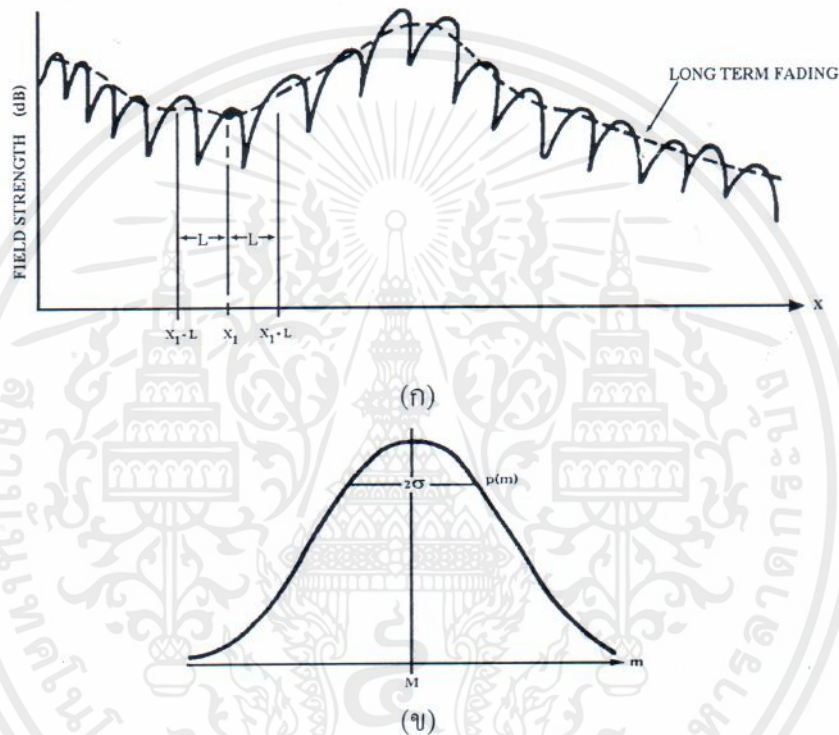
$$\hat{m}(x) = \hat{m}(x) \cdot \frac{1}{2L} \int_{x_1-L}^{x_1+L} r_0(x) dx \quad (2.9)$$

เอกสารนี้เป็นเอกสารที่สงวนลิขสิทธิ์ไว้เพื่อการศึกษาเท่านั้น ไม่อนุญาตให้นำไปใช้ประโยชน์ทางการค้า
ไม่ว่ากรณีใดๆทั้งสิ้น อีกทั้งห้ามมิให้ตีพิมพ์ลงเนื้อหา และต้องอ้างอิงถึงเจ้าของเอกสารทุกครั้งที่มีการนำไปใช้

กำหนดให้ค่าของ $\bar{m}(x_1)$ มีค่าใกล้เคียงกับความสัมพันธ์เป็น

$$\frac{1}{2L} \int_{x_1-L}^{x_1+L} r_0(x) dx \rightarrow 1 \quad (2.10)$$

ลองเทอมเฟดดิ้งของ $m(x)$ ส่วนใหญ่เกิดจากสภาพภูมิประเทศและสภาพแวดล้อมระหว่างเครื่องส่งและเครื่องรับเช่นภูเขา, บ้านเรือนต่างๆ ซึ่งสามารถแสดงให้เห็นดังลักษณะของการเฟดดิ้งได้ดังรูปที่ 2.3(ก)



รูปที่ 2.3 (ก) ค่าเฉลี่ยของลองเทอมเฟดดิ้ง

(ข) ลองเทอมเฟดดิ้งในรูปของล็อกนออลมอลติสตีบิวชัน

ลองเทอมเฟดดิ้งเกิดจากลักษณะของสภาพแวดล้อมที่แตกต่างกันสามารถเขียนอยู่ในรูปของล็อกนออลมอลติสตีบิวชัน (Log-normal distribution) โดยใช้วิธีของสถิติเขียนเป็นรูปได้ดังรูปที่ 2.3(ข)

2.2.2 ช็อทเทอมเฟดดิ้ง

เอกสารนี้เป็นเอกสารสงวนลิขสิทธิ์สำหรับใช้งานเพื่อการศึกษาเท่านั้น ไม่อนุญาตให้นำไปใช้ประโยชน์ด้านการค้า

ไม่ว่ากรณีใดๆ ทั้งสิ้น ช็อทเทอมเฟดดิ้ง (Short-Term Fading) เกิดจากสัญญาณที่สะท้อนมาจากหลายทิศทางของ

เครื่องส่งที่เกิดจากกระจายจากสิ่งต่างเช่น บ้าน, ติก หรือสิ่งก่อสร้างที่มนุษย์ก่อสร้าง สามารถที่จะแบ่งกรณีการเกิดช็อทเทอมเฟดดิ้งระหว่างเครื่องรับและเครื่องส่งได้เป็น 5 กรณี

กรณี 1 เครื่องรับอยู่กับที่ แต่รอบๆ มีวัตถุที่เคลื่อนที่อยู่ ซึ่งสัญญาณเกิดการเฟดคั้งขึ้นอยู่กับปริมาณการจลาจลของรถยนต์และระยะห่างระหว่าง

กรณี 2. เกิดจากเครื่องรับเคลื่อนที่โดยใช้ความเร็ว V และรอบๆ ไม่มีการกระจายของสัญญาณ ซึ่งสามารถสัญญาณที่รับเข้ามาเป็นสมการได้ดังนี้ ให้มุมตกกระทบเป็นมุม θ

$$s_r = A \exp[j(2\pi f_i t - \beta x \cos \theta)] \quad (2.11)$$

β เรียกว่าตัวเลขของคลื่น จะได้ว่า $\beta = \frac{2\pi}{\lambda}$ และ λ เป็นความยาวคลื่น ในเทอมของ $(j2\pi f_i t)$ เป็นคอมเพล็กซ์เอ็กโปเนนเชียลและ f_i เป็นความถี่ของเครื่องส่งในไมโครโดเมน x แทนได้โดย $x = Vt$ เมื่อ V เป็นความเร็วของเครื่องรับ A เป็นแอมพลิจูด เขียนเป็นสมการใหม่ได้ดังนี้

$$s_r = A \exp[j2\pi(f_i - \frac{V}{\lambda} \cos \theta)t] \quad (2.12)$$

เมื่อ f_D เป็น กำหนดให้ความถี่คืออปเปอร์ (Doppler frequency)

$$f_D = \frac{V}{\lambda} \cos \theta \quad (2.13)$$

ซึ่งความถี่ที่รับได้โดยมีการคืออปเปอร์คือ

$$f_r = f_i - \frac{V}{\lambda} \cos \theta \quad (2.14)$$

กรณี 3 โมบายล์เคลื่อนที่ด้วยความเร็ว V เคลื่อนที่ไปบนถนนระหว่างและมีกระจายของสัญญาณหนึ่งสัญญาณ สัญญาณที่รับเข้ามาแทนโดยสมการที่ 2.11 เมื่อ $\theta = 0$ ได้เป็น

$$A \exp[j2\pi(f_i - \frac{V}{\lambda} t)t] \quad (2.15)$$

สมมุติให้การสะท้อนของสัญญาณเป็นไปอย่างสมบูรณ์ คลื่นสะท้อนออกมาในทางตรงกันข้าม ($\theta = 180$) จะได้

$$-A \exp[j2\pi(f_i + \frac{V}{\lambda} t)t] \quad (2.16)$$

ผลของการรวมสัญญาณทั้งสองสัญญาณ

$$s_r = (Ae^{-j2\pi(V/\lambda)t} - Ae^{j2\pi(V/\lambda)t})e^{j2\pi f_c t} \quad (2.17)$$

กรณี 4. สมมุติให้คลื่นที่รับเข้ามามีทิศทางตรงกันข้ามกำหนดให้ $\theta = 0^\circ$ และ $\theta = \theta_1^\circ$ สมมุติให้คลื่นสะท้อนทั้งสองมีแอมพลิจูดเท่ากัน ตามสมการที่ 2.11 สามารถคำนวณการเฟดดิ้งของสัญญาณที่รับได้ดังนี้

$$\begin{aligned} s_r &= Ae^{j2\pi f_c t} (e^{-j\beta x} + e^{-j\beta x \cos \theta_1}) \\ &= Ae^{j2\pi f_c t} \cdot 2e^{j\beta x(1+\cos \theta_1)/2} \cdot \cos\left(\frac{\beta x}{2} - \frac{\beta x}{2} \cos \theta_1\right) \end{aligned} \quad (2.18)$$

กรณี 5. สมมุติให้มีการสะท้อนจำนวน N คลื่นและไม่มีทิศทาง ความน่าจะเป็นของคลื่นที่รับเข้ามีค่าเท่ากันทุกๆด้าน สัญญาณที่เครื่องรับ โมบายล์ เข้าได้เป็น

$$s_r = \sum A_i e^{-j2\pi f_c t} \cdot e^{j\beta V_i \cos \theta_i} \quad (2.19)$$

เมื่อ f_c เป็นความถี่ของเครื่องส่ง, V เป็นความเร็วในการเคลื่อนที่ของโมบายล์ และ θ เป็นทิศทางของคลื่นที่รับเข้ามา

2.3 การลดทอนแบบสมอลสเกล

การลดทอนแบบสมอลสเกล (Small scale) หรือเรียกง่าย ๆ ว่าการเฟดดิ้ง (Fading) ใช้อธิบายการเปลี่ยนแปลงสัญญาณอย่างรวดเร็วทางด้านแอมพลิจูดของสัญญาณ การเฟดดิ้งของสัญญาณเกิดจากการสอดแทรกของสัญญาณตั้งแต่สองสัญญาณหรือมากกว่าสองสัญญาณ โดยเมื่อสัญญาณส่งออกจากเครื่องส่งและไปถึงเครื่องรับที่เวลาต่างกันซึ่งเราจะเรียกว่า มัลติพาทเวฟ (Multi-path wave) ผลรวมของการสัญญาณที่รับได้ทำให้มีการเปลี่ยนแปลงทั้งทางด้านแอมพลิจูด (Amplitude) และทางด้านเฟส (Phase) ซึ่งจะขึ้นอยู่กับความเข้มของสนามที่แพร่กระจายและความสัมพันธ์ของเวลาที่ใช้ในการแพร่กระจายคลื่นและเบนคิ้วทของสัญญาณส่ง.

เอกสารนี้เป็นเอกสารที่สงวนไว้สำหรับการใช้งานเพื่อการศึกษาเท่านั้น ไม่อนุญาตให้นำไปใช้ประโยชน์ด้านการค้า ไม่ว่ากรณีใดๆทั้งสิ้น อีกทั้งห้ามมิให้คัดแปลงเนื้อหา และต้องอ้างอิงถึงเจ้าของเอกสารทุกครั้งที่มีการนำไปใช้

2.3.1 ผลกระทบของสมอลสเกลเฟดดิ้ง(Small-Scale Fading)

ปัจจัยทางด้านกายภาพหลายอย่างของช่องการแพร่กระจายคลื่นวิทยุที่มีผลกระทบแบบสมอลสเกล ซึ่งประกอบดังต่อไปนี้

-มัลติพาธ โพรพาเกชัน(Multi-path Propagation) คือการอธิบายวัตถุที่มีการสะท้อนและการแพร่กระจายในช่องสัญญาณ โดยทำเป็นค่าคงที่ของแต่ละสภาพแวดล้อมที่ทำให้เกิดการจากหายของพลังงานในแอมพลิจูด, เฟสและเวลา

-ความเร็วของโมบาย(Speed of the mobile) คือการเคลื่อนของโมบายล์(Mobile) ที่สัมพันธ์กันระหว่างเบสสเตชัน(Base station) จากการมอดดูเลทความถี่แบบสุ่มเป็นตัวกำหนดความแตกต่างของการดอปเปลอร์(Doppler)ในต่อองค์ประกอบของทุกๆทิศของสัญญาณ ดอปเปลอร์จะเป็นบวกหรือว่าเป็นลบขึ้นอยู่กับว่าเครื่องรับสัญญาณ โมบายล์วิ่งผ่านไปหรือวิ่งเข้าหาเบสสเตชัน

-ความเร็วของวัตถุรอบๆ(Speed of surrounding objects) คือถ้าวัตถุในในบริเวณที่แพร่กระจายคลื่นมีการเคลื่อนที่ ถ้าวัตถุที่อยู่รอบๆมีการเคลื่อนที่มากกว่าการเคลื่อนที่ของโมบายล์เมื่อนั้นผลกระทบหลักก็จะเป็นสมอลสเกลเฟดดิ้ง ส่วนอื่นที่มีการเคลื่อนที่ของวัตถุอาจไม่ต้องสนใจและความเร็วของ โมบายล์เท่านั้นที่จำเป็นจะต้องพิจารณา

-แบนด์วิธการส่งสัญญาณ(The Transmission bandwidth of the signal) ถ้าแบนด์วิธของสัญญาณคลื่นวิทยุที่ส่งกว้างกว่าแบนด์วิธของสัญญาณในมัลติพาธแชลแนล สัญญาณที่รับได้จะมีการสูญเสียแต่ความเข้มของสัญญาณที่รับได้จะไม่จางหายในทุกๆพื้นที่ เท่ากับว่าแบนด์วิธของคลื่นวิทยุที่ส่ง

2.4 การสะท้อนและการแพร่กระจายคลื่น

แอมพลิจูด(Amplitude) และเฟส(Phase) ของคลื่นจะขึ้นอยู่กับสัมประสิทธิ์การสะท้อนของพื้นผิวนั้นๆ ณ ตำแหน่งที่เกิดการสะท้อนและความแตกต่างของโพลาไรซ์(Polarization) ทางด้านแนวตั้งและแนวนอน ในทางปฏิบัติพื้นผิวของวัสดุต่างๆส่วนใหญ่จะไม่เป็นทั้งตัวนำที่สมบูรณ์และฉนวนที่สมบูรณ์ซึ่งสัมประสิทธิ์การสะท้อนจะขึ้นอยู่กับชนิดของวัสดุต่างๆ ดังนั้นในทางปฏิบัติก็จะมีค่าคงที่ความเป็นฉนวน ϵ (Dielectric constant) และค่าความนำ σ (Conductivity)

คลื่นทางแนวนอน(Horizontally-polarized wave) ที่ตกกระทบพื้นผิววัสดุ(สมมุติให้พื้นผิวของวัสดุเป็นพื้นเรียบ) สัมประสิทธิ์การสะท้อนสามารถเขียนได้ดังสมการต่อไปนี้

$$\rho_h = \frac{\sin \psi - \sqrt{(\epsilon/\epsilon_0 - j\sigma/\omega\epsilon_0) - \cos^2 \psi}}{\sin \psi + \sqrt{(\epsilon/\epsilon_0 - j\sigma/\omega\epsilon_0) - \cos^2 \psi}} \quad (2.20)$$

เอกสารนี้เป็นเอกสารที่สงวนไว้ใช้เฉพาะในวงจำกัดเท่านั้น ไม่อนุญาตให้นำไปใช้ประโยชน์ด้านการค้า
ไม่ว่ากรณีใดๆทั้งสิ้น อย่างไรก็ตามขอสงวนสิทธิ์ในสิ่งที่ปรากฏในเอกสารฉบับนี้ และขอสงวนสิทธิ์ในสิ่งที่ปรากฏในเอกสารฉบับนี้

เมื่อ ω เป็นความถี่เชิงมุมของคลื่นและ ϵ_0 ค่าคงที่ความเป็นฉนวนของอากาศ ϵ_r เท่ากับค่าความสัมพัทธ์ของค่าคงที่ความเป็นฉนวนของพื้นผิววัสดุได้เป็น

$$\rho_h = \frac{\sin \psi - \sqrt{(\epsilon_r - jx) - \cos^2 \psi}}{\sin \psi + \sqrt{(\epsilon_r - jx) - \cos^2 \psi}} \quad (2.21)$$

เมื่อ $x = \frac{\sigma}{\omega \epsilon_0}$

คลื่นทางแนวตั้ง (Vertical-polarized wave) สามารถเขียนได้เป็น

$$\rho_v = \frac{(\epsilon_r - jx) \sin \psi - \sqrt{(\epsilon_r - jx) - \cos^2 \psi}}{(\epsilon_r - jx) \sin \psi + \sqrt{(\epsilon_r - jx) - \cos^2 \psi}} \quad (2.22)$$

จากสมการ (2.21) และ (2.22) แสดงให้เห็นว่าสัมประสิทธิ์ ρ_h และ ρ_v จะเป็นจำนวนจินตภาพ ซึ่งคลื่นที่เกิดจากการสะท้อนนั้นจะมีความแตกต่างทั้งขนาดและเฟส ซึ่งทั้งสมการที่ (2.21) และ (2.22) จะแสดงให้เห็นว่าคลื่นที่ตกกระทบและคลื่นที่เกิดการสะท้อนมีค่าใกล้เคียงกัน 180 องศา ของทุกๆมุมตกกระทบและทุกๆค่าความนำของพื้นผิววัสดุ

$$\rho_h = |\rho_h| \angle \theta = 1 = \angle 180^\circ = -1 \quad (2.23)$$

มุมของการตกกระทบเพิ่มขึ้นเมื่อ $|\rho_h|$ และ θ มีการเปลี่ยนแปลงแต่จะมีการเปลี่ยนแปลงเพียงเล็กน้อย การเปลี่ยนแปลงที่มีผลกระทบอย่างมากขึ้นอยู่กับความถี่และค่าความนำของพื้นผิววัสดุ

การสะท้อนของสนามจะไม่มี ความแตกต่างระหว่างโพลาไรซ์ทางแนวตั้งและโพลาไรซ์ทางแนวนอนซึ่งยังคงใช้สมการที่(2.21) ดังนั้นเมื่อ ψ มีค่าเพิ่มขึ้น จะปรากฏความแตกต่างให้เห็น

การแพร่กระจายคลื่นทั้งหมดของพื้นผิวที่มีการสะท้อน (Propagation over a plane reflecting surface) ระยะห่างที่น้อยกว่า 10 กิโลเมตร สามารถที่ตัดจะผลกระทบที่เกิดจากความโค้งของพื้นผิวโลกโดยสมมุติให้พื้นผิวแบนและเรียบแสดงให้เห็นดังรูปที่ 2.4 เมื่อสมมุติให้สนามที่ตกกระทบมีค่าดังนี้ $\rho = -1$ แทนค่าในสมการ

$$\begin{aligned} E &= E_d [1 - \exp(-j\Delta\phi)] \\ &= E_d [1 - \cos \Delta\phi + j \sin \Delta\phi] \end{aligned} \quad (2.24)$$

จะได้เป็น

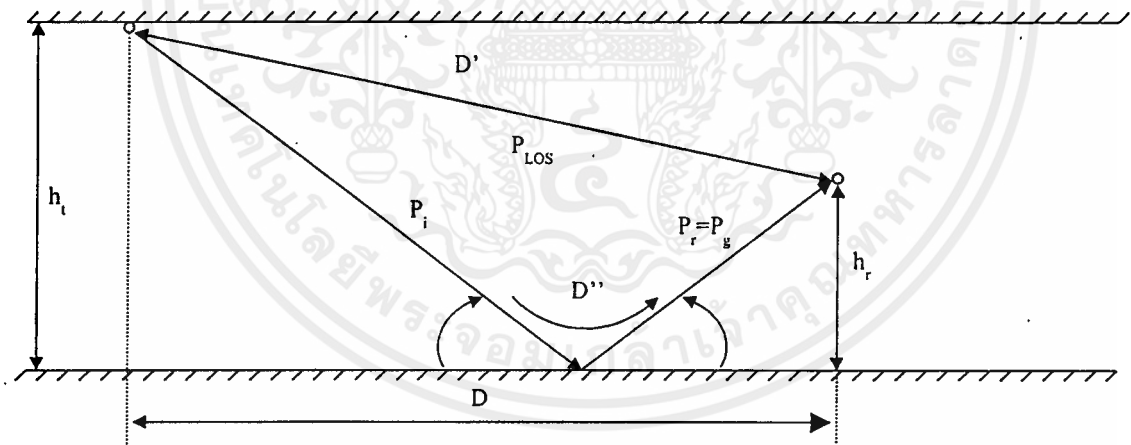
$$\begin{aligned} |E| &= |E_d| \left[1 + \cos^2 \Delta\phi - 2 \cos \Delta\phi + \sin^2 \Delta\phi \right]^{1/2} \\ &= 2|E_d| \sin \frac{\Delta\phi}{2} \end{aligned} \quad (2.25)$$

จะได้

$$|E| = 2|E_d| \sin \left(\frac{2\pi h_T h_R}{\lambda d} \right) \quad (2.26)$$

เพาเวอร์ที่รับได้ P_R จะแปรตามค่าของ E^2

$$\begin{aligned} P_R &= 4|E_d|^2 \sin^2 \left(\frac{2\pi h_T h_R}{\lambda d} \right) \\ &= 4P_T \left(\frac{\lambda}{4\pi d} \right)^2 G_T G_R \sin^2 \left(\frac{2\pi h_T h_R}{\lambda d} \right) \end{aligned} \quad (2.27)$$



รูปที่ 2.4 การแพร่กระจายคลื่นที่เกิดการสะท้อนของคลื่น

2.5 ความรู้เบื้องต้นของระบบของโทรศัพท์พื้นฐานพกพาส่วนบุคคลพีซีที

ระบบโทรศัพท์ PHS มีชื่อย่อมาจากคำว่า Personal Handy-phone System มีความหมายว่าเป็นโทรศัพท์แบบพกพาติดตัว โดยหลักการแล้วระบบโทรศัพท์พีเอชเอสคือระบบโทรศัพท์ไร้สายแบบดิจิตอล(Digital cordless telephone) ระบบพีเอชเอสถูกพัฒนาขึ้นโดยประเทศญี่ปุ่น ซึ่งยังมีอีก 2 ระบบที่ถูกพัฒนาขึ้นมาพร้อมกัน คือระบบ DECT (DECT: Digital European Cordless) ที่พัฒนา

โดยกลุ่มประเทศยุโรปและระบบ PACS (PACS: Personal Advanced Cordless System) ได้รับการพัฒนาโดยประเทศสหรัฐอเมริกา จุดประสงค์ของการออกแบบระบบ PHS ก็เพื่อที่จะนำมาใช้เป็นบริการเสริมของโครงข่ายโทรศัพท์พื้นฐาน PSTN (PSTN: Public Switched Telephone Network) โดยที่สามารถใช้กับระบบ SPC (SPC: Store Program Control) หรือระบบ ISDN ก็ได้และจะให้ประสิทธิภาพสูงเมื่อใช้กับคู่สายโทรศัพท์ระบบ ISDN ทั้งนี้เพราะโทรศัพท์ PHS สามารถให้บริการได้ถึงระดับบริการมัลติมีเดีย คือ สามารถให้บริการได้หลายรูปแบบทั้งการส่งสัญญาณเสียง ส่งข้อมูลและภาพได้ โทรศัพท์พกพาส่วนบุคคล PHS นั้นมีความสามารถในการให้บริการได้ 5 รูปแบบด้วยกันคือ

1. สามารถติดต่อกันระหว่างเครื่องลูกข่าย PS (PS: Personal Station) ด้วยกันได้ โดยไม่ต้องอาศัยเซลล์สเตชัน CS (CS: Cell Station) คือ มีลักษณะการติดต่อเหมือนเครื่องรับ-ส่ง(Transceiver) ทำให้สามารถใช้ติดต่อกันในรัศมีประมาณ 100 เมตรได้แบบเดียวกับการใช้อินเตอร์คอมไร้สาย (Wireless intercom) ซึ่งเหมาะสำหรับใช้ในการติดต่อกันภายในบ้านหรือสำนักงานเป็นอย่างยิ่ง

2. ใช้งานในลักษณะเป็นเครื่องโทรศัพท์ไร้สาย(Cordless Telephone) เมื่อติดตั้งสถานีเซลล์สเตชัน HBS (HBS: Home Base Station) เข้ากับโครงข่ายโทรศัพท์พื้นฐานที่บ้าน โดยที่เครื่องลูกข่ายPS ก็สามารถโทรเข้าและออกได้เช่นเดียวกับโทรศัพท์ไร้สายทั่วไป ซึ่งเลขหมายของโทรศัพท์ PHS จะเป็นหมายเลขเดียวกับโทรศัพท์ที่บ้าน

3. สามารถใช้ในสำนักงานร่วมกับชุมสายปลายทางแบบไร้สาย WPABX (WPABX: Wireless Private Automatic Branch exchange) ในลักษณะของโทรศัพท์ไร้สายในสำนักงานโดยหมายเลขของโทรศัพท์ PHS จะเป็นหมายเลขเดียวกับหมายเลขภายในสำนักงานนั้นๆซึ่งจะช่วยให้มีความสะดวกในการติดต่อกันภายในหน่วยงานและยังประหยัดค่าใช้จ่ายได้เช่นเดียวกับโทรศัพท์ภายในสำนักงานทุกประการ

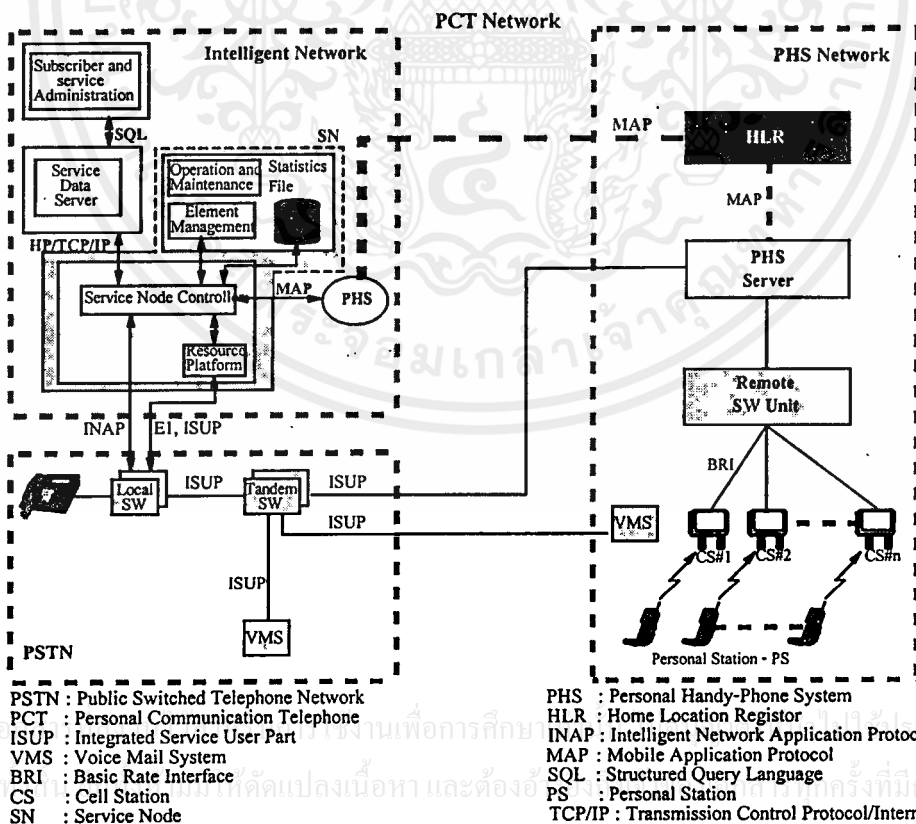
4. สามารถใช้งานนอกอาคารได้ โดยมีเป้าหมายหลักของการให้บริการนอกอาคาร เช่นบนถนน, สถานีรถไฟ, สวนสาธารณะหรือทดแทนการใช้โทรศัพท์หยอดเหรียญ โดยผู้ให้บริการจะติดตั้งสถานีเซลล์สเตชันไว้ตามจุดต่างๆเพื่อทำให้เกิดเขตที่ต่อเนื่องครอบคลุมพื้นที่การให้บริการ การใช้งานของระบบ PHS ใช้งานในลักษณะที่ผู้ใช้เคลื่อนที่ด้วยความเร็วไม่มากนักคือไม่เกิน 60 กิโลเมตรต่อชั่วโมง เช่นการเดินทาง, การวิ่งออกกำลังกายหรือในยานพาหนะ เพราะถ้าเร็วกว่านั้นสัญญาณจะหลุดหรือขาดการติดต่อเพราะว่าเซลล์มีขนาดเล็ก(รัศมี 100-300เมตร)

5. สามารถใช้ PHS ในลักษณะของ WLL (WLL: Wireless Local Loop) ในบางกรณีที่มีการเดินสายทำได้ยากหรือมีความลำบาก เช่น ข้ามน้ำ หรือในหมู่บ้านที่สายโทรศัพท์เข้าไปยังไม่ถึง วิธีการนี้ทำได้โดยอุปกรณ์แปลงสัญญาณ PHS เป็นตัวกระจายการติดต่อกับเครื่องลูกข่ายซึ่งในกรณีนี้จะมีประโยชน์ในการขยายการใช้งานโทรศัพท์เป็นอย่างมาก

2.6 โครงสร้างของระบบโทรศัพท์พื้นฐานพกพา

ในปัจจุบันประเทศไทย โดยองค์การโทรศัพท์แห่งประเทศไทย TOT (TOT: Telephone Organization of Thailand) ได้อนุมัติให้บริษัท เทเลคอมเอเชีย จำกัด (มหาชน) (TA: Telecom Asia Co., Ltd.) นำระบบโทรศัพท์พกพาส่วนบุคคล (PHS: Personal Handy-phone System) มาเปิดให้บริการในประเทศไทย และใช้ชื่อว่าโทรศัพท์พื้นฐานพกพาส่วนบุคคลพีซีที (PCT: Personal Communication Telephone System) โดยมีการปรับปรุงโครงข่ายโทรศัพท์พกพาส่วนบุคคล PHS ให้มีคุณสมบัติพิเศษขึ้นซึ่งสามารถแสดงโครงข่ายให้เห็นในรูปที่ 2.5 การปรับปรุงโครงข่ายนี้เพื่อให้เหมาะสมกับประเทศไทย 3 ประการ คือ

1. ใช้หมายเลขของระบบโทรศัพท์พื้นฐานพกพาส่วนบุคคลพีซีทีเป็นหมายเลขเดียวกับหมายเลขโทรศัพท์บ้าน เพื่อให้ง่ายต่อการจดจำหมายเลข และเป็นการพัฒนาไปสู่หมายเลขส่วนบุคคล (Personal number)
2. ในระบบโทรศัพท์พื้นฐานพกพาส่วนบุคคลพีซีทีจะใช้เซลล์ที่มีขนาดใหญ่กว่าเซลล์ในระบบโทรศัพท์พกพาส่วนบุคคล PHS เพื่อลดปริมาณกราฟฟิกและลดจำนวนครั้งของการข้ามเซลล์ (Hand over) ทำให้สามารถทำการติดต่อสื่อสารภายในยานพาหนะด้วยความเร็วที่สูงถึง 60 กิโลเมตรต่อชั่วโมง

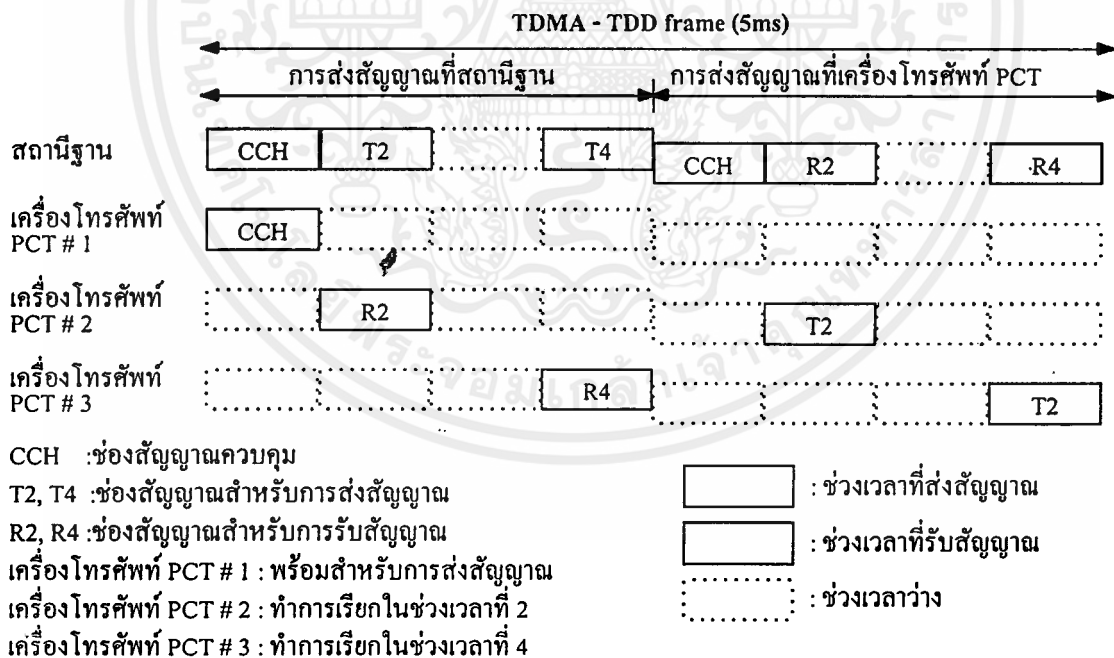


รูปที่ 2.5 โครงข่ายโทรศัพท์พื้นฐานพกพาส่วนบุคคลพีซีที

3. ในระบบโทรศัพท์พื้นฐานพกพาส่วนบุคคลพีซีทีได้นำเอาโครงข่าย 3 โครงข่าย คือ โครงข่ายโทรศัพท์พื้นฐาน PSTN (PSTN: Public Switched Telephone Network) โครงข่ายโทรศัพท์พกพาส่วนบุคคล PHS และโครงข่ายอัจฉริยะ IN (IN: Intelligent Network) มาทำงานร่วมกัน เพื่อให้เกิดฟังก์ชันที่ต้องการของระบบโทรศัพท์พื้นฐานพกพาส่วนบุคคลพีซีที เช่น การใช้หมายเลขของโทรศัพท์พื้นฐานพกพาส่วนบุคคลพีซีทีเป็นหมายเลขเดียวกับหมายเลขโทรศัพท์บ้าน

2.7 คุณสมบัติทางเทคนิคของระบบโทรศัพท์พื้นฐานพกพา

การจัดช่องสัญญาณของระบบโทรศัพท์พื้นฐานพกพาส่วนบุคคลพีซีที ใช้เทคนิคแบบ TDMA/TDD (TDMA/TDD: Time Division Multiple Access/Time Division Duplex) โดยที่เฟรมข้อมูลทั้งหมดประกอบด้วย 8 ช่อง จึงทำให้มีช่องเวลาส่ง 4 ช่อง (มี 1 ช่องสัญญาณควบคุม) และช่องเวลารับ 4 ช่อง (มี 1 ช่องสัญญาณควบคุม) ในการทำงานปกติจะใช้ 1 ช่องส่ง และ 1 ช่องรับ ดังนั้นใน 1 เซลของระบบโทรศัพท์พื้นฐานพกพาส่วนบุคคลพีซีทีจะสามารถทำการติดต่อได้พร้อม ๆ กัน 3 คู่สนทนา นั่นคือ เซลสเตชัน 1 ตัว จะใช้เครื่องลูกข่ายได้ 3 ตัวพร้อม ๆ กันซึ่งแสดงโครงสร้างการจัดช่องสัญญาณของระบบโทรศัพท์พื้นฐานพกพาส่วนบุคคลพีซีทีได้ดังรูปที่ 2.6



รูปที่ 2.6 แสดงการจัดช่องสัญญาณแบบ TDMA-TDD

ไม่ว่ากรณีใดๆทั้งสิ้น อีกทั้งห้ามมิให้คัดแปลงเนื้อหา และต้องอ้างอิงถึงเจ้าของเอกสารทุกครั้งที่มีการนำไปใช้

2.8 โครงสร้างของช่องสัญญาณและความถี่ที่ใช้สำหรับโทรศัพท์พื้นฐานพกพา

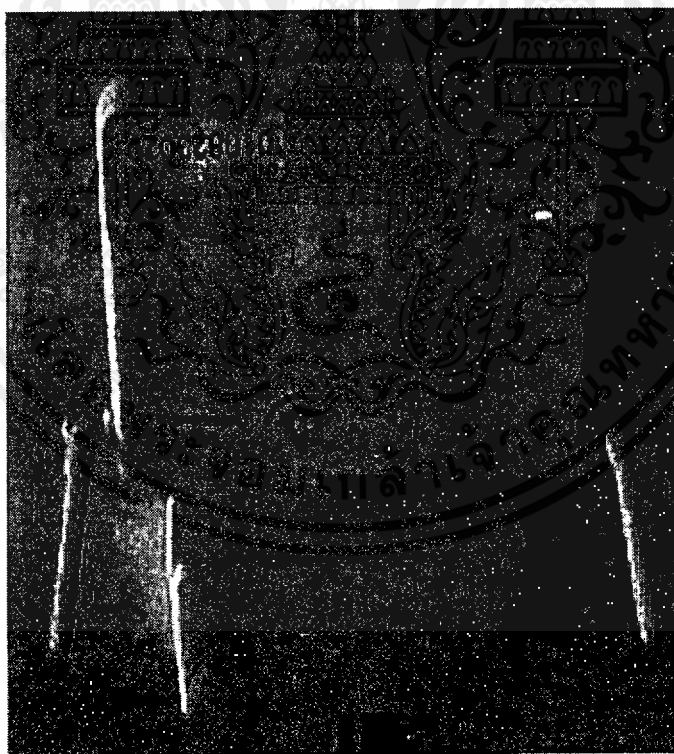
ตารางที่ 2.1 การใช้งานความถี่ของระบบโทรศัพท์พื้นฐานพกพาส่วนบุคคลพีซีที

ช่องที่	ความถี่	ลักษณะการใช้งาน
1 ~ 10	1895.15 ~ 1897.85 MHz (แต่ละช่องสัญญาณความถี่ห่างกัน 300 kHz)	ความถี่ที่ใช้สำหรับการสื่อสารส่วนบุคคล (Private Mode) และการสื่อสารระหว่างเครื่อง PS ด้วยกัน (Tranceiver Mode : PS→PS)
11	1898.15 MHz	ความถี่ที่ใช้สำหรับการสื่อสารภายในอาคารสำนักงาน ที่อยู่อาศัย ในรูปแบบของ Wireless PABX
12	1898.45 MHz	ช่องสัญญาณควบคุมสำหรับการสื่อสารส่วนบุคคล (Private Mode)
13 ~ 17	1898.75 ~ 1899.95 MHz (แต่ละช่องสัญญาณความถี่ห่างกัน 300 kHz)	ความถี่ที่ใช้สำหรับการสื่อสารภายในอาคารสำนักงาน ที่อยู่อาศัย ในรูปแบบของ Wireless PABX
18	1900.25 MHz	ช่องสัญญาณควบคุมสำหรับการสื่อสารส่วนบุคคล (Private Mode)
19 ~ 37	1900.55 ~ 1905.95 MHz (แต่ละช่องสัญญาณความถี่ห่างกัน 300 kHz)	ความถี่ที่ใช้สำหรับการสื่อสารภายในอาคารสำนักงาน ที่อยู่อาศัย ในรูปแบบของ Wireless PABX
38 ~ 69	1906.25 ~ 1915.55 MHz	ความถี่ที่ใช้สำหรับการสื่อสารในพื้นที่สาธารณะภายนอกอาคาร (Public mode)
70	1915.85 MHz	Guard Channel
71	1916.15 MHz	ช่องสัญญาณควบคุมสำรอง
72	1916.45 MHz	Guard Channel
73	1916.75 MHz	ช่องสัญญาณควบคุมสำหรับการสื่อสารในพื้นที่สาธารณะภายนอกอาคาร (Public mode)
74	1917.05 MHz	Guard Channel
75	1917.35 MHz	ช่องสัญญาณควบคุมสำหรับการสื่อสารในพื้นที่สาธารณะภายนอกอาคาร (Public mode)
76	1917.65 MHz	Guard Channel
77	1917.95 MHz	ช่องสัญญาณควบคุมสำหรับการสื่อสารในพื้นที่สาธารณะภายนอกอาคาร (Public mode)

ความถี่ที่ใช้สำหรับโทรศัพท์พื้นฐานพกพาส่วนบุคคลพีซีทีแสดงดังตารางที่ 2.1 ซึ่งจะแบ่งความถี่ออกเป็น 2 กลุ่ม คือกลุ่มของความถี่ที่ใช้สำหรับการสื่อสารส่วนบุคคล เช่น การใช้งานในลักษณะอินเทอร์เน็ต คือการสื่อสารระหว่างเครื่อง PS ด้วยกัน โดยไม่มีเซลสเตชันเข้ามาเกี่ยวข้อง ซึ่งจะใช้ความถี่ในช่องที่ 1-10 สำหรับการใช้งานส่วนบุคคลภายในสำนักงานหรือที่อยู่อาศัยต่างๆ ในรูปแบบของ Wireless PABX จะใช้งานความถี่ตั้งแต่ช่องที่ 11-37 โดยมีช่องสัญญาควบคุมในช่องที่ 12, 18, 30 และ 36 ตามลำดับ และอีกกลุ่มหนึ่งเป็นความถี่ที่ใช้สำหรับการติดต่อสื่อสารในพื้นที่สาธารณะ ซึ่งจะใช้ความถี่ตั้งแต่ช่องที่ 38 - 69 โดยมีช่องสัญญาควบคุมในช่องที่ 70-77

2.9 คุณสมบัติสถานีลูกข่าย(Cell Station)

เซลสเตชันที่นำมาใช้ในโครงข่ายโทรศัพท์พื้นฐานพกพาส่วนบุคคลพีซีทีจะมีอยู่ 2 ชนิด คือ ชนิดติดตั้งภายในตัวอาคาร โดยจะมีกำลังส่ง 10mW และชนิดติดตั้งนอกอาคาร มีกำลังส่งขนาด 10mW ซึ่งคุณสมบัติของเซลสเตชันภายในอาคารขนาด 10mW แสดงให้เห็นในตารางที่ 2.2 ลักษณะของเซลสเตชันภายในอาคาร 10 mW แสดงให้เห็นในรูปที่ 2.7



เอกสารรูปที่ 2.7 สถานีลูกข่ายภายในอาคารของโทรศัพท์พื้นฐานพกพาส่วนบุคคลพีซีที ไปใช้ประโยชน์ด้านการค้า ไม่ว่าจะกรณีใดๆทั้งสิ้น อีกทั้งห้ามมิให้คัดแปลงเนื้อหา และต้องอ้างอิงถึงเจ้าของเอกสารทุกครั้งที่มีการนำไปใช้

ตารางที่ 2.2 คุณสมบัติเฉพาะของเซลล์เคลื่อนภายในอาคาร (CS)

ลักษณะเฉพาะ		ชนิด	เซลล์เคลื่อนภายในอาคาร (CS)
ค่าเฉลี่ยพลังงานเอาต์พุต RF (Peak)			10mW(80mW)
เซนซิวิตี (Sensitivity) Static, BER=1%			14dB μ
สายอากาศ			Built-in Antenna(2branch:2.14dBi) External Antenna
ไดเวอร์ซิตี (Diversity)	Rx(up link)		Antenna selection diversity(frame by frame)
	Tx(down link)		Transmitter antenna selection diversity(2 branch)
การออกแบบช่องสัญญาณ			กำหนดช่วงเวลาของเฟรมข้อมูลอิสระ การควบคุมช่องสัญญาณแบบเปลี่ยนแปลงได้ต่อการเรียกของช่องโทรกราฟฟิกเซลล์แนล (Traffic channel)
การเชื่อมต่อเน็ตเวิร์ก(Network)			BRI(2B+D) \times 1
การควบคุมเป็นกลุ่ม			ไม่มี
อัตราการเข้ารหัสเสียงพูดในการเชื่อมต่อเน็ตเวิร์ก			32kbit/s \times 3-ch
อัตราการส่งข้อมูลในการเชื่อมต่อเน็ตเวิร์ก			32kbit/s Bearer
ความยาวของสาย(MAX) ที่ ϕ 0.4			1.0 km(\leftrightarrow CS Server)
ขนาด(ปริมาตร)			154 \times 142 \times 46.5mm
น้ำหนัก			ประมาณ 0.6kg
พลังงานที่ใช้			ประมาณ 0.3W
แหล่งจ่ายพลังงาน			พลังงานที่ป้อน DC27V~55V
อุณหภูมิที่ใช้งาน			0 $^{\circ}$ C ถึง 50 $^{\circ}$ C
ความชื้นภายในอากาศที่ใช้งาน			น้อยกว่า 90%
แบตเตอรี่แบล็กอัพ			ไม่มี

2.10 คุณสมบัติเครื่องลูกข่าย

เอกสารอ้างอิงในการศึกษาเท่านั้น ไม่อนุญาตให้นำไปใช้ประโยชน์ด้านการค้า
 ไม่่ว่ากรณีใดๆ เครื่องลูกข่ายของโทรศัพท์ของระบบPHS มีลักษณะคล้ายกับเครื่องโทรศัพท์มือถือทั่วไป แต่อาจมีขนาดเล็กกว่าเนื่องจากใช้ความถี่สูงกว่าปกติคือประมาณ 1.9GHz น้ำหนักของประมาณ 90-150กรัม ขนาดของเครื่องประมาณ 40W \times 120H \times 15D มิลลิเมตร และมีแบตเตอรี่ที่สามารถชาร์จได้

(Ni-Cd, Ni-MH, Lithium Ion) ซึ่งสามารถเปิดเครื่องรอสายได้นานถึง 500 ชั่วโมง ขึ้นไปถึง 600 ชั่วโมง และสามารถสนทนาได้นานถึง 5 ชั่วโมงขึ้นไป จึงทำให้การใช้งานสะดวกไม่ต้องกังวลในการพกพาแบตเตอรี่สำรอง มีข้อดีสำหรับการให้บริการข้อมูลดิจิทัล เช่น FAX, Data terminal ฯลฯ



รูปที่ 2.8 เครื่องลูกข่ายโทรศัพท์พื้นฐานพกพาส่วนบุคคลพีซีที

เอกสารนี้เป็นเอกสารที่สงวนไว้สำหรับการใช้งานเพื่อการศึกษาเท่านั้น ไม่อนุญาตให้นำไปใช้ประโยชน์ด้านการค้า ไม่ว่าจะกรณีใดๆ ทั้งสิ้น อีกทั้งห้ามมิให้คัดแปลงเนื้อหา และต้องอ้างอิงถึงเจ้าของเอกสารทุกครั้งที่มีการนำไปใช้

บทที่ 3

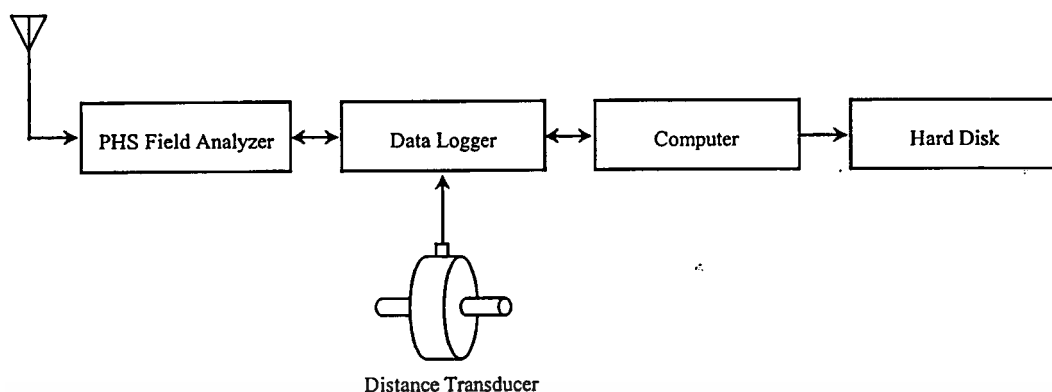
การออกแบบ

การออกแบบในบทนี้จะแบ่งออกเป็นสองส่วนใหญ่คือส่วนแรกเป็นการออกแบบและสร้างเครื่องมือที่ช่วยในการเก็บบันทึกสัญญาณเพื่อวิเคราะห์สัญญาณ โดยจะเป็นเครื่องมือจะช่วยในการเก็บบันทึกบันทึกผลของระดับสัญญาณเพื่อให้การเก็บข้อมูลได้อย่างละเอียดยิ่งขึ้นส่งผลให้การวิเคราะห์สัญญาณมีความถูกต้องมากยิ่งขึ้น ส่วนที่สองจะเป็นการออกแบบซอฟต์แวร์เพื่อช่วยในการออกแบบการวางตำแหน่งของเซลล์เซ็นเซอร์ โดยซอฟต์แวร์นี้จะนำหลักการสะท้อนและการลดทอนของสัญญาณเข้ามาคำนวณทำให้เกิดความแม่นยำในการออกแบบการวางตำแหน่งเซลล์เซ็นเซอร์

การวิเคราะห์หาสมการลดทอนเพื่อใช้ในการออกแบบการวางตำแหน่งเซลล์เซ็นเซอร์จำเป็นจะต้องมีการเก็บข้อมูลจากสถานที่ติดตั้งจริง เพื่อวิเคราะห์หาพารามิเตอร์ที่จะทำให้สมการที่ใช้ในการออกแบบการวางตำแหน่งเซลล์เซ็นเซอร์เกิดความผิดพลาดน้อยที่สุด ดังนั้นข้อมูลที่ได้จากการวัดระดับสัญญาณจากสถานที่จริงจะต้องละเอียดมากพอ เนื่องค่าความลดทอนของการแพร่กระจายคลื่นเป็นฟังก์ชันของระยะทางดังนั้นการวิเคราะห์หาค่าแฟกเตอร์(Factor)ของการลดทอนจึงมีความจำเป็นต้องมีเครื่องมือที่ใช้ในการเก็บข้อมูลและทำให้ทราบถึงปรากฏการณ์ของคลื่น เพื่อให้เกิดความแม่นยำ สะดวกและรวดเร็ว ในการเก็บข้อมูลด้วยการวัดระดับสัญญาณการแพร่กระจายคลื่น ดังนั้นจะต้องมีเครื่องที่ใช้สำหรับวัดการเดินทางของคลื่น ที่สัมพันธ์กับระยะทางที่เปลี่ยนหรือเรียกอีกอย่างหนึ่งว่าดาต้าลอจเจอร์(Data logger)

3.1 การออกแบบบอร์ดแวร์เครื่องดาต้าลอจเจอร์

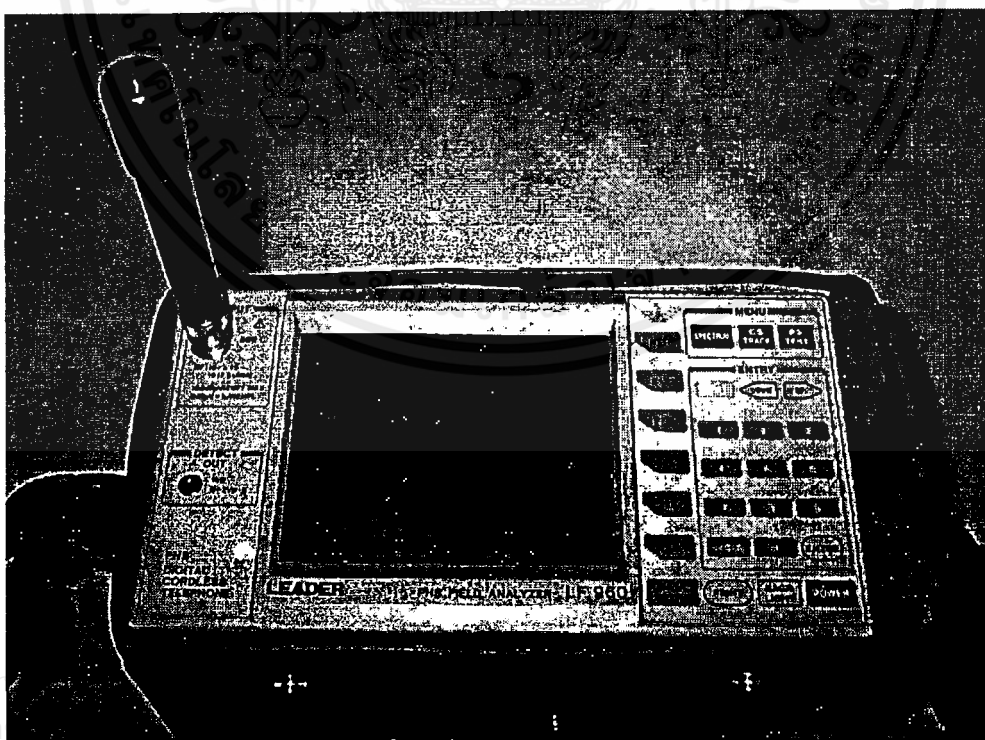
เครื่องที่ใช้วัดการแพร่กระจายที่สัมพันธ์กับระยะทางหรือเรียกอีกอย่างหนึ่งว่าเครื่องดาต้าลอจเจอร์(Data Logger) เครื่องดาต้าลอจเจอร์นี้ทำให้เกิดความสะดวกและรวดเร็วในการเก็บข้อมูล ซึ่งแสดงให้เห็นการทำงานโดยแบ่งเป็นบล็อกไดอะแกรม(Block diagram)ให้เห็นดังรูปที่3.1 ในรูปนี้จะแบ่งการทำงานออกเป็น 5 บล็อกใหญ่ๆ คือ



รูปที่ 3.1 บล็อกไดอะแกรมเครื่องรับและค้ำค่าล็อกเกอร์(Data Logger) ที่ใช้ในการวัดสนาม

3.1.1 พีเอชเอสฟิลด์อนาลิเซอร์

พีเอชเอสฟิลด์อนาลิเซอร์(PHS Field Analyzer) เป็นเครื่องรับสัญญาณ PHS ทำงานอยู่ที่ย่านความถี่ 1900MHz สามารถวัดสัญญาณทุกช่องสัญญาณของระบบพีเอชเอส(PHS) ซึ่งคุณสมบัติของเครื่องแสดงให้เห็นในตารางที่ 3.1 การทำงานของเครื่องพีเอชเอสฟิลด์อนาลิเซอร์(PHS Field Analyzer) เป็นเครื่องของยี่ห้อลีดเดอร์(Leader) รุ่น โมเดล LF960 ภาพถ่ายจริงของเครื่องแสดงให้เห็นดังรูปที่ 3.2 สามารถที่จะทำการวัดเซลล์สแตนด์ได้ 4 แบบคือ



รูปที่ 3.2 ภาพถ่ายจริงของเครื่องพีเอชเอสฟิลด์อนาลิเซอร์

3.1.1.1 ไรด์แบนด์สเปกตรัมอานาไลเซอร์

ไรด์แบนด์สเปกตรัมอานาไลเซอร์ (Wide Band Spectrum Analyzer) สามารถแสดงสเปกตรัมของช่องสัญญาณพีเอชเอสทั้ง 77 ช่องสัญญาณว่าค่าระดับของสัญญาณ ณ เวลานั้นมีค่าระดับสัญญาณเป็นเท่าใดในแต่ละช่องของสัญญาณ

3.1.1.2 แนร์โรว์แบนด์สเปกตรัมอานาไลเซอร์

แนร์โรว์แบนด์สเปกตรัมอานาไลเซอร์ (Narrow Band Spectrum Analyzer) สามารถแสดงสเปกตรัมของช่องสัญญาณได้พร้อมกัน 6 ช่องสัญญาณ โดยที่ค่าความถี่ที่เลือกเป็นความถี่ศูนย์กลางของสเปกตรัมทั้งหมด ความถี่ทางด้านล่างและด้านบนจะเป็นช่องของสัญญาณที่อยู่ข้างเคียงความถี่ศูนย์กลางที่เลือก

3.1.1.3 มัลติเทร็กซิง

มัลติเทร็กซิง (Multi-tracing) สามารถแสดงว่าขณะที่ทำงาน ณ ช่องความถี่นั้นๆ มีจำนวนของเซลล์เสกซ์ (Cell Station) ที่สามารถรับสัญญาณที่จุดนั้นได้กี่เซลล์ โดยที่แต่ละเซลล์เสกซ์ จะมีรหัสประจำเครื่อง (ID-CS) แสดงให้ทราบและบอกระดับความแรงของสัญญาณ ณ จุดนั้นๆ ว่าสามารถวัดความแรงของแต่ละเซลล์เสกซ์มีค่าเท่าใด

3.1.1.4 ซิงเกิลเทร็กซิง

ซิงเกิลเทร็กซิง (Single Tracing) สามารถวัดความแรงระดับสัญญาณของเซลล์ใดๆ จากจำนวนเซลล์ทั้งหมดที่แสดงให้ดูทุกๆ เซลล์ตอนที่พีเอชเอสฟิลด์อานาไลเซอร์ทำงานอยู่ในโหมดมัลติเทร็กซิง (Multi tracking) โดยที่ในโหมดซิงเกิลเทร็กซิง (Single tracking) มีข้อแตกต่างก็คือจะทราบรายละเอียดต่างๆ ของเซลล์เสกซ์นั้นๆ เช่น บิทเออร์เรท (Bit Error Rate) ดังนั้นหากเราต้องการวิเคราะห์ลักษณะพื้นที่ที่ครอบคลุมเซลล์ของแต่ละเซลล์อย่างละเอียดควรจะใช้โหมดนี้ จะทำให้ทราบรายละเอียดได้เป็นอย่างดี

ตารางที่ 3.1 คุณสมบัติของเครื่องวัดความเข้มสัญญาณ (PSH Field Protocol Analyzer) รุ่น LF-960

ยี่ห้อ Leader

อินพุทอิมพีแดนซ์	50Ω
สัญญาณอินพุทสูงสุด	100dBμV (EMF)
ย่านความถี่	1895.15MHz to 1917.94MHz
ช่องความถี่	300kHz
ความถูกต้องของความถี่	ในช่วง $\pm 3 \times 10^{-6}$ Hz

ตารางที่ 3.1 (ต่อ)

วิธีการเข้าถึง, วิธีการมอดดูเลท	TDMA-TDD, $\pi/4$ shift QPSK
อัตราการส่งข้อมูล	384 kbits/s
ระดับการวัดสัญญาณ	- SPECTRUM, CS-TRACE:CCH, PS-TEST 0dB μ V ถึง 60dB μ V (EMF) เมื่อไม่มี ค่าลดทอน, 30dB μ V ถึง 85dB μ V (EMF) เมื่อมี ค่าลดทอน - CS-TRACE : MULT1, SINGLE, TIME 0dB μ V ถึง 85dB μ V (EMF) เมื่อมีค่าลดทอน อัตโนมัติ
ระยะห่าง	0.1dB
ความถูกต้อง	- SPECTRUM, CS-TRACE:CCH, PS-TEST ± 3 dB μ V (10 dB μ V ถึง 60 dB μ V) เมื่อมีค่าไม่ ลดทอน ± 3 dB μ V (35 dB μ V ถึง 75 dB μ V) เมื่อ มีค่าลดทอน - CS-TRACE: MULTI, SINGLE, TIME ± 3 dB μ V (10 dB μ V ถึง 60 dB μ V) เมื่อมีค่าลดทอน อัตโนมัติ
การเลือกช่องสัญญาณข้างเคียง	≥ 50 dB

ตารางที่ 3.2 คุณสมบัติของสายอากาศวัดความเข้มสัญญาณ (PSH Field Protocol Analyzer)

รุ่น LF-960 ยี่ห้อ LEADER

ย่านความถี่	1895MHz ถึง 1918MHz
VSWR	≤ 3
โพลาไรซ์เซชัน(Polarization)	เวอร์ติคอลลีโพลาไรซ์(Vertically polarized)
ไดเรกทิวิตี(Directivity)	ไม่มีในแนวนอน
เกณ(Gain)	2.15dBi

เอกสารนี้เป็นเอกสารที่สงวนไว้สำหรับการใช้งานเพื่อการศึกษาเท่านั้น ไม่อนุญาตให้นำไปใช้ประโยชน์ด้านการค้า

3.1.2 คาต้ำล็อกเกอร์

ไม่ว่ากรณีใดๆ ทั้งสิ้น ผู้ออกพิมพ์มีที่คิดแปลงเนื้อหา และต้องอ้างอิงถึงเจ้าของเอกสารทุกครั้งที่มีการนำไปใช้

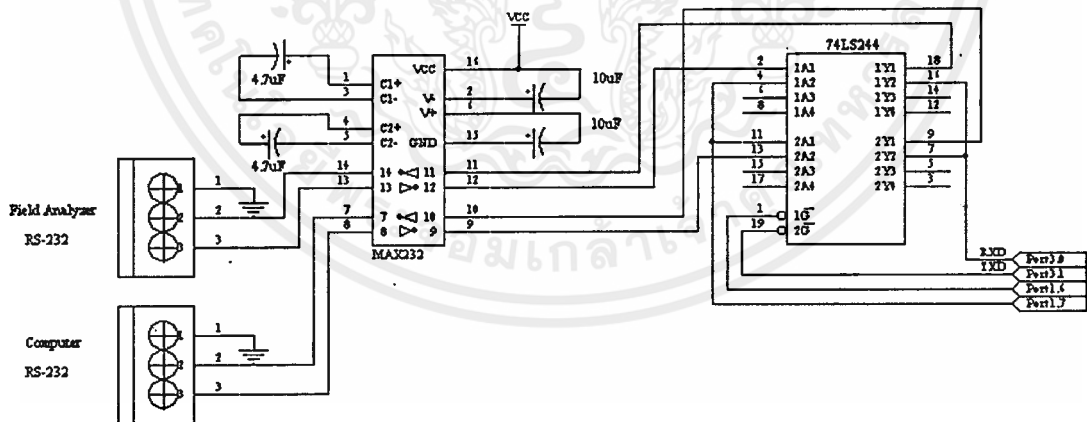
คาต้ำล็อกเกอร์(Data Logger) เป็นวงจรที่ทำหน้าที่ในการจัดการเกี่ยวกับการวัดระดับ

สัญญาณ, การส่งคำสั่งควบคุม, การวัดระดับสัญญาณแบบสัมพันธ์กับเวลาหรือเรียกว่าแบบแซม

ปลิง(Sampling) เป็นช่วงเวลาและวัฏระคดับสัญญาณที่สัมพันธ์กับระยะทางโดยที่ข้อมูลทีอ่านได้จากพีเอชเอสฟิลด์อานาไลเซอร์โดยเครื่องดาต้าล๊อกเกอร์จะส่งข้อมูลทีอ่านได้ไปเก็บทีเครื่องคอมพิวเตอร์(Computer) โดยรูปแบบการเก็บข้อมูลจะเก็บอยู่ในรูปแบบของเท็กซ์ไฟล์(Text File) บันทึกไว้ในฮาร์ดดิสก์ ทำให้เกิดความสะดวกในการวิเคราะห์ โดยทีในบล็อกไดอะแกรมนี้จะแบ่งออกเป็น 3ภาคใหญ่ด้วยกันคือ

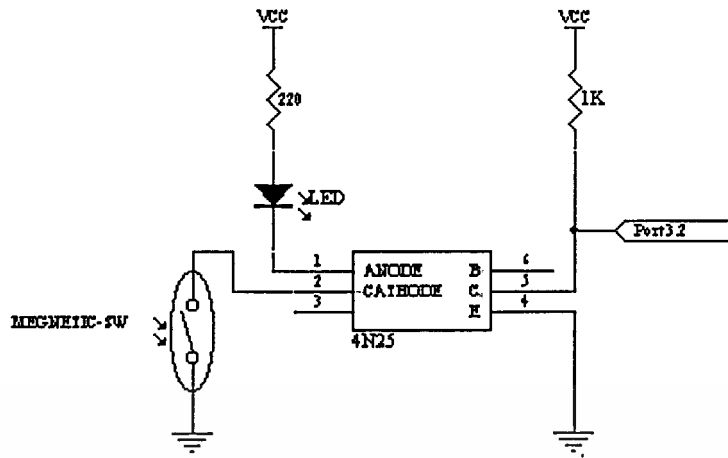
3.1.2.1 วงจรส่วนเชื่อมต่อ

วงจรดาต้าล๊อกเกอร์เป็นส่วนเชื่อมต่อระหว่างคอมพิวเตอร์(Computer)กับพีเอชเอสฟิลด์อานาไลเซอร์(PHS Field Analyzer) วงจรส่วนนี้จะทำหน้าที่ในการติดต่อสื่อสารระหว่างคอมพิวเตอร์กับพีเอชเอสฟิลด์อานาไลเซอร์ ในการติดต่อสื่อสารระหว่างสองส่วนนี้จะส่งข้อมูลเป็นดิจิทัลโดยผ่านทางมาตรฐาน RS-232 อัตราการส่งข้อมูลทีความเร็ว 9600Bit/s ซึ่งใช้ IC#MAX232 ทำหน้าที่เป็นตัวแปลงสัญญาณ ส่วนIC#74LS244 ทำหน้าที่เป็นบัฟเฟอร์(Buffer)ควบคุมทิศทางในการรับ-ส่งข้อมูลระหว่างคอมพิวเตอร์กับพีเอชเอสฟิลด์อานาไลเซอร์ ซึ่งการควบคุมทิศทางมาจากหน่วยประมวลผลกลาง(CPU) การเปลี่ยนทิศทางการส่งคำสั่งควบคุมและการนำข้อมูลไปเก็บยังเครื่องคอมพิวเตอร์ขึ้นอยู่กับการเลือกโหมดการทำงานของเครื่องของเครื่องดาต้าล๊อกเกอร์ ซึ่งเครื่องดาต้าล๊อกเกอร์สามารถทำงานได้ 3 โหมดคือ 1.)การทำงานแบบสัมพันธ์กับระยะทาง 2.) การทำงานแบบสัมพันธ์กับเวลา 3.) การทำงานแบบตามการกระตุ้น



รูปที่3.3 วงจรส่วนเชื่อมต่อระหว่างคอมพิวเตอร์(Computer)กับพีเอชเอสฟิลด์อานาไลเซอร์(PHS Field Analyzer)

เอกสารนี้เป็นเอกสารที่สงวนไว้สำหรับการใช้งานเพื่อการศึกษาเท่านั้น ไม่อนุญาตให้นำไปใช้ประโยชน์ด้านการค้าไม่ว่ากรณีใดๆทั้งสิ้น อีกทั้งห้ามมิให้ดัดแปลงเนื้อหา และต้องอ้างอิงถึงเจ้าของเอกสารทุกครั้งที่มีการนำไปใช้

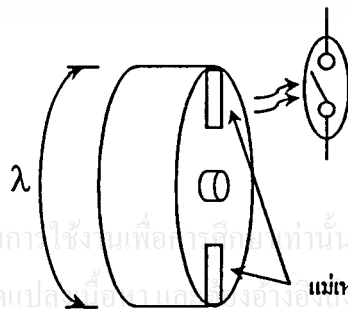


รูปที่ 3.4 วงจรเปลี่ยนระยะทางเป็นสัญญาณไฟฟ้า

3.1.2.2 วงจรเปลี่ยนระยะทางเป็นสัญญาณไฟฟ้า

วงจรเปลี่ยนระยะทางเป็นสัญญาณไฟฟ้า วงจรส่วนนี้จะทำหน้าที่วัดระยะทางโดยใช้สวิทช์แม่เหล็กเป็นตัวเปลี่ยนระยะ โดยที่สวิทช์แม่เหล็กจะติดอยู่กับตัวถังของรถ ส่วนแม่เหล็กจะติดอยู่กับส่วนที่เคลื่อนที่คือล้อรถ ระยะห่างที่เลือกคิดจะเป็นระยะห่างเท่ากับ λ นั้นหมายความว่าล้อที่ใช้มีขนาดเส้นผ่านศูนย์กลาง 4 นิ้ว จะต้องติดตั้งตำแหน่งแม่เหล็ก 2 แห่งซึ่งเมื่อเคลื่อนที่ครบจำนวนหนึ่งรอบของล้อรถหมายความว่าวงจรเปลี่ยนระยะทางเป็นสัญญาณไฟฟ้าจะกำเนิดลอจิก (Logic) ให้กับหน่วยประมวลผลกลางสองครั้ง คือแม่เหล็กเคลื่อนที่มาตรงกับตำแหน่งของสวิทช์แม่เหล็กหน้าคอนแทคท์ (Contact) จะถูกแม่เหล็กดูดให้ติดกัน จากให้ออฟได้อทรานซิสเตอร์ (Opto Transistor) ก็จะทำงานส่งลอจิก "0" ให้กับหน่วยประมวลผลกลาง

ดังนั้นเมื่ออยู่ในโหมดการวัดระดับสัญญาณที่เปลี่ยนตามระยะทาง การเกิดลอจิก "0" หนึ่งครั้งจะเท่าการวัดระยะหนึ่งครั้งแต่ละครั้งประมาณเท่ากับ λ จากนั้นหน่วยประมวลผลกลางก็จะอ่านค่าระดับสัญญาณจากฟิลต์อานาไลเซอร์หนึ่งครั้งแล้วส่งข้อมูลที่อ่านได้ไปแสดงผลที่คอมพิวเตอร์



เอกสารนี้เป็นเอกสารที่สงวนไว้สำหรับการใช้งานเพื่อการศึกษาเท่านั้น ไม่อนุญาตให้นำไปใช้ประโยชน์ด้านการค้าไม่ว่ากรณีใดๆทั้งสิ้น อีกทั้งห้ามมิให้คัดแปลงหรือเผยแพร่ข้อมูลของเอกสารทุกครั้งที่มีการนำไปใช้

รูปที่ 3.5 ตำแหน่งที่ติดตั้งแม่เหล็ก

3.1.2.3 หน่วยประมวลผลกลาง

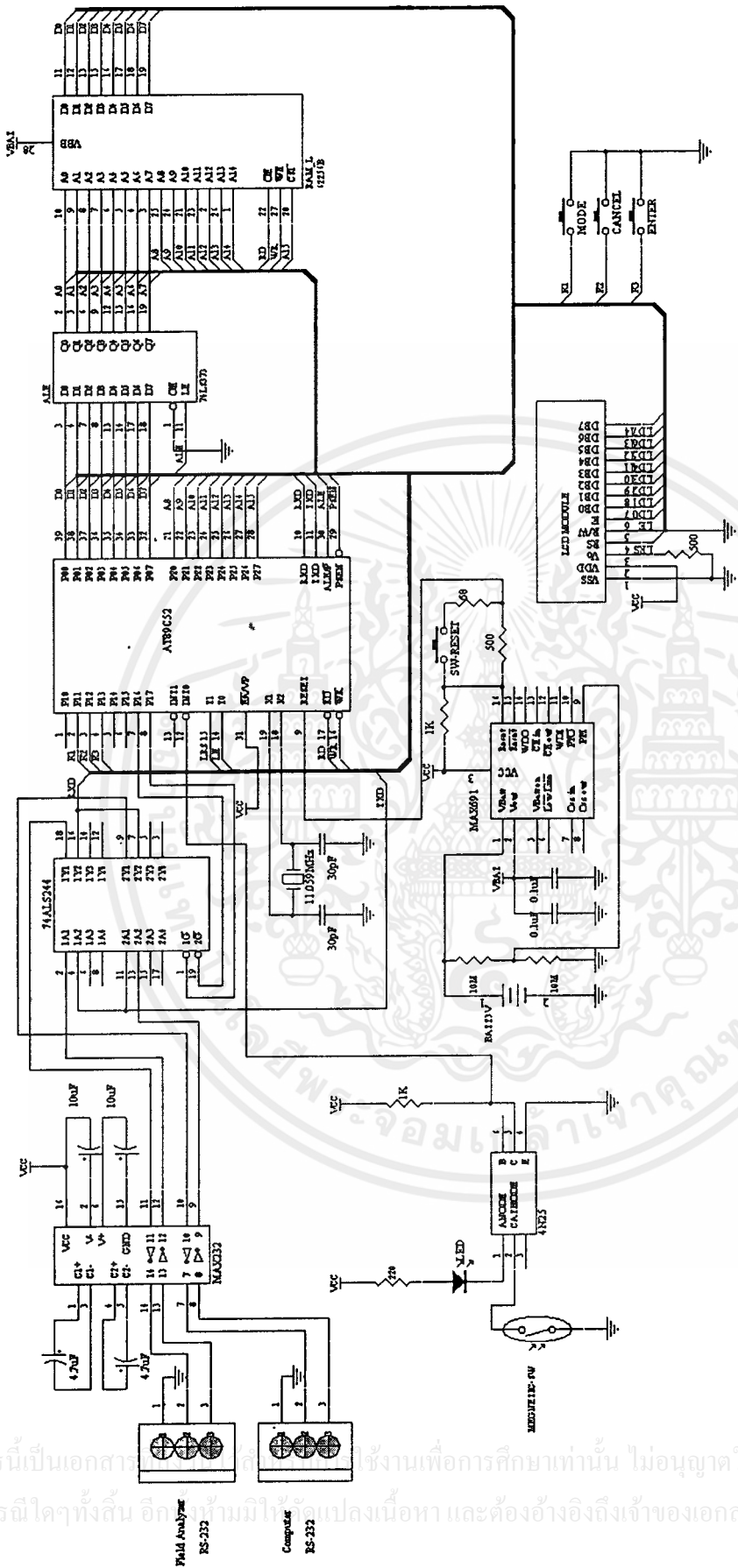
หน่วยประมวลผลกลางทำหน้าที่ควบคุมการทำงานส่วนต่างๆให้เป็นระบบอัตโนมัติ ถ้าอยู่ในโหมดควบคุมก็จะรับคำสั่งการทำงานจากเครื่องคอมพิวเตอร์แล้วส่งคำสั่งควบคุมไปยังฟิลต์อานาไลเซอร์ จากนั้นรอรับข้อมูลจากฟิลต์อานาไลเซอร์เพื่อส่งต่อไปยังคอมพิวเตอร์ ซึ่งสามารถแสดงโปรแกรมการทำงานได้ดังรูปที่ 3.8 และรูปที่ 3.9 แสดงโปรแกรมการตั้งโหมดการทำงานของวงจรเชื่อมต่อโดยจะมีอยู่ 3 โหมดดังนี้คือ

1. กำหนดคุณสมบัติการทำงานของเครื่อง
2. การวัดค่าแบบอัตโนมัติตามเวลาที่กำหนด
3. การวัดค่าระดับสัญญาณแบบสัมพันธ์กับระยะทาง

จากทั้งสามภาคที่กล่าวมาข้างต้นรวมประกอบเป็นวงจรแสดงให้เห็นดังรูปที่ 3.6 จากรูปวงจรที่ได้ออกแบบไว้ก็นำไปสร้างเป็นเครื่องต้นแบบ แสดงให้เห็นดังรูปที่ 3.7

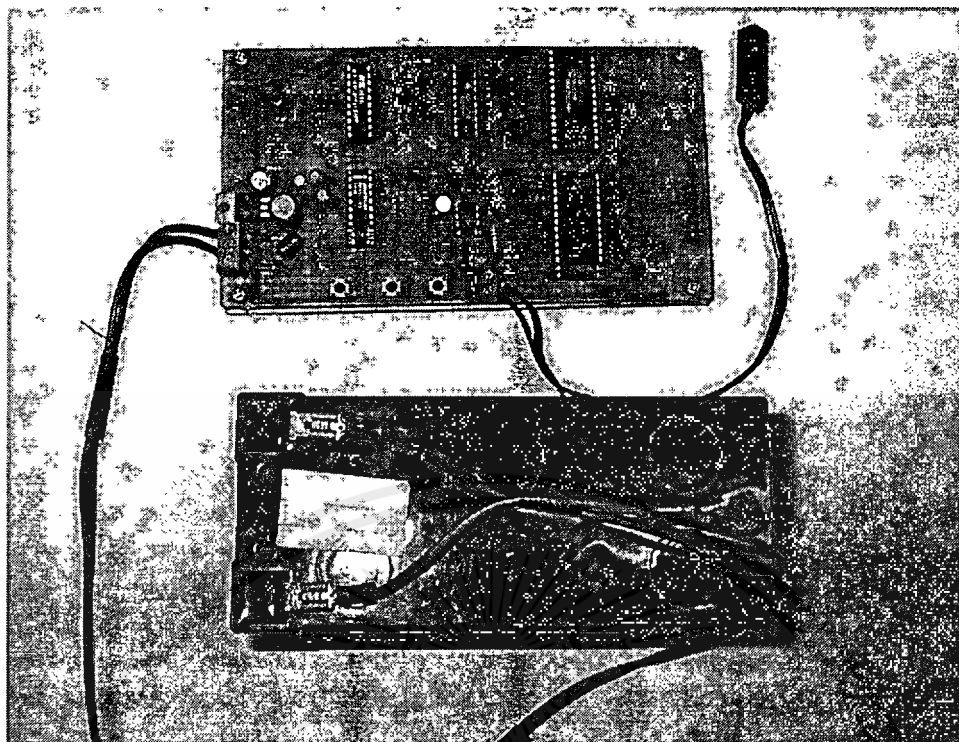


เอกสารนี้เป็นเอกสารที่สงวนไว้สำหรับการใช้งานเพื่อการศึกษาเท่านั้น ไม่อนุญาตให้นำไปใช้ประโยชน์ด้านการค้า
ไม่ว่ากรณีใดๆทั้งสิ้น อีกทั้งห้ามมิให้คัดแปลงเนื้อหา และต้องอ้างอิงถึงเจ้าของเอกสารทุกครั้งที่มีการนำไปใช้



เอกสารนี้เป็นเอกสารที่จัดทำขึ้นเพื่อการศึกษเท่านั้น ไม่อนุญาตให้นำไปใช้ประโยชน์ด้านการค้า
 ไม่ว่ากรณีใดๆทั้งสิ้น อีกทั้งยังมีให้ต้องแปลงเนื้อหา และต้องอ้างอิงถึงเจ้าของเอกสารทุกครั้งที่มีการนำไปใช้

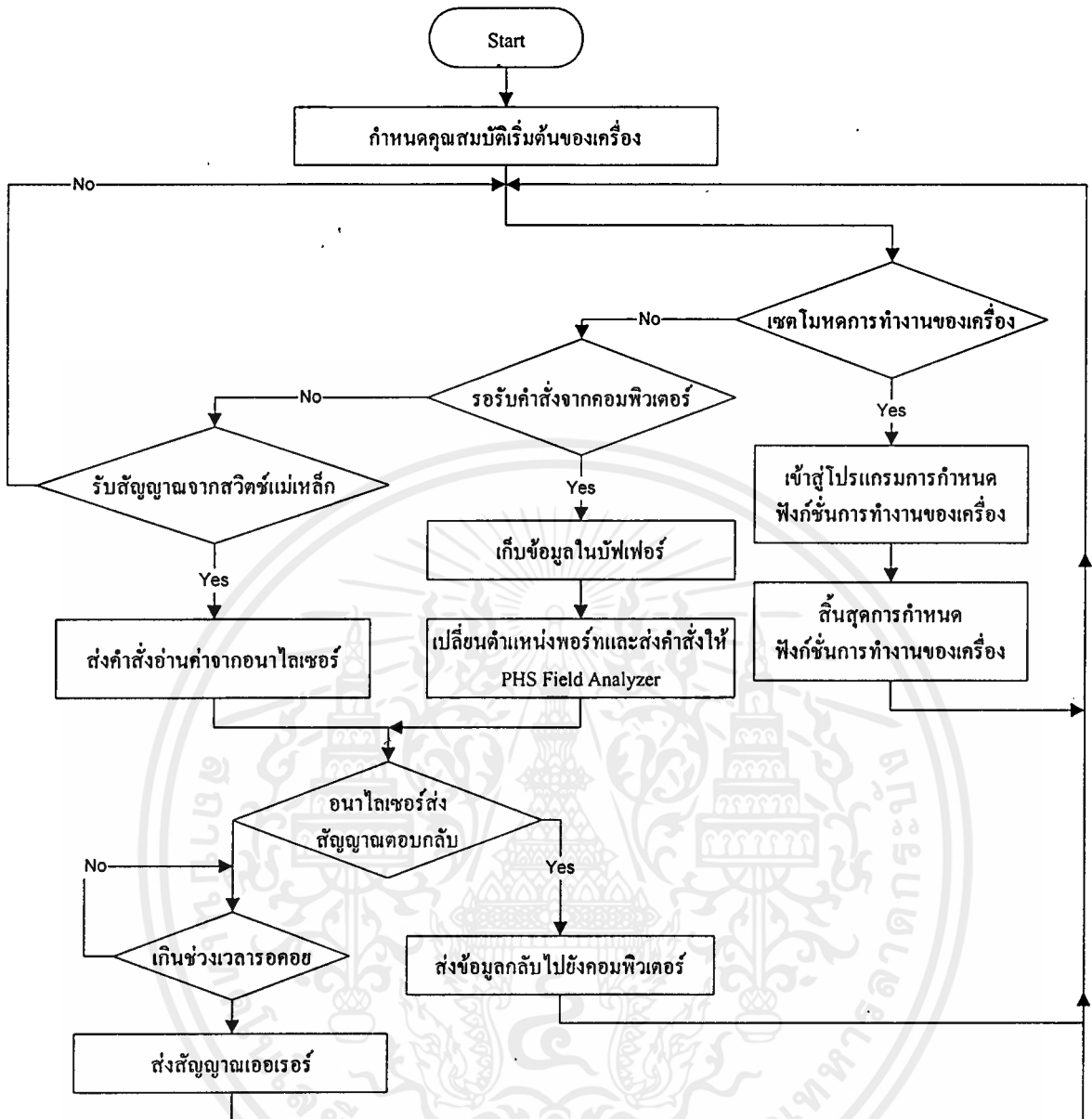
รูปที่ 3.6 วงจรที่สมบูรณ์ของวงจรเชื่อม(Interfacing Circuit)



รูปที่ 3.7 ภาพถ่ายจริงของวงจรเชื่อมต่อ

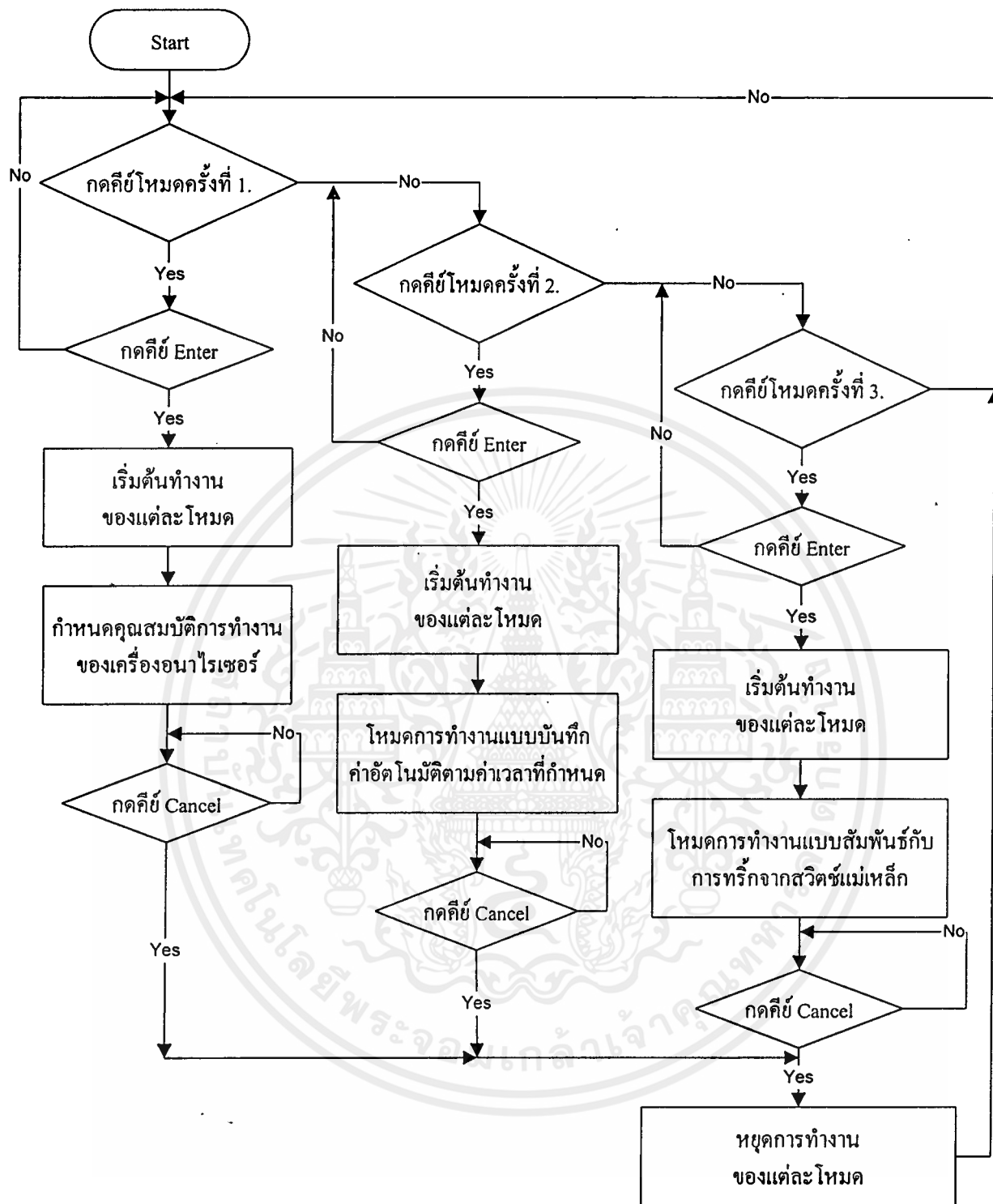
การเปลี่ยนโหมดการทำงานหรือเปลี่ยนแปลงพารามิเตอร์ใดสามารถสั่งงานได้โดยตรงจาก คีย์บอร์ด(Keyboard)ของเครื่องดัดล้อเกอร์หรือเปลี่ยนแปลงการทำงานจากคอมพิวเตอร์โดยผ่าน โปรแกรมเชื่อมโยงซึ่งโปรแกรมเชื่อมต่อสามารถสั่งงานงานได้เหมือนกับการสั่งงานด้วยคีย์บอร์ด ด้วยเครื่อง โดยที่โปรแกรมเชื่อมต่อนี้สามารถทำงานภายใต้ระบบปฏิบัติการวินโดวส์ 95/98 (Windows 95/98) ทำให้สะดวกในการใช้งาน หน้าต่างของโปรแกรมเชื่อมโยงนี้แสดงให้เห็นในรูปที่ 3.10

เอกสารนี้เป็นเอกสารที่สงวนไว้สำหรับการใช้งานเพื่อการศึกษาเท่านั้น ไม่อนุญาตให้นำไปใช้ประโยชน์ด้านการค้า ไม่ว่ากรณีใดๆทั้งสิ้น อีกทั้งห้ามมิให้คัดแปลงเนื้อหา และต้องอ้างอิงถึงเจ้าของเอกสารทุกครั้งที่มีการนำไปใช้



รูปที่3.8 ไฟว์ซาร์ทการทำงานของวงจรเชื่อมต่อ(Interfacing Circuit)

การทำงานของเครื่องนี้สามารถที่จะทำงานได้โดยลำพัง โดยจะอ่านของระดับสัญญาณที่วัดได้เก็บไว้ในหน่วยความจำของเครื่องหากเมื่อต้องการนำข้อมูลออกแสดงที่จอแอลซีดี(LCD)ของเครื่องหรือดึงข้อมูลมาเก็บไว้ในเครื่องคอมพิวเตอร์เมื่อให้ทำงานร่วมกับคอมพิวเตอร์เลยโดยสามารถดึงเอาข้อมูลของระดับสัญญาณในหน่วยความจำเครื่องที่วัดได้เข้ามาเก็บในเครื่องคอมพิวเตอร์ทันที โดยที่เครื่องคอมพิวเตอร์จะมีโปรแกรมที่ใช้สำหรับรับข้อมูลจากเครื่องวัดค่าล็อกไม่ว่าเครื่องอีกครึ่งหนึ่งให้อยู่ในรูปของเท็กซ์ไฟล์ ซึ่งหน้าต่างของโปรแกรมแสดงให้เห็นดังรูปที่3.10



รูปที่ 3.9 โปรแกรมการตั้งโหมด(Mode)การทำงานของวงจรเชื่อมต่อ(Interfacing Circuit)

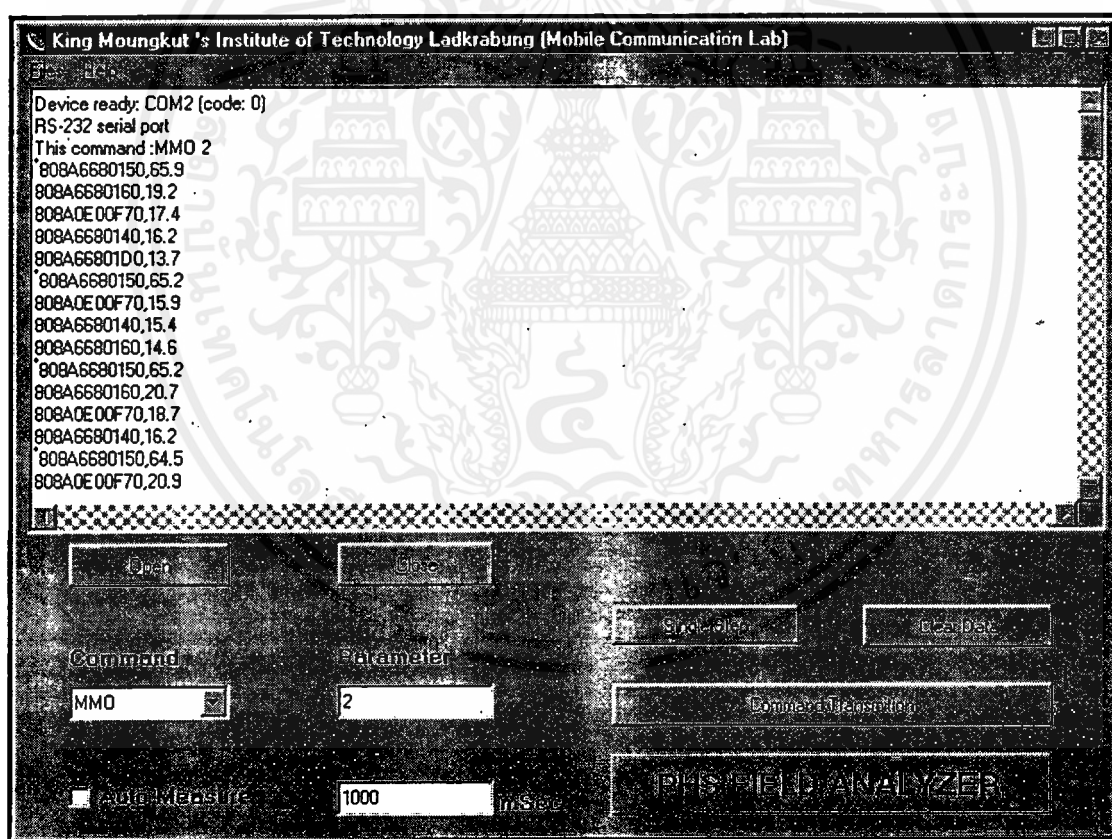
เอกสารนี้เป็นเอกสารที่สงวนไว้สำหรับการใช้งานเพื่อการศึกษาเท่านั้น ไม่อนุญาตให้นำไปใช้ประโยชน์ด้านการค้า ไม่ว่ากรณีใดๆทั้งสิ้น อีกทั้งห้ามมิให้คัดแปลงเนื้อหา และต้องอ้างอิงถึงเจ้าของเอกสารทุกครั้งที่มีการนำไปใช้

3.1.3 ส่วนวัดระยะทาง

ส่วนวัดระยะทางทำหน้าที่เปลี่ยนระยะทางให้เป็นสัญญาณไฟฟ้าเพื่อกระตุ้นให้หน่วยประมวลผลการของคาน์ด้าล็อกเกอร์ส่งคำสั่งไปยังพีเอชเอสฟิลด์ค่อนาไลเซอร์ เพื่อวัดระดับสัญญาณตามระยะทางที่คลื่นเดินทาง

3.1.4 คอมพิวเตอร์

คอมพิวเตอร์ (Computer) ทำหน้าที่ควบคุมการทำงานของเครื่องพีเอชเอสฟิลด์ค่อนาไลเซอร์และรับข้อมูลของระดับสัญญาณที่วัดได้เข้ามาเก็บไว้ฮาร์ดดิสก์(Hard disk) การเชื่อมต่อจะต่อผ่านทางพอร์ทอนุกรม (COM Port) ตามมาตรฐาน RS-232และโปรแกรมที่ใช้ในการเชื่อมต่อนี้ได้พัฒนามาจากโปรแกรมเดลไฟท์ (Delphi) ซึ่งซอสโค้ด(Source Code) ของโปรแกรมสามารถดูได้จากภาคผนวก ก



รูปที่ 3.10 แสดงหน้าต่างการของโปรแกรมถึงกับเครื่องคาน์ด้าล็อกเกอร์

เอกสารนี้เป็นเอกสารที่สงวนไว้สำหรับการใช้งานเพื่อการศึกษาเท่านั้น ไม่อนุญาตให้นำไปใช้ประโยชน์ด้านการค้า
ไม่ว่ากรณีใดๆ ซึ่งโปรแกรมถึงกับเครื่องคาน์ด้าล็อกเกอร์สามารถที่ควบคุมการทำงานของเครื่องพีเอชเอสฟิลด์ค่อนาไลเซอร์ผ่านทางคอมพิวเตอร์ได้ และรับข้อมูลของระดับสัญญาณที่รับได้เข้ามาเก็บในเครื่องคอมพิวเตอร์ได้ โดยรูปแบบการเก็บข้อมูลจะเก็บข้อมูลระดับสัญญาณที่อ่านได้ในรูปแบบ

เท็กซ์(Text Mode)ไว้ในฮาร์ดดิสก์(Hard Disk) ทำให้เกิดความสะดวกในการทำงานและสามารถเก็บข้อมูลได้เป็นจำนวนมาก โหมดการของโปรแกรมสามารถทำงานได้ 3 โหมดคือ

1. ซิงเกิลสเต็ป(Single Step) คือการวัดสัญญาณเพียงหนึ่งครั้งทันทีเมื่อมีการกดปุ่มซิงเกิลสเต็ปหนึ่งครั้ง

2. ออโต้เมตเซอร์(Auto Measure)คือการวัดระดับสัญญาณตามค่าของเวลาที่ตั้งไว้เมื่อครบเวลาที่ตั้งไว้โปรแกรมก็จะส่งคำสั่งไปยังพีเอชเอสฟิลด์ค่อนาลิเซอร์เพื่ออ่านค่าระดับสัญญาณแล้วนำค่าเข้ามาเก็บไว้ในเครื่องคอมพิวเตอร์ ซึ่งการทำงานจะช้าอย่างนี้ไปเรื่อยๆ

3. ดิสเทนซ์ทรานสดิวเซอร์(Distance Transducer)คือวัดระดับสัญญาณตามระยะทางที่เปลี่ยนคือเมื่อรถเคลื่อนที่ไปทำให้ตำแหน่งของแม่เหล็กกับสวิทช์แม่เหล็กมาตรงกันก็จะมีสัญญาณกระตุ้นให้เครื่องคาต้าล็อกเกอร์ก็จะทำการอ่านค่าสัญญาณจากพีเอชเอสฟิลด์ค่อนาลิเซอร์หนึ่งครั้งแล้วส่งค่าระดับสัญญาณที่อ่านได้ไปเก็บไว้ในเครื่องคอมพิวเตอร์ ไปโดยโปรแกรมเชื่อมโยงจะทำหน้าที่รับค่าระดับสัญญาณจากเครื่องคาต้าล็อกเกอร์และบันทึกข้อมูลลงฮาร์ดดิสก์

วิธีการควบคุมพีเอชเอสฟิลด์ค่อนาลิเซอร์ผ่านทางเครื่องคอมพิวเตอร์ โดยการเลือกคำสั่งที่จะส่งให้เครื่องพีเอชเอสฟิลด์ค่อนาลิเซอร์ที่อยู่ในไดอะล็อก(Dialog)ซึ่งภายในไดอะล็อกนี้จะประกอบด้วยคำสั่งของรุ่นLF-960 ทั้งหมดที่มีอยู่ซึ่งความหมายของด้วยคำสั่งและค่าพารามิเตอร์ต่างที่สามารถส่งได้จะแสดงให้เห็นในภาคผนวก ก จากนั้นก็ใส่ค่าพารามิเตอร์ที่ต้องการจะส่งให้เครื่องพีเอชเอสฟิลด์ค่อนาลิเซอร์ทำงานในช่องพารามิเตอร์(Parameter) เมื่อทำการป้อนค่าตัวแปรเรียบร้อยแล้วก็กดปุ่มคอมมานด์ทรานสมิชั่น(Command Transmission)ส่งคำสั่งไปให้เครื่องพีเอชเอสฟิลด์ค่อนาลิเซอร์เป็นอันเสร็จสิ้นการส่งงานหนึ่งคำสั่ง ถ้าค่าพารามิเตอร์ถูกต้องพีเอชเอสฟิลด์ค่อนาลิเซอร์จะเปลี่ยนตามคำสั่ง แต่ถ้าค่าพารามิเตอร์ที่ใส่ให้ไม่ถูกต้องเครื่องจะส่งเสียงบีบ(Beep) พร้อมกับบอกสถานะความผิดพลาดออกมาเป็นรหัสซึ่งสามารถตีความหมายของรหัสได้จากภาคผนวก ก

3.1.5 ฮาร์ดดิสก์

ฮาร์ดดิสก์(Hard Disk) ทำหน้าที่เป็นที่เก็บข้อมูลของระดับสัญญาณที่วัดได้ การเก็บลงในฮาร์ดดิสก์โดยโปรแกรมเชื่อมต่อกับเครื่องคาต้าล็อกเกอร์นี้จะบันทึกข้อมูลในรูปแบบเท็กซ์โหมดเมื่อต้องการนำข้อมูลมาวิเคราะห์สามารถที่จะโปรแกรมประเภทเวิร์ดโปรเซสเซอร์(Word Processor)เปิดขึ้นมาดูได้

เอกสารนี้เป็นเอกสารที่สงวนไว้สำหรับการใช้งานเพื่อการศึกษาเท่านั้น ไม่อนุญาตให้นำไปใช้ประโยชน์ด้านการค้าไม่ว่ากรณีใดๆทั้งสิ้น อีกทั้งห้ามมิให้คัดแปลงเนื้อหา และต้องอ้างอิงถึงเจ้าของเอกสารทุกครั้งที่มีการนำไปใช้

3.2 การออกแบบโปรแกรมวิเคราะห์

วิธีการออกแบบโปรแกรมออกแบบการวางเซลล์เตชัน ในวิทยานิพนธ์นี้จะเลือกใช้โปรแกรมเมทซ์แค็ด2000(Mathcad2000) ซึ่งข้อดีของโปรแกรมนี้นี้คือการทำงานของโปรแกรมเป็นลักษณะของวินโดวส์(Windows) ทำให้ง่ายต่อการใช้งาน, รูปแบบการแสดงผลของเอทซ์แค็ดสามารถเปลี่ยนแปลงรูปแบบการแสดงผลได้ง่าย, ลักษณะการเขียนคำสั่งให้โปรแกรมทำงานยังสามารถเขียนในลักษณะของฟังก์ชันได้ด้วย และนอกจากนี้สามารถทำเป็นหน้าต่างสำหรับเพื่อใช้เฉพาะงานโดยสามารถปรับค่าตัวแปร เมื่อต้องการจะเปลี่ยนแปลงค่าตัวแปร ซึ่งสามารถเปลี่ยนแปลงค่าตัวแปรและคำนวณใหม่ได้ทันที

3.2.1 มุมตกกระทบที่ระยะใดๆ

การลดทอนของสัญญาณเป็นฟังก์ชัน(Function)ของระยะการเดินทางของคลื่นที่แปรผันแบบตามกัน เมื่อระยะทางเดินขึ้นเพิ่มมากขึ้นการลดทอนของสัญญาณก็จะเป็นสัดส่วนตามระยะทาง โดยที่แนวการแพร่กระจายคลื่นไม่มีสิ่งกีดขวาง(LOS)

จากรูปที่3.11 สามารถเขียนสมการระยะทางเดินของคลื่นที่ตำแหน่งใดๆแสดงให้เห็นดังสมการ ซึ่งตัวอย่างการหาระยะทางเดินของคลื่นที่ตำแหน่งใดๆ จะแสดงคลื่นที่มีการสะท้อนอันดับที่หนึ่งและอันดับที่สองตามลำดับ ดังสมการที่3.3 และสมการที่3.7 ตามลำดับ โดยที่ทั้งสองสมการเป็นฟังก์ชันของระยะทางในอน(D)ทั้งสองสมการ

เมื่อ h_t = ความสูงของเซลล์ที่ตั้งอยู่บนเพดานที่ทราบค่า

h_r = ความสูงของเครื่องรับ

D = ระยะห่างในแนวนอน

D_{dir} = ระยะห่างจากเซลล์เตชันถึงเครื่องรับ

D_{ref1} = ระยะทางเดินคลื่นที่มีการสะท้อนหนึ่งครั้งจากเซลล์เตชันถึงเครื่องรับ

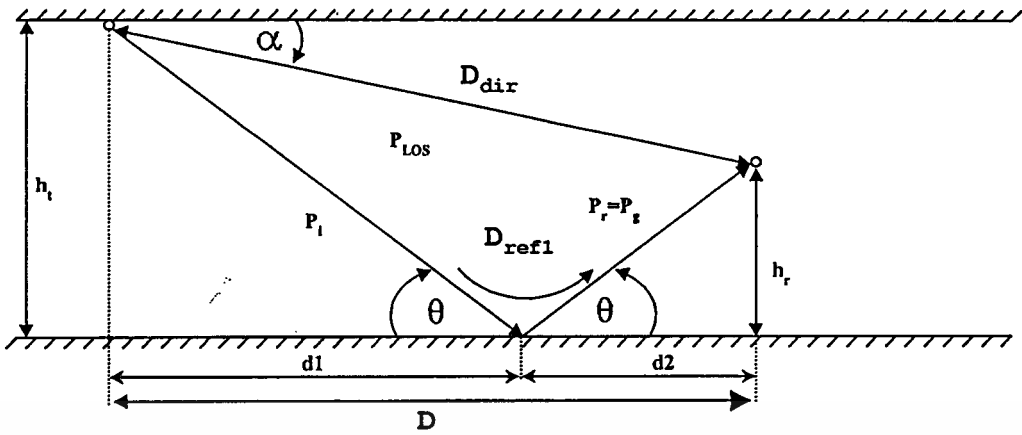
D_{ref2} = ระยะทางเดินคลื่นที่มีการสะท้อนสองครั้งจากเซลล์เตชันถึงเครื่องรับ

$$D = d_1 + d_2 \quad (3.1)$$

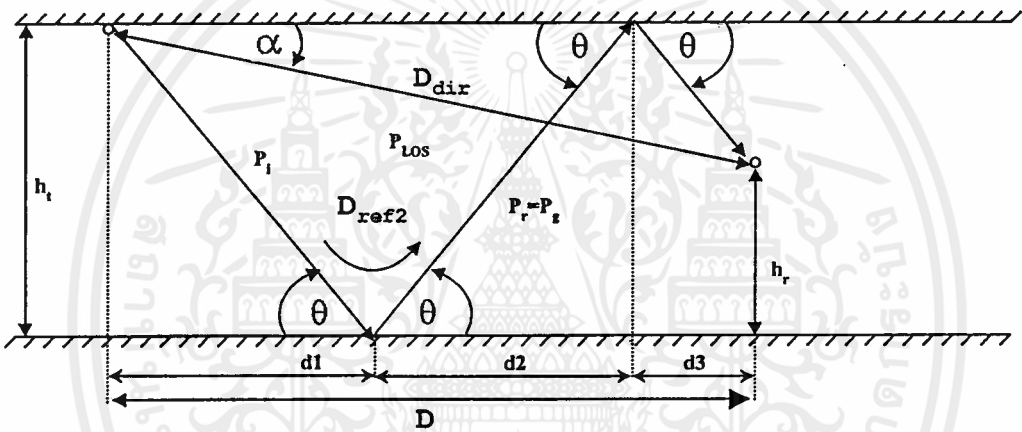
$$d_1 = \frac{h_t}{\tan(\theta)} \quad d_2 = \frac{h_r}{\tan(\theta)}$$

$$\theta(D) = \tan^{-1}\left(\frac{h_t + h_r}{D}\right) \quad (3.2)$$

$$D_{ref1}(D) = \frac{h_t + h_r}{\sin\left\{\tan^{-1}\left(\frac{h_t + h_r}{D}\right)\right\}} \quad (3.3)$$



รูปที่ 3.11 การสะท้อนของสัญญาณ 1 ครั้ง



รูปที่ 3.12 การสะท้อนของสัญญาณ 2 ครั้ง

$$D = d_1 + d_2 + d_3 \quad (3.4)$$

$$d_1 = d_2 = \frac{h_t}{\tan(\theta)} \quad d_3 = \frac{h_t - h_r}{\tan(\theta)}$$

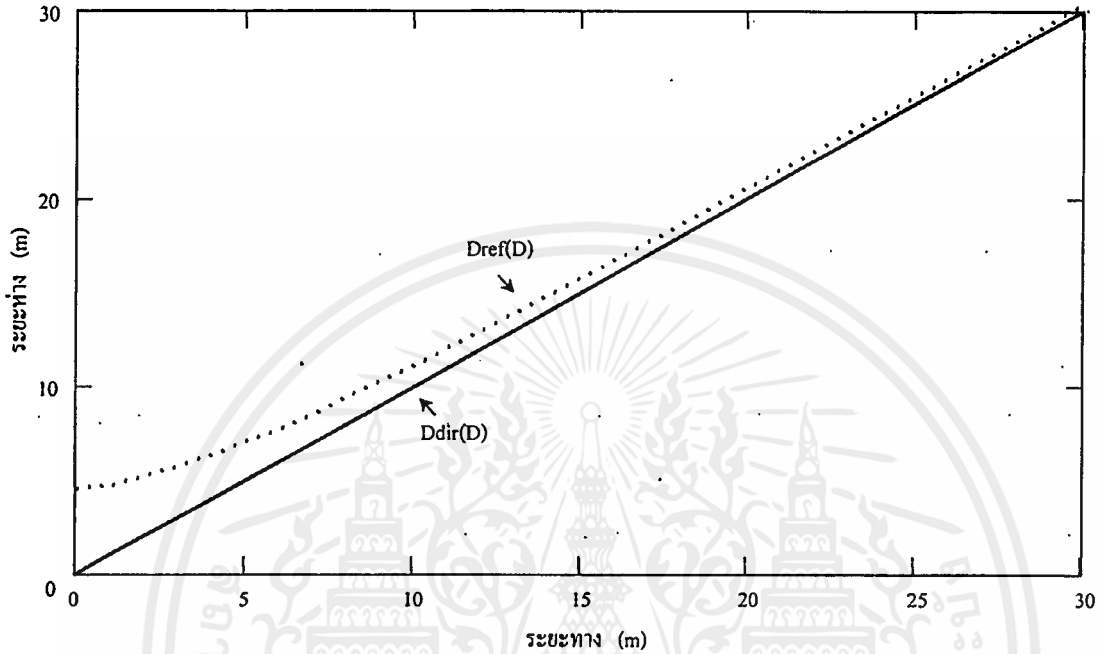
$$D = 2d_1 + d_3 = 2\left(\frac{h_t}{\tan(\theta)}\right) + \left(\frac{h_t - h_r}{\tan(\theta)}\right) \quad (3.5)$$

$$\theta(D) = \tan^{-1}\left(\frac{3h_t - h_r}{D}\right) \quad (3.6)$$

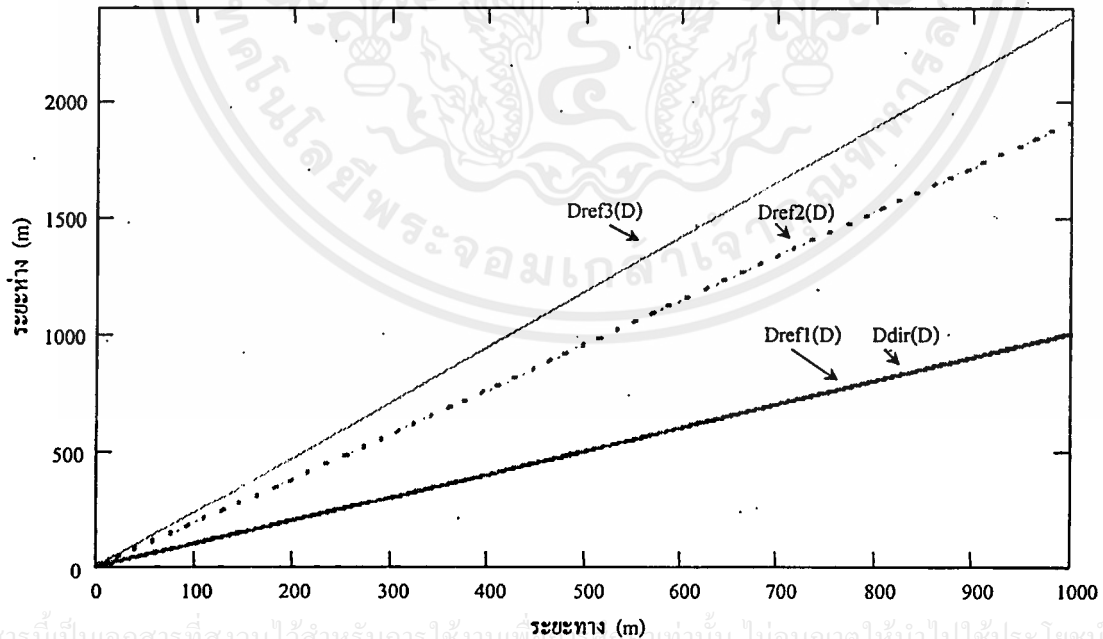
$$D_{ref2}(D) = \frac{3h_t - h_r}{\sin\left\{\tan^{-1}\left(\frac{3h_t - h_r}{D}\right)\right\}} \quad (3.7)$$

สรุปการหาค่าระยะทางเดินของคลื่นที่อันดับต่างสามารถสรุปเป็นสมการได้ดังสมการที่ 3.8

$$\theta(D) = \begin{cases} \tan^{-1}\left(\frac{n \cdot h_t + h_r}{D}\right) & \text{even} \\ \tan^{-1}\left(\frac{(n+1) \cdot h_t - h_r}{D}\right) & \text{odd} \end{cases} \quad (3.8)$$



รูปที่ 3.13 เปรียบเทียบระยะเวลาการเดินทางของคลิ่นที่มีการสะท้อนอันดับ 1 (Dref1) กับ คลิ่นที่เดิน โดยตรง



รูปที่ 3.14 ระยะเวลาการเดินทางของคลิ่นที่มีการสะท้อนอันดับ 1 (Dref1), 2 (Dref2) และ 3 (Dref3) (Ddir).

เอกสารนี้เป็นเอกสารที่สงวนไว้สำหรับการใช้งานเพื่อการศึกษาเท่านั้น ไม่อนุญาตให้นำไปใช้ประโยชน์ด้านการค้า

ไม่ว่ากรณีใดๆทั้งสิ้น อีกทั้งห้ามมิให้คัดแปลงเนื้อหา และต้องอ้างอิงถึงเจ้าของเอกสารทุกครั้งที่มีการนำไปใช้

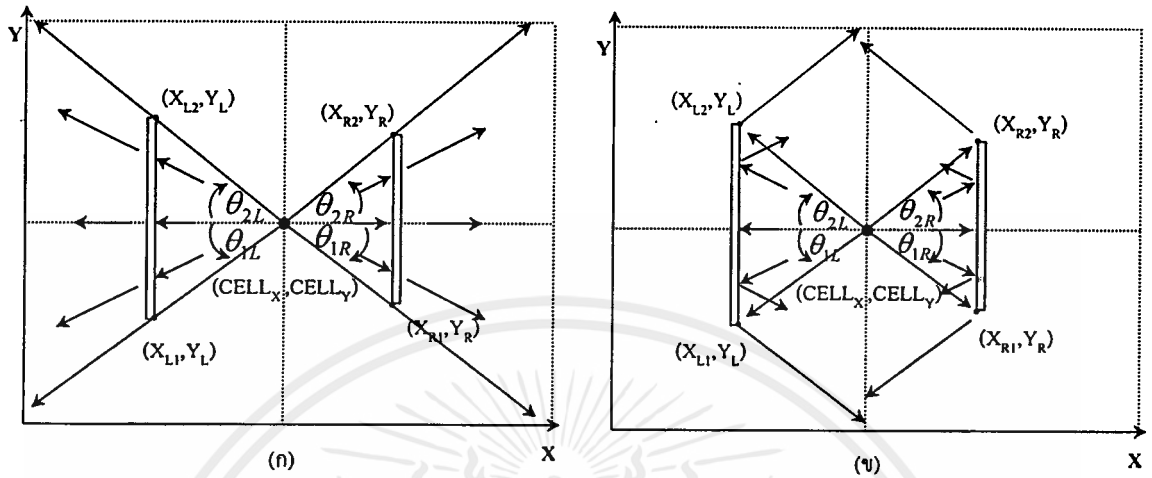
ระยะทางเดินคลื่นจากเซลล์ระดับถึงเครื่องรับที่อันดับต่างกันจะทำให้ความแรงของสัญญาณที่เกิดจากการสะท้อนจะส่งผลให้ทำให้เกิดการลดทอนของคลื่นแตกต่างกันออกไป ซึ่งสามารถแสดงให้เห็นดังรูปที่ 3.13 จากรูปจะสังเกตเห็นว่าการสะท้อนของคลื่นตั้งแต่อันดับสองขึ้นไปซึ่งการลดทอนมีระยะทางแปรผันตามระยะทางที่คลื่นเดินทางโดยตรง คือเมื่อระยะทางที่คลื่นเดินทางโดยตรงเพิ่มขึ้นระยะทางเดินคลื่นที่เกิดจากการสะท้อนก็จะเพิ่มขึ้นเป็นอัตราส่วนที่ตามกัน สามารถแสดงระยะทางการสะท้อนของคลื่นที่อันดับที่ 2, 3 และ 4 ได้ดังรูปที่ 3.14 ตามลำดับ คลื่นที่มีอันดับการสะท้อนเพิ่มขึ้นก็จะมีระยะทางเดินคลื่นเพิ่มมากขึ้นตามไปด้วย ส่วนคลื่นที่มีการสะท้อนอันดับหนึ่งจะมีลักษณะที่แตกต่างจากอันดับอื่นๆ คือเมื่อระยะทางเดินคลื่นโดยตรงจากเซลล์ระดับไปยังเครื่องรับมีระยะทางเพิ่มขึ้น จนกระทั่งระยะทางเพิ่มขึ้นเข้าใกล้ค่าอนันต์ (Infinity) ค่าระยะทางเดินที่เกิดจากการสะท้อนอันดับหนึ่งจะมีระยะทางประมาณเท่ากับระยะทางเดินคลื่นโดยตรงเนื่องจากระยะห่างระหว่างเซลล์ระดับมากกว่าระยะความสูงของเครื่องรับมากๆ ดังนั้น ผลกระทบของการสะท้อนของคลื่น การสะท้อนอันดับที่หนึ่งจะมีผลกระทบต่อระดับสัญญาณมากที่สุด จึงเลือกใช้การสะท้อนของสัญญาณอันดับหนึ่งในแบบโมเดลของเรย์เทรซซิง (Ray tracing model) ทำให้การคาดเดาระดับความแรงของสัญญาณแม่นยำยิ่งขึ้น

3.2.2 ผลกระทบของการลดทอนและการสะท้อน

แนวคิดเริ่มต้นจากกำหนดให้พื้นที่ครอบคลุมเป็นค่าตัวแปรใดๆ ในแนวแกน X และแนวแกน Y โดยพื้นที่ครอบคลุมของเซลล์ระดับจะอยู่ในพิกัดฉากมีค่าเท่ากับ ($CELL_x, CELL_y$) การคำนวณหาค่าการสะท้อนและการลดทอนที่เกิดจากกำแพงหรือฉากกันต่างๆ เริ่มต้นจากกำแพงหรือฉากกันจะมีอยู่สองลักษณะด้วยกันคือในแนวตั้งและแนวนอนกับตำแหน่งของเซลล์ระดับดังในรูปที่ 13.5(ก) และรูปที่ 13.6(ก) จากรูปแสดงให้เห็นถึงทิศทางเดินของคลื่นเมื่อผ่านกำแพงหรือฉากกัน เมื่อคลื่นเดินทางผ่านกำแพงจะทำให้ระดับของสัญญาณที่ผ่านทะลุกำแพงหรือฉากกันมีค่าน้อยลง ซึ่งการลดทอนจะมากหรือน้อยขึ้นอยู่กับชนิดของวัสดุที่ใช้ในการทำกำแพงหรือฉากกันนั้นๆ ส่วนลักษณะการสะท้อนของคลื่นสามารถแสดงให้เห็นดังรูปที่ 13.5(ข) และรูปที่ 13.6(ข) โดยจากรูปจะเป็นกำแพงในแนวตั้งและแนวนอนตามลำดับ สัญญาณที่สะท้อนมีทิศทางคล้ายกับสัญญาณที่ทะลุผ่านกำแพงแต่ทิศทางตรงกันข้าม ซึ่งจากกฎของสเนล (Snell's Law) ว่ามุมของคลื่นที่ตกกระทบเท่ากับมุมของคลื่นที่สะท้อน แต่จะแตกต่างกันตรงที่ความแรงของสัญญาณที่สะท้อนออกมาจะขึ้นอยู่กับค่าของไดอิเล็กตริกคอนสแตนท์ (Dielectric Constant) ของวัสดุนั้นๆ

เมื่อวางเซลล์ที่ตำแหน่งที่ใดๆ ($CELL_x, CELL_y$) ตำแหน่งที่ตั้งกำแพงหรือฉากกันจะแบ่งออกเป็นกำแพงที่อยู่ทางด้านซ้ายและด้านขวาแสดงดังรูปที่ 13.5(ก) และรูปที่ 13.5(ข) ก็จะอยู่ทางด้านขวาเมื่อตำแหน่งของกำแพงที่ $X < CELL_x$ และอยู่ทางด้านขวาเมื่อตำแหน่งของกำแพงที่ $X > CELL_x$ โดยที่ตำแหน่งความยาวของกำแพงเท่ากับตำแหน่ง Y ใดๆ ทำให้เกิดมุมระหว่างระนาบ X

ของเซลล์เซชันเป็นมุมต่างๆ ความยาวของกำแพงหรือฉากกั้นกำหนดจาก Y_1 และ Y_2 เป็นค่าความยาวของกำแพงจากจุดเริ่มต้นไปยังจุดสิ้นสุดตามลำดับ สามารถเขียนเป็นสมการได้ดังนี้



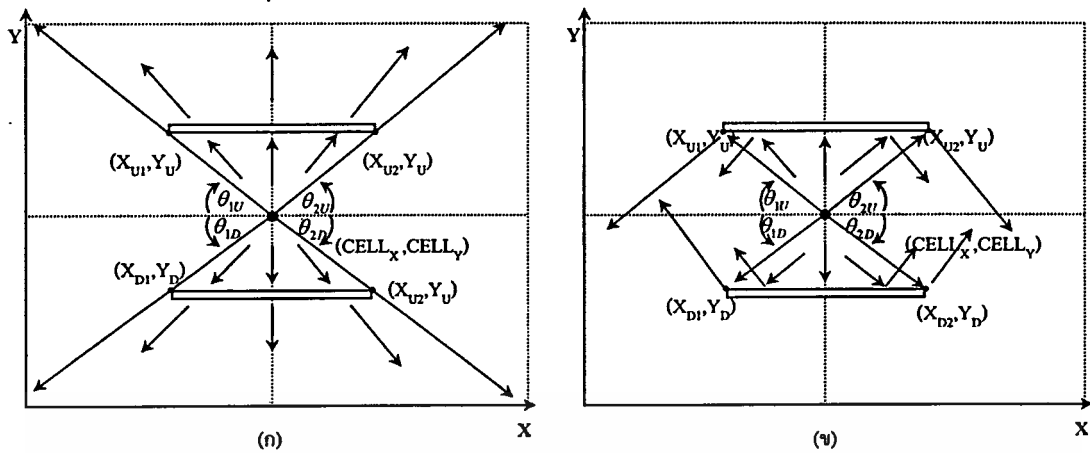
รูปที่ 3.15 (ก) ทิศทางการแพร่กระจายคลื่นผ่านกำแพงในแนวตั้ง

(ข) ทิศทางการแพร่กระจายคลื่นที่เกิดการสะท้อนจากผ่านกำแพงในแนวตั้ง

$$\theta(X, Y_1, Y_2) = \begin{cases} \theta_L = \tan^{-1} \left(\frac{CELL_y - Y_{1L,2L}}{CELL_x - X} \right) & X < CELL_x \\ \theta_R = \tan^{-1} \left(\frac{CELL_y - Y_{1R,2R}}{X - CELL_x} \right) & X > CELL_x \end{cases} \quad (3.9)$$

กำแพงหรือฉากกั้นที่อยู่ในแนวนอนจะใช้แนวคิดคล้ายกับกำแพงหรือฉากกั้นที่อยู่ในแนวตั้ง คือกำแพงหรือฉากกั้นจะแบ่งออกเป็นกำแพงที่อยู่ทางด้านล่างและด้านบนแสดงดังรูปที่ 13.6(ก) และรูปที่ 13.6(ข) คือจะอยู่ทางด้านล่างเมื่อตำแหน่งของกำแพงที่ $Y < CELL_y$ และอยู่ทางด้านบนเมื่อตำแหน่งของกำแพงที่ $Y > CELL_y$ โดยที่ตำแหน่งความยาวของกำแพงเท่าตำแหน่ง X ใดๆ ทำให้เกิดมุมระหว่างระนาบ Y ของเซลล์เซชันเป็นมุมต่างๆ ความยาวของกำแพงหรือฉากกั้น กำหนดจาก X_1 และ X_2 เป็นค่าความยาวของกำแพงจากจุดเริ่มต้นไปยังจุดสิ้นสุดตามลำดับ สามารถเขียนเป็นสมการได้ดังนี้

เอกสารนี้เป็นเอกสารที่สงวนไว้สำหรับการใช้งานเพื่อการศึกษาเท่านั้น ไม่อนุญาตให้นำไปใช้ประโยชน์ด้านการค้า ไม่ว่ากรณีใดๆทั้งสิ้น อีกทั้งห้ามมิให้คัดแปลงเนื้อหา และต้องอ้างอิงถึงเจ้าของเอกสารทุกครั้งที่มีการนำไปใช้



รูปที่ 3.16 (ก) ทิศทางการแพร่กระจายคลื่นผ่านกำแพงในแนวนอน

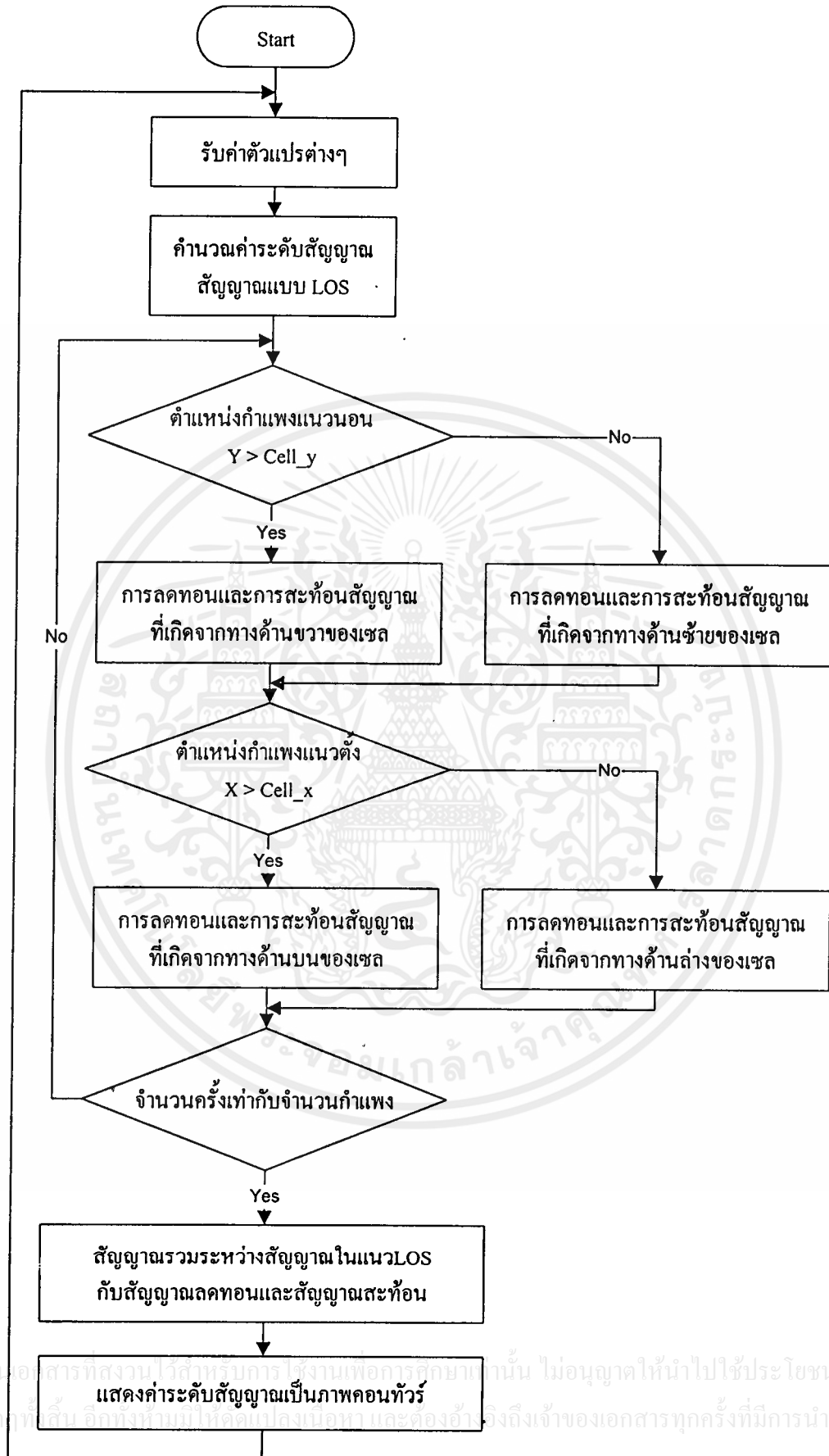
(ข) ทิศทางการแพร่กระจายคลื่นที่เกิดการสะท้อนจากกำแพงในแนวนอน

$$\theta(X_1, X_2, Y) = \begin{cases} \theta_D = \tan^{-1}\left(\frac{CELL_Y - Y}{CELL_X - X_{1D,2D}}\right) & Y < CELL_Y \\ \theta_U = \tan^{-1}\left(\frac{Y - CELL_Y}{CELL_X - X_{1U,2U}}\right) & Y > CELL_Y \end{cases} \quad (3.10)$$

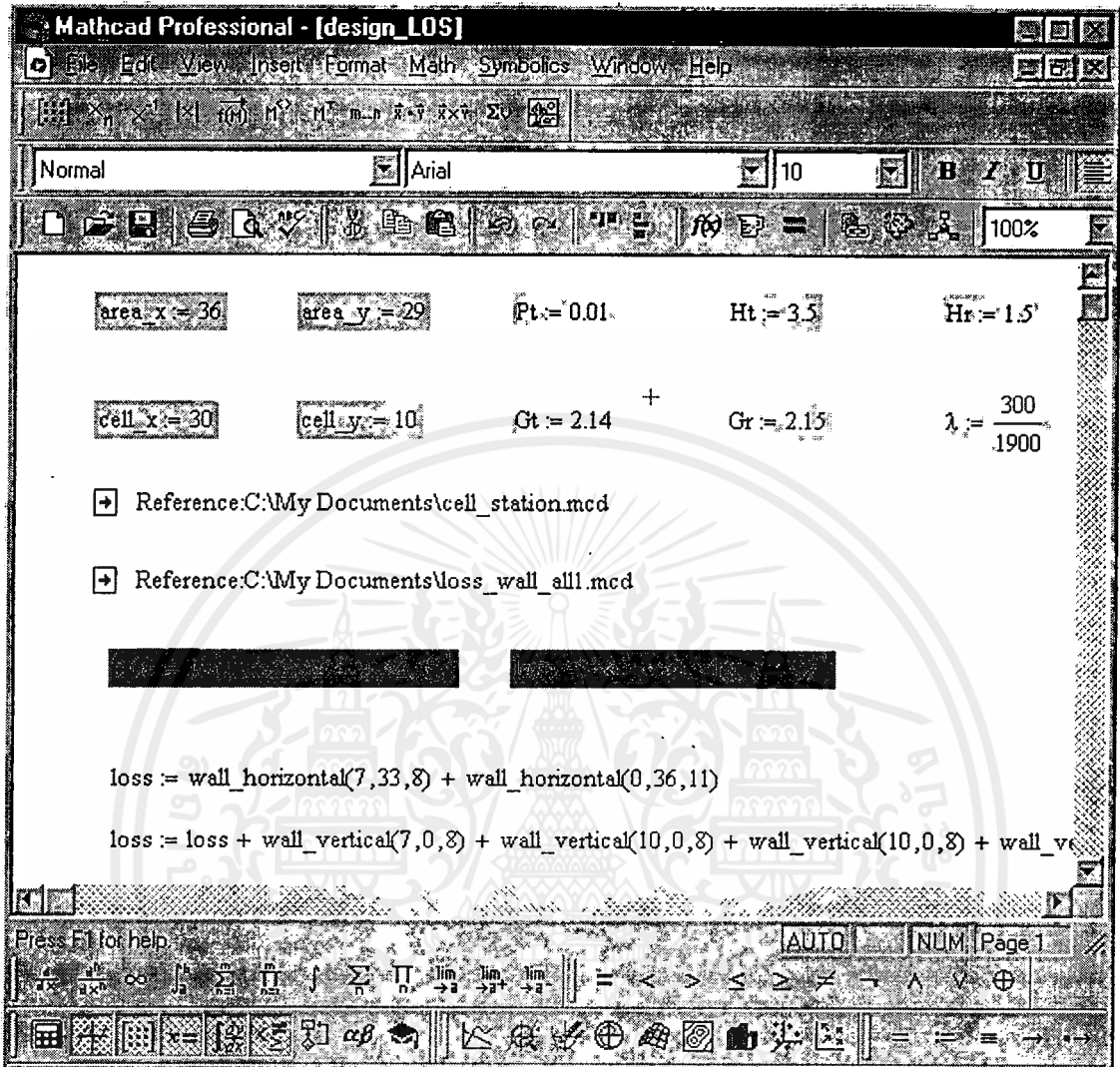
จากมุดตกกระทบต่างๆของเซลล์เช่นเดียวกับกำแพงสามารถนำค่าของมุดต่างๆนี้ไปหาค่าพื้นที่ครอบคลุมของสัญญาณที่ถูกบังโดยกำแพงเพื่อหาการลดทอนของสัญญาณที่เกิดจากกำแพงและจากมุดตกกระทบเดียวกันนี้ยังสามารถนำมาคำนวณหาพื้นที่ครอบคลุมของสัญญาณที่เกิดจากการสะท้อนของสัญญาณได้เช่นกัน

จากวิธีการหามุดตกต่างๆของกระแทกและการสะท้อนสามารถเขียนเป็นรูป(Loop) โปรแกรมเพื่อหาผลกระทบทันทีของกำแพงหรือจากกันต่อพื้นที่ครอบคลุมทั้งหมดแสดงให้เห็นในภาคผนวก และจากคำนวณนี้จะเป็นผลของการสะท้อนและการลดทอนของสัญญาณครั้งละหนึ่งกำแพงหรือหนึ่งจากกัน โดยที่ผลรวมของการสะท้อนและการลดทอนจะถูกรวบรวมในตอนท้ายสามารถที่จะเขียนเป็นโฟว์ชาร์ท(Flow chart) การทำงานได้ดังรูปที่ 3.17 นั้นหมายความว่าผลรวมทั้งหมดนี้จะเท่ากับจำนวนกำแพงหรือจากกันที่มีอยู่จริงของแต่ละอาคารนั้นๆ

เอกสารนี้เป็นเอกสารที่สงวนไว้สำหรับการใช้งานเพื่อการศึกษาเท่านั้น ไม่อนุญาตให้นำไปใช้ประโยชน์ด้านการค้า ไม่ว่ากรณีใดๆทั้งสิ้น อีกทั้งห้ามมิให้คัดแปลงเนื้อหา และต้องอ้างอิงถึงเจ้าของเอกสารทุกครั้งที่มีการนำไปใช้



รูปที่3.17 โฟว์ชาร์ทการทำงานของโปรแกรมการออกแบบการวางตำแหน่งเซลล์สดชื่น



รูปที่ 3.18 โปรแกรมออกแบบการวางเซลล์สถานีโดยใช้โปรแกรมเมทซ์แคด(Mathcad)

เอกสารนี้เป็นเอกสารที่สงวนไว้สำหรับการใช้งานเพื่อการศึกษาเท่านั้น ไม่อนุญาตให้นำไปใช้ประโยชน์ด้านการค้า
ไม่ว่ากรณีใดๆทั้งสิ้น อีกทั้งห้ามมิให้คัดแปลงเนื้อหา และต้องอ้างอิงถึงเจ้าของเอกสารทุกครั้งที่มีการนำไปใช้

บทที่ 4

การคำนวณพื้นที่ครอบคลุมและการออกแบบการวางตำแหน่ง เซลล์เคลื่อนที่ภายในอาคาร

ระบบการสื่อสารส่วนบุคคลเป็นระบบที่มีเซลล์เคลื่อนที่ขนาดเล็ก ซึ่งสัญญาณจากเซลล์เคลื่อนที่จากภายนอกอาคารไม่สามารถที่ครอบคลุมพื้นที่ภายในอาคารได้ ดังนั้นจะต้องมีการติดตั้งเซลล์เคลื่อนที่ภายในอาคารซึ่งการติดตั้งเซลล์เคลื่อนที่ภายในอาคารจำเป็นต้องเข้าใจให้ลึกซึ้งถึงลักษณะการแพร่กระจายคลื่นในสภาวะแวดล้อมที่เป็นแบบภายในอาคาร

จากลักษณะทางกายภาพพื้นฐานของแบบจำลองการแพร่กระจายคลื่นภายในอาคารสามารถหาเค้าโครงการแพร่กระจายคลื่นโดยใช้เทคนิคการสะท้อนของแสง พลังงานของสัญญาณที่รับได้และเฟส (Phase) สามารถคำนวณได้จากตำแหน่งของเครื่องรับ โดยใช้การทับซ้อนจากการแพร่กระจายทั้งหมดจากเครื่องส่งอันดับการสะท้อนอันดับ 1^{st} จากวิธีการนี้สามารถคาดเดาลักษณะการแพร่กระจายคลื่นได้อย่างแม่นยำยิ่งขึ้น

4.1 วิธีการที่ใช้ในหาค่าการสะท้อนและการลดทอนของสัญญาณ

โมเดลที่มีการใช้กันบ่อยๆจะชี้ให้เห็นถึงค่าเฉลี่ยของลอสที่เพิ่มเป็นเลขยกกำลังตามระยะทางที่เพิ่มขึ้น

$$PL(d) \propto \left(\frac{d}{d_0}\right)^n \quad (4.1)$$

เมื่อ n เป็นค่าเฉลี่ยของลอสซึ่งเป็นตัวชี้ให้เห็นว่าลอสที่เพิ่มขึ้นกับระยะทาง d_0 เป็นระยะทางอ้างอิงและ d เป็นระยะห่างระหว่างเครื่องส่งและเครื่องรับ เมื่อพล็อตกราฟในรูปของสเกลล็อก ค่าเฉลี่ยสัมบูรณ์ของลอสเป็นเดซิเบล (Decibel) โดยจะนิยามให้เป็นมีการสูญเสียของสัญญาณจากเครื่องส่งไปยังเครื่องรับอ้างอิงที่ระยะ d_0 รวมกับพาทลอสในหน่วยเดซิเบล

เอกสารนี้เป็นเอกสารที่สงวนไว้สำหรับการใช้งานเพื่อการศึกษาเท่านั้น ไม่อนุญาตให้นำไปใช้ประโยชน์ด้านการค้า
ไม่ว่ากรณีใดๆทั้งสิ้น อีกทั้งห้ามมิให้คัดลอกหรือเผยแพร่ข้อมูลหรือข้อมูลอ้างอิงถึงเจ้าของเอกสารทุกครั้งที่มีการนำไปใช้

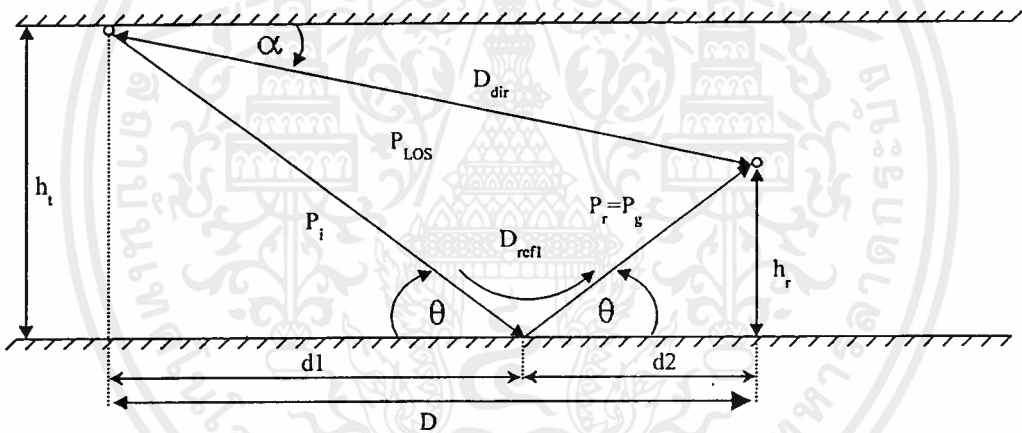
$$PL(d)dB = PL(d_0) + 10 \cdot n \cdot \log_{10}\left(\frac{d}{d_0}\right)dB \quad (4.2)$$

ในที่นี้เราแนะนำให้โดยใช้ระยะอ้างอิงที่ $d_0 = 1m$ สำหรับใช้วัดค่าพาทลอสทั้งหมด สมมติให้ $PL(d_0)$ ที่การแพร่กระจายคลื่นในอากาศห่างจากเครื่องส่งที่ระยะอ้างอิง 1m โดยใช้สายอากาศแบบไอโซโทปิกทำให้เกิดพาทลอส 38.0 dB ที่ความถี่ 1900MHz ที่ระยะห่างเกินกว่า 1m แสดงได้ดังนี้

$$PL(d_0 = 1m)dB = 20 \cdot \log_{10} \left\{ \frac{4\pi(1m)}{\lambda(m)} \right\} dB \tag{4.3}$$

4.1.1 ทฤษฎีโมเดลของเรย์เทรซิ่ง (Ray Tracing Model Theory)

แบบจำลองของทฤษฎีโมเดลแสดงให้เห็นดังรูปที่ 4.1 คลื่นเคลื่อนที่แนวตรงจากความสูงของสายอากาศเครื่องส่งไปยังความสูงของสายอากาศเครื่องรับในแนวระดับสายตาม(LOS) เป็น r_1 คลื่นในส่วนที่สองที่สายอากาศเครื่องรับคลื่นรับคลื่นได้จากการสะท้อนจากพื้นเป็น r_2



รูปที่4.1 ทิศทางของคลื่นในแนวตรงและสะท้อนจากพื้นดิน

โมเดลนี้ใช้เมื่อสายอากาศมีที่วางอยู่เหนือกราวด์เพลน สัญญาณที่ได้จากสายอากาศเครื่องรับเป็นผลรวมของเวกเตอร์สัญญาณในทิศทางตรงและในทิศทางที่เกิดจากการสะท้อน โดยใช้วิธีการของอิมเมจ(Images) สนามไฟฟ้าที่รับได้สามารถอธิบายได้ดังนี้

$$|E|^2 = |E_1 + E_2|^2 = \left| \frac{1}{r_1} e^{-jkr_1} + \Gamma(\alpha) \frac{1}{r_2} e^{-jkr_2} \right|^2 \tag{4.4}$$

เอกสารนี้เป็นเอกสารต้นฉบับที่จัดทำขึ้นเพื่อใช้ในการศึกษาเท่านั้น ไม่อนุญาตให้นำไปใช้ประโยชน์ในการค้า ไม่ว่ากรณีใดๆทั้งสิ้น อีกทั้งห้ามมิให้คัดแปลงเนื้อหา และต้องอ้างอิงถึงเจ้าของเอกสารทุกครั้งที่มีการนำไปใช้

เมื่อ $\Gamma(\theta)$ เป็นสัมประสิทธิ์ของการสะท้อนเฟรสเนล ซึ่งเป็นฟังก์ชันของมุมตกกระทบ α และ โพล่าไรซ์ของสายอากาศสามารถเขียนได้ดังนี้

$$\Gamma(\theta) = \frac{\cos\theta - a\sqrt{\epsilon_r - \sin^2\theta}}{\cos\theta + a\sqrt{\epsilon_r - \sin^2\theta}} \quad (4.5)$$

เมื่อ $a = \begin{cases} 1/\epsilon_r & \text{vertical polarization} \\ 1 & \text{horizontal polarization} \end{cases}$

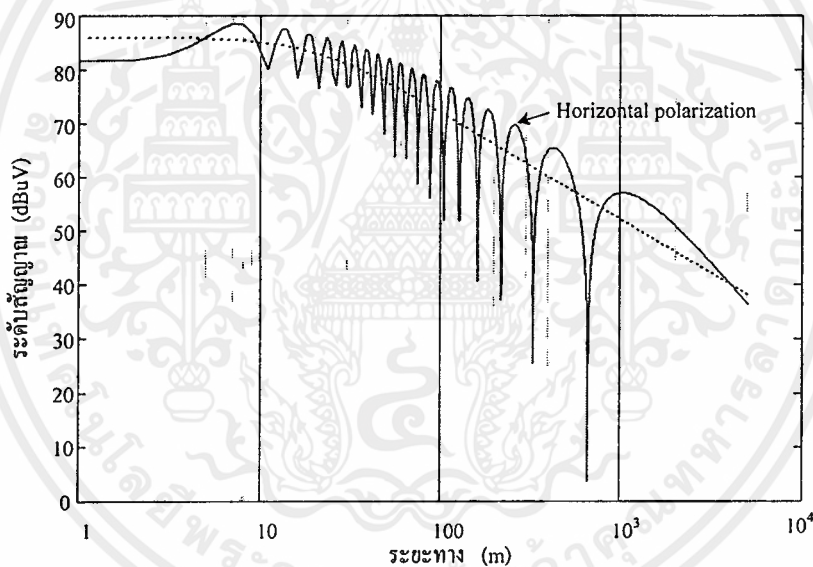
และ $\theta = \frac{\pi}{2} - \alpha$, ϵ_r เป็นค่าคงที่ฉนวนรูปที่ 4.1 เป็นการพล็อตค่าพาทลอสในหน่วยเดซิเบล สัมพันธ์กับพลังงานที่รับได้ที่ระยะอ้างอิง 1m จุดที่เป็นฟังก์ชันของระยะห่างระหว่างเครื่องรับและเครื่องส่งของทูเรย์โมเดล(Two-ray Model) แสดงดังรูปที่ 4.1 โดยให้สัมประสิทธิ์การสะท้อนเฟรสเนล (Fresnel) สมมุติให้มีค่าเป็น $\Gamma = -1$ แสดงในรูปที่ 4.2 รูปที่ 4.3 และรูปที่ 4.4 แสดงให้เห็นพื้นที่แตกต่างอย่างชัดเจนที่ระยะเบรคพอยท์(Break-point) แสดงให้เห็นความแตกต่างที่สำคัญของความเข้มของสัญญาณที่รับแบ่งออกเป็นสองพื้นที่ ก่อนที่จะถึงจุดเบรคพอยท์สัญญาณจะออสซิลเลททำให้เกิดความเสียหายของสัญญาณและเกิดการสอดแทรกของสองสัญญาณที่รับได้ ซึ่งค่าเฉลี่ยพาทลอสสามารถหาได้จากค่าเฉลี่ยของฟาสเฟดดิ้ง(Fast Fading) ซึ่งในที่นี้มีเลขยกกำลังเป็น $n = 2$ โดยที่การออสซิลเลทจะสิ้นสุดลงหลังจากเลยจุดเบรคพอยท์ไปแล้ว

จุดเบรคพอยท์ที่แสดงในรูปที่ 4.2, รูปที่ 4.3 และรูปที่ 4.4 สามารถที่จะใช้ความสัมพันธ์ทฤษฎีของเฟรสเนล พื้นที่แรกของเฟรสเนลนิยามให้โฟกัสเป็นรูปวงรีอยู่ที่สายอากาศของเครื่องรับและเครื่องส่ง ระยะจากสายอากาศไปยังจุดบนเส้นวงรี จากรูปที่ 4.2, รูปที่ 4.3 และรูปที่ 4.4 จุดเบรคพอยท์จะพิจารณาระยะห่างกราวด์เป็นฉากกันส่วนแรกของพื้นที่เฟรสเนล เมื่อทางแพร่กระจายคลื่นของช่วงแรกของเฟรสเนล โชนเป็นพื้นที่โล่งหมายความถึงในทางปฏิบัติฉากกันจะไม่ชน

$$d_r = \frac{1}{\lambda} \sqrt{(\Sigma^2 - \Delta^2)^2 - 2(\Sigma^2 + \Delta^2) \left(\frac{\lambda}{2}\right)^2 + \left(\frac{\lambda}{2}\right)^4} \quad (4.6)$$

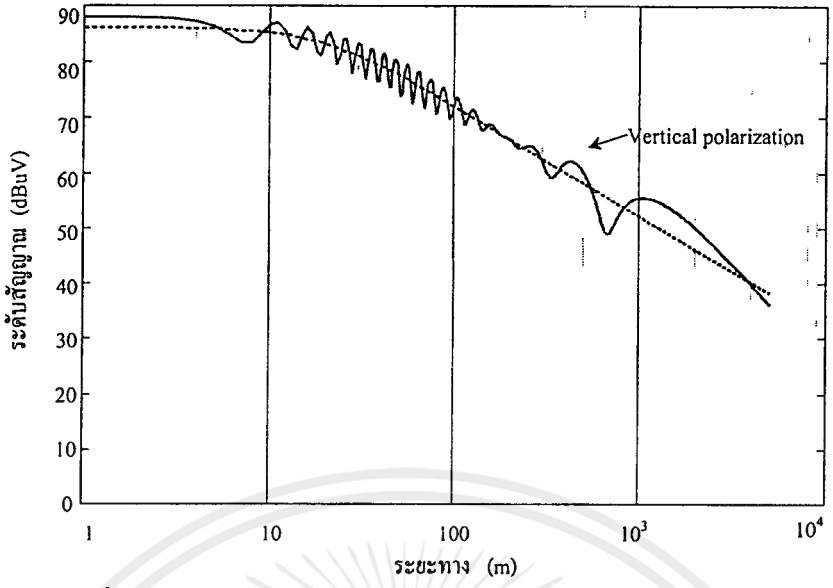
เมื่อ $\Sigma = h_r + h_t$ และ $\Delta = h_r - h_t$ จากสมการสมมุติให้พื้นที่โล่งระหว่างเครื่องรับกับเครื่องส่งแบบราบ โมเดลเฟรสเนล โชนจะใช้ได้เฉพาะพื้นที่ที่เป็นไลน์ออฟไซค์(LOS) ให้นำไปใช้ประโยชน์ด้านการค้า ไม่ว่าจะกรณีใดๆ ทั้งสิ้น อีกทั้งห้ามมิให้คัดแปลงเนื้อหา และต้องอ้างอิงถึงเจ้าของเอกสารทุกครั้งที่มีการนำไปใช้

จากโมเดลดังกล่าวมาข้างต้นสามารถคำนวณหาระดับสัญญาณในแนวสายตา(LOS) ของเซลล์เคลื่อนที่โทรศัพท์ไร้สายส่วนบุคคลพกพาพื้นฐานส่วนบุคคลที่ซึ่กภายในอาคาร ซึ่งกำลังส่งของเซลล์เคลื่อนที่เท่ากับ 10mW เหนือสายอากาศเครื่องส่งเท่ากับ 2.15dBi เหนือสายอากาศเครื่องรับเท่ากับ 2.14dBi ความสูงของเครื่องส่งเท่ากับ 4 เมตร ความสูงของสายอากาศเครื่องรับเท่ากับ 1.5 เมตรและค่าไดอิเล็กตริกคอนสแตนต์(Dielectric Constant)เท่ากับ 7-j0.05 จากค่าของตัวแปรต่างๆที่กำหนดข้างต้นและจากสมการของทูเรย์โมเดลสามารถที่จะแสดงให้เห็นถึงผลกระทบของโพลาไรซ์ของสัญญาณต่อผลรวมของสัญญาณที่เกิดจากการสะท้อน ซึ่งสามารถแสดงให้เห็นผลรวมของสัญญาณที่เกิดจากการรวมของสัญญาณที่เกิดการรวมของสัญญาณฮอริซอลทอลโพลาไรซ์(Horizontal Polarize) แสดงให้เห็นดังรูปที่ 4.2 โดยที่สัมประสิทธิ์การสะท้อนมีค่าสูงสุดเท่ากับ -1 และผลรวมของสัญญาณที่เกิดจากการรวมของการสะท้อนสัญญาณเวอร์ทิคอลลโพลาไรซ์(Vertical Polarize) แสดงให้เห็นดังรูปที่ 4.3 โดยที่สัมประสิทธิ์การสะท้อนมีค่าสูงสุดเท่ากับ -1 ตามลำดับ



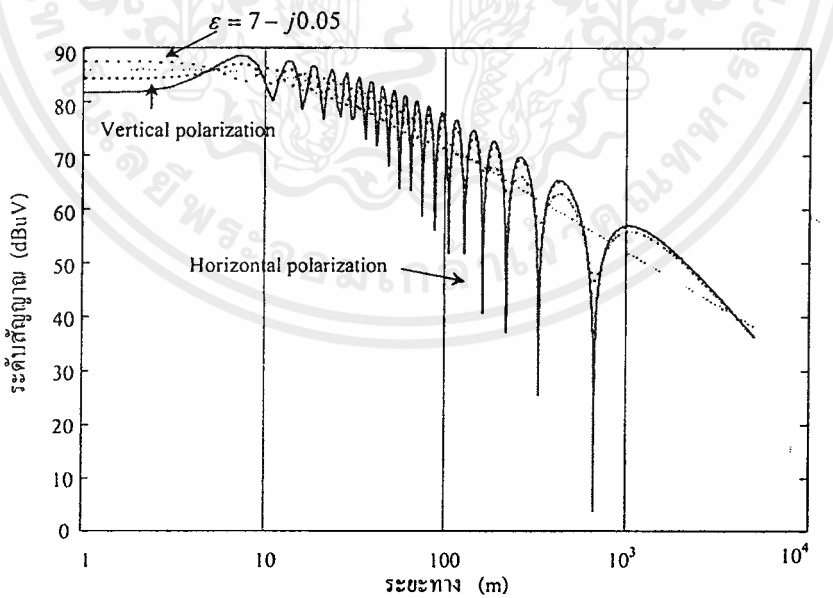
รูปที่ 4.2 ระดับสัญญาณที่คำนวณจากเรย์โมเดล โดยกำหนดคสนามเป็น H polarize ที่ $H_t = 4$ m และ $H_r = 1.5$ m ที่ความถี่ 1900MHz สัมประสิทธิ์การสะท้อนเท่ากับ -1

เอกสารนี้เป็นเอกสารที่สงวนไว้สำหรับการใช้งานเพื่อการศึกษาเท่านั้น ไม่อนุญาตให้นำไปใช้ประโยชน์ด้านการค้า ไม่ว่ากรณีใดๆทั้งสิ้น อีกทั้งห้ามมิให้คัดแปลงเนื้อหา และต้องอ้างอิงถึงเจ้าของเอกสารทุกครั้งที่มีการนำไปใช้



รูปที่ 4.3 ระดับสัญญาณที่คำนวณจากเรย์โมเดล โดยกำหนดสนามเป็น V polarize ที่ $H_t = 4m$ $H_r = 1.5 m$ ที่ความถี่ 1900MHz สัมประสิทธิ์การสะท้อนเท่ากับ -1

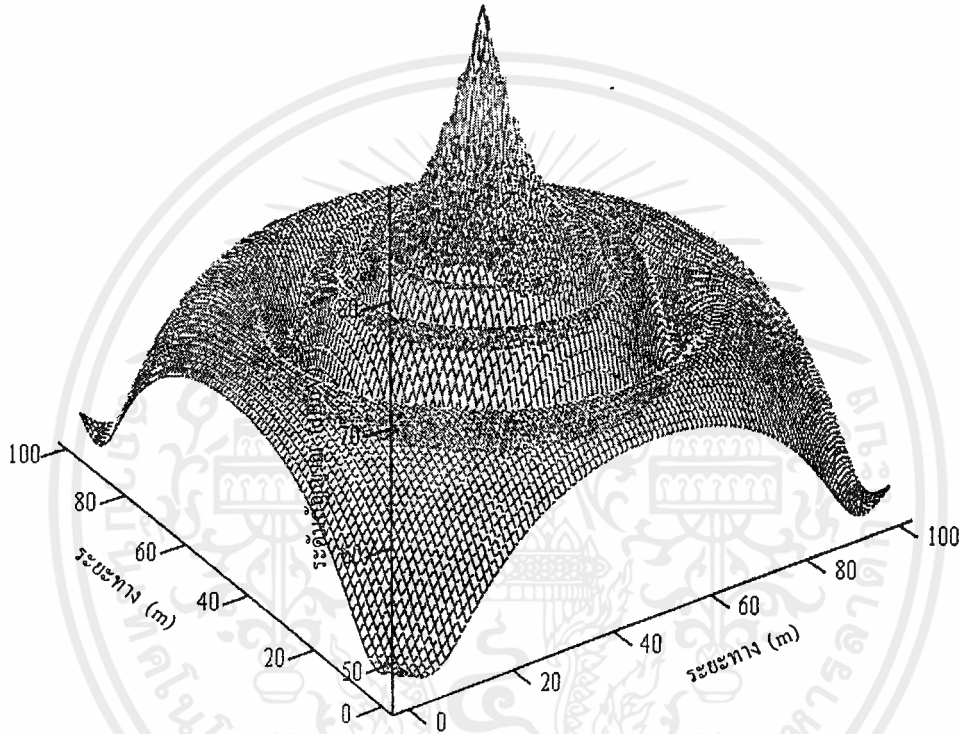
เมื่อเปรียบเทียบผลการรวมของสัญญาณทั้งสอง โพล่าไรซ์พบว่าผลกระทบของสัญญาณรวม โพล่าไรซ์ของฮอริซอลทอล โพล่าไรซ์มีผลกระทบต่อสัญญาณรวมมากกว่าผลกระทบของสัญญาณรวมของเวอร์ทิคอล โพล่าไรซ์ทำให้ซึ่งฮอริซอลทอล โพล่าไรซ์จะทำให้เกิดการเฟดดิ้งของสัญญาณมากกว่าเวอร์ทิคอล โพล่าไรซ์ สามารถแสดงการเปรียบเทียบให้เห็นดังรูปที่ 4.4



รูปที่ 4.4 เปรียบเทียบผลของสัญญาณที่เกิดจากการสะท้อนสัญญาณจากพื้นที่ Polarize ต่างๆกันและมีค่าสัมประสิทธิ์การสะท้อนเท่ากับ -1

เอกสารนี้เป็นลิขสิทธิ์ของสถาบันเทคโนโลยีพระจอมเกล้าเจ้าคุณทหารลาดกระบัง การนำเอกสารนี้ไปใช้โดยไม่ได้รับอนุญาตถือว่าผิดกฎหมาย

ถ้าสมมุติให้พื้นที่ครอบคลุมเซลล์สเตรนภายในอาคารกว้างเท่า 100 เมตรและยาวเท่ากับ 100 เมตร กำลังส่งของเซลล์สเตรนเท่ากับ 10mW เหนือสายอากาศเครื่องส่งเท่ากับ 2.15dBi เหนือสายอากาศเครื่องรับเท่ากับ 2.14dBi ความสูงของเครื่องส่งเท่ากับ 4 เมตร ความสูงของสายอากาศเครื่องรับเท่ากับ 1.5 เมตร และค่าไดอิเล็กตริกคอนสแตนต์(Dielectric Constant)เท่ากับ 7-j0.05 การแพร่กระจายคลื่นเป็นแบบเวอริ-ทิกอลโพลาไรซ์ จากโมเดลของทูเรย์สามารถที่จะคาดเดาการแพร่กระจายคลื่นในพื้นที่ในแนวสายตา (LOS) โดยยังไม่รวมถึงการลดทอนที่เกิดการกำพงหรือจากกันต่างๆ ได้ดังรูปที่ 4.5



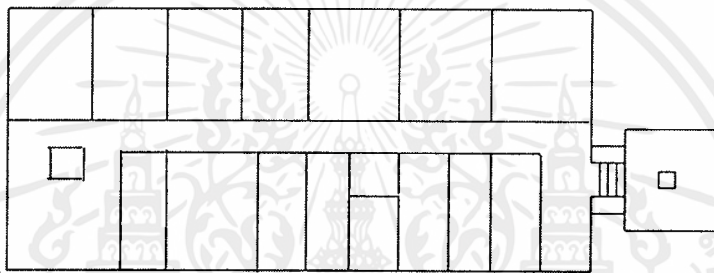
รูปที่ 4.5 พื้นที่ครอบคลุมเซลล์ในแนวสายโดยทูเรย์โมเดล

4.2 การหาระดับสัญญาณโดยใช้โปรแกรม

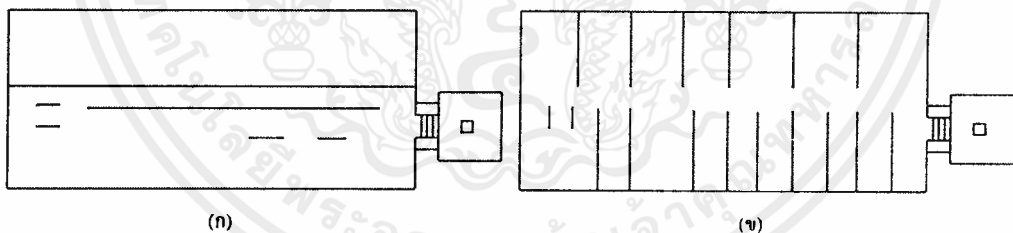
วิธีการออกแบบการวางตำแหน่งของเซลล์สเตรนภายในอาคาร เริ่มต้นจากต้องทราบถึงลักษณะของอาคารอย่างคร่าวๆว่ารูปร่างของอาคารเป็นอย่างไร โดยปกติจะอ้างอิงกับแผนผังโครงสร้างของอาคาร การแบ่งจำนวนของห้องของแต่ละชั้นของอาคารนั้น วัสดุที่ใช้ทำกำแพงหรือจากกันทำจากวัสดุใดมีค่าสัมประสิทธิ์ไดอิเล็กตริกเท่ากับเท่าใด ซึ่งวัสดุที่ใช้ทำกำแพงหรือจากกันนั้นทำให้เกิดการลดทอนของสัญญาณต่างกัน

เอกสารนี้เป็นเอกสารที่สงวนไว้สำหรับการใช้งานเพื่อการศึกษาเท่านั้น ไม่อนุญาตให้นำไปใช้ประโยชน์ด้านการค้า ไม่ว่ากรณีใดๆทั้งสิ้น อีกทั้งห้ามมิให้คัดแปลงเนื้อหา และต้องอ้างอิงถึงเจ้าของเอกสารทุกครั้งที่มีการนำไปใช้

การคำนวณของโปรแกรมจะแบ่งออกเป็น 3 ขั้นตอนด้วยกันคือ 1.คำนวณหาค่าพื้นที่ครอบคลุมเซลล์ระดับของสัญญาณในพื้นที่โล่งในส่วนนี้คำนวณการลดทอนของสัญญาณที่เกิดจากระยะทางและผลกระทบของสัญญาณที่เกิดจากการสะท้อนของพื้นอาคาร โดยกำหนดพื้นที่ที่ครอบคลุมทั้งหมดของเซลล์ระดับคือพื้นที่ทั้งหมดของอาคารในแต่ละชั้นมีค่าเท่ากับค่าความกว้างและความยาวของอาคารแต่ละอาคารดังแสดงให้เห็นดังรูปที่ 4.6 หรือกับการแทนค่าความกว้างของอาคารเท่ากับค่าตัวแปร $area_x$ และค่าความยาวของอาคารเท่ากับค่าตัวแปร $area_y$ ในโปรแกรมตามลำดับ จากนั้นกำหนดจุดการวางเซลล์ระดับไว้ที่ตำแหน่งใดๆของอาคารหรือแทนค่าตัวแปรตำแหน่งอาคารเท่ากับตำแหน่งในแนวแกน X เท่ากับค่าตัวแปร $CELL_X$ และตำแหน่งในการวางเซลล์ระดับในแนวแกน Y เท่ากับค่าตัวแปร $CELL_Y$ ตามลำดับ



รูปที่ 4.6 แผนผังอาคารของตึกโทรคมนาคม ชั้น 1 คณะวิศวกรรมศาสตร์

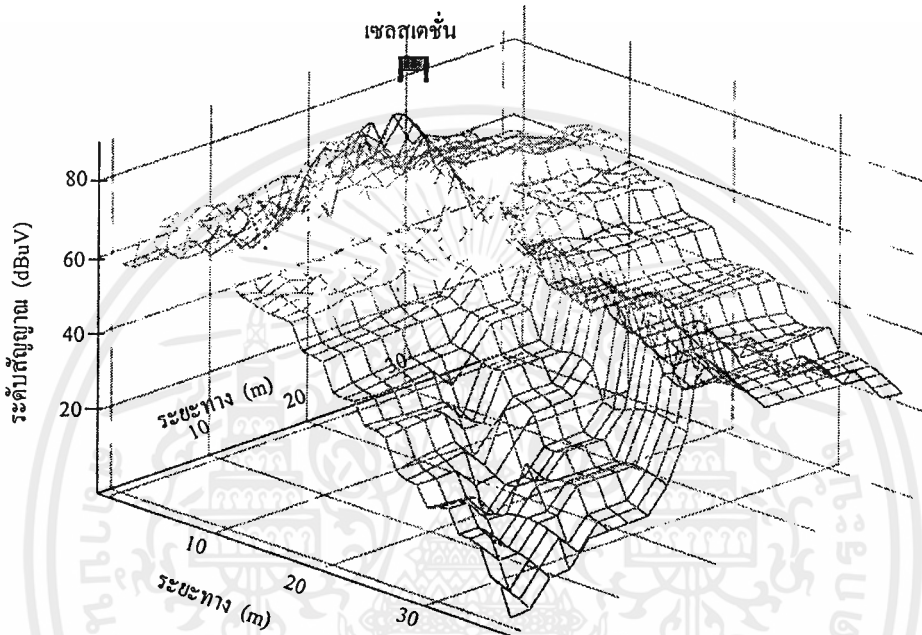


รูปที่ 4.7 (ก) กำแพงหรือฉากกั้นในแนวนอนทั้งหมดของตึกโทรคมนาคมชั้น 1 คณะวิศวกรรมศาสตร์

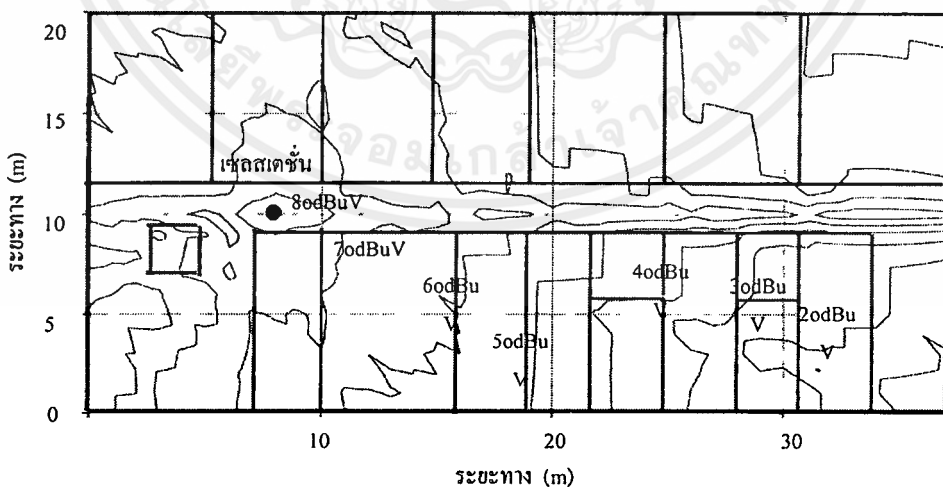
(ข) กำแพงหรือฉากกั้นในแนวตั้งทั้งหมดของตึกโทรคมนาคมชั้น 1 คณะวิศวกรรมศาสตร์

ส่วนที่ 2. โปรแกรมจะคำนวณผลของการสะท้อนและการลดทอนของสัญญาณที่เกิดจากจากกำแพงหรือฉากกั้นต่างๆซึ่งโดยปกติอาคารต่างๆจะประกอบด้วยห้องเล็กๆหลายๆห้อง โดยที่แต่ละห้องส่วนใหญ่จะประกอบด้วยกำแพงอยู่สองแนวคือกำแพงที่อยู่ในนอนและกำแพงที่อยู่ในแนวตั้ง วิธีการกำหนดพิกัดของตำแหน่งของกำแพงหรือฉากกั้น แบ่งเป็นการกำหนดพิกัดในแนวตั้งและพิกัดในแนว

นอสดังแสดงให้เห็นการแบ่งลักษณะของก้าแพงออกดังรูปที่4.7(ก) (x_1, x_2, y) เมื่อก้า x_1 =จุดเริ่มต้นของก้าแพง x_2 =จุดสิ้นสุดของก้าแพงและ y = ตำแหน่งที่ตั้งของก้าแพง และรูปที่4.7(ข) ตามลำดับ ส่วนที่ 3. เมื่อก้าหนดจำนวนก้าแพงหรือฉากกั้นทั้งหมดเรียบริ้วโปรแกรมก็จะคำนวณหาระดับของสัญญาณที่ครอบคลุมพื้นที่ภายในอาคารนั้นทั้งหมด ซึ่งระดับของสัญญาณที่คำนวณออกมาจะเป็น $dB\mu V$ รูปข่าย (Mesh)ของสัญญาณหรือปรับเปลี่ยนการแสดงผลเป็นลักษณะของภาพคอนทัวร์(Contour) เพื่อให้เห็นลักษณะการครอบคลุมของเขตแดนชั้นในอาคารในแต่ละชั้นได้ง่ายยิ่งขึ้น

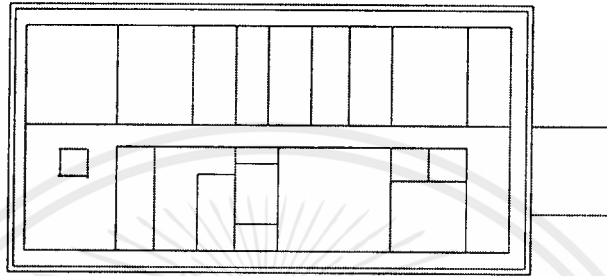


รูปที่4.8 ลักษณะภาพตาข่าย 3มิติของสัญญาณที่คำนวณได้จาก โปรแกรมของตึกโทรคมนาคม ชั้น 1

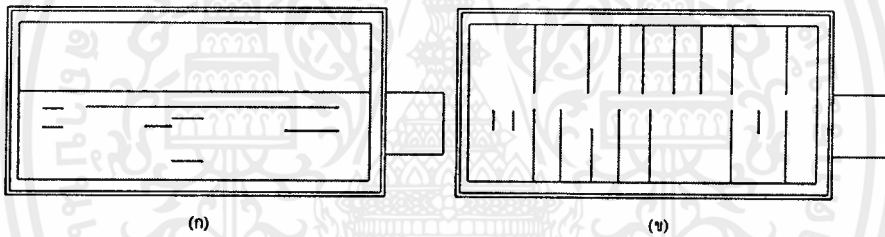


รูปที่4.9 ลักษณะภาพ คอนทัวร์ของสัญญาณที่คำนวณได้จาก โปรแกรมของตึกโทรคมนาคม ชั้น 1

เมื่อกำหนดตำแหน่งพิกัดการวางตำแหน่งเซลล์แต่ละชั้น ขนาดของพื้นที่ที่ครอบคลุมและพิกัดตำแหน่งที่ตั้งกำแพงต่างๆเรียบร้อยแล้ว ก็สามารถที่จะเห็นลักษณะการครอบคลุมของเซลล์แต่ละชั้นได้ โดยในที่นี้จะเลือกเอาตึกโทรคมนาคม คณะวิศวกรรมศาสตร์เป็นตัวอย่างในการคำนวณ ซึ่งตึกโทรคมนาคมประกอบด้วยกัน 3 ชั้นซึ่งแสดงให้เห็นผลของการคำนวณได้ดังรูปที่ 4.8, 4.9, 4.12, 4.13, 4.15 และ 4.16 เป็นระดับสัญญาณของตึกโทรคมนาคมชั้นที่ 1, 2 และ 3 ตามลำดับ

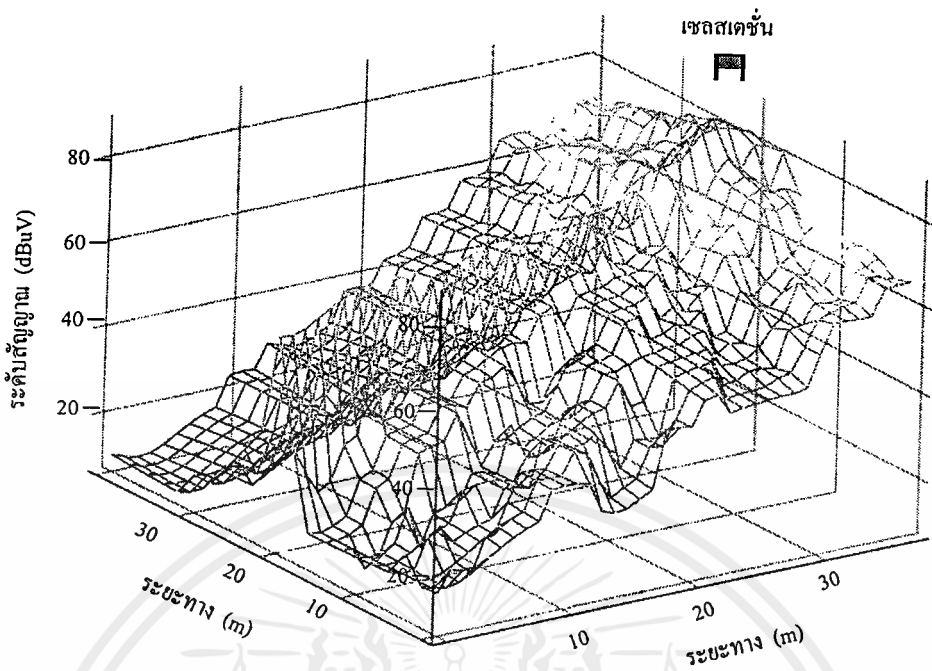


รูปที่ 4.10 แผนผังอาคารของตึกโทรคมนาคม ชั้น 2 คณะวิศวกรรมศาสตร์

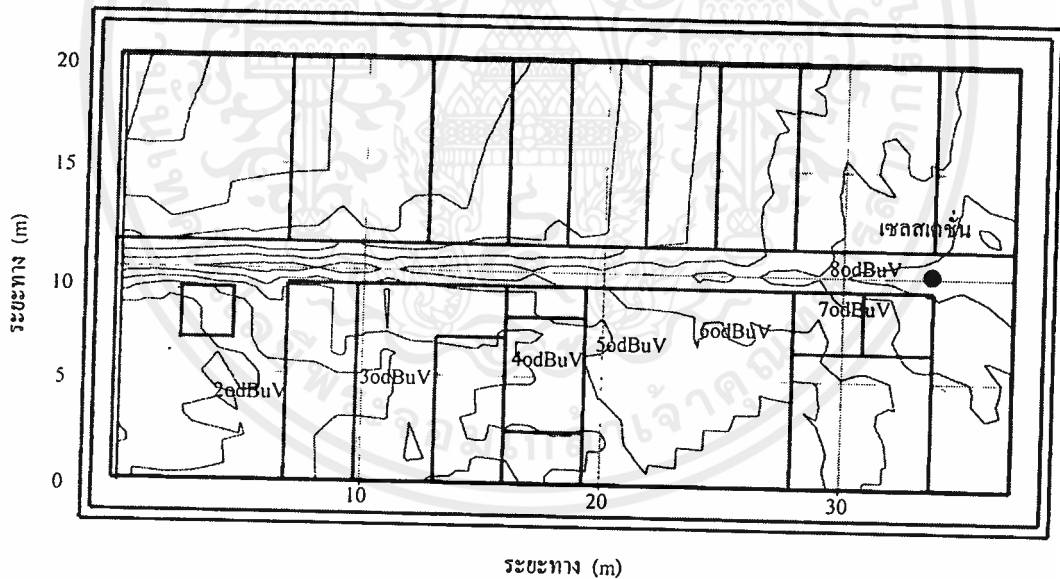


รูปที่ 4.11 (ก) กำแพงหรือฉากกั้นในแนวนอนทั้งหมดของตึกโทรคมนาคมชั้น 2 คณะวิศวกรรมศาสตร์
(ข) กำแพงหรือฉากกั้นในแนวตั้งทั้งหมดของตึกโทรคมนาคมชั้น 2 คณะวิศวกรรมศาสตร์

เอกสารนี้เป็นเอกสารที่สงวนไว้สำหรับการใช้งานเพื่อการศึกษาเท่านั้น ไม่อนุญาตให้นำไปใช้ประโยชน์ด้านการค้า
ไม่ว่ากรณีใดๆทั้งสิ้น อีกทั้งห้ามมิให้คัดแปลงเนื้อหา และต้องอ้างอิงถึงเจ้าของเอกสารทุกครั้งที่มีการนำไปใช้

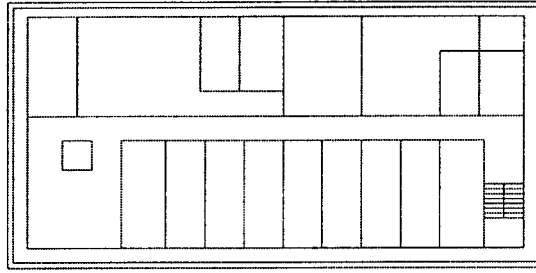


รูปที่ 4.12 ลักษณะภาพตาข่าย 3 มิติของสัญญาณที่คำนวณได้จากโปรแกรมของตึกโทรคมนาคม ชั้น 2

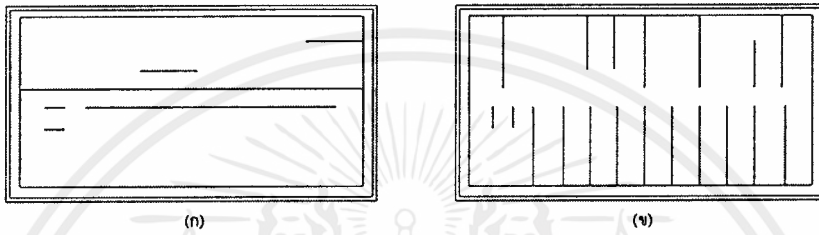


รูปที่ 4.13 ลักษณะภาพ คอนทัวร์ของสัญญาณที่คำนวณได้จากโปรแกรมของตึกโทรคมนาคม ชั้น 2

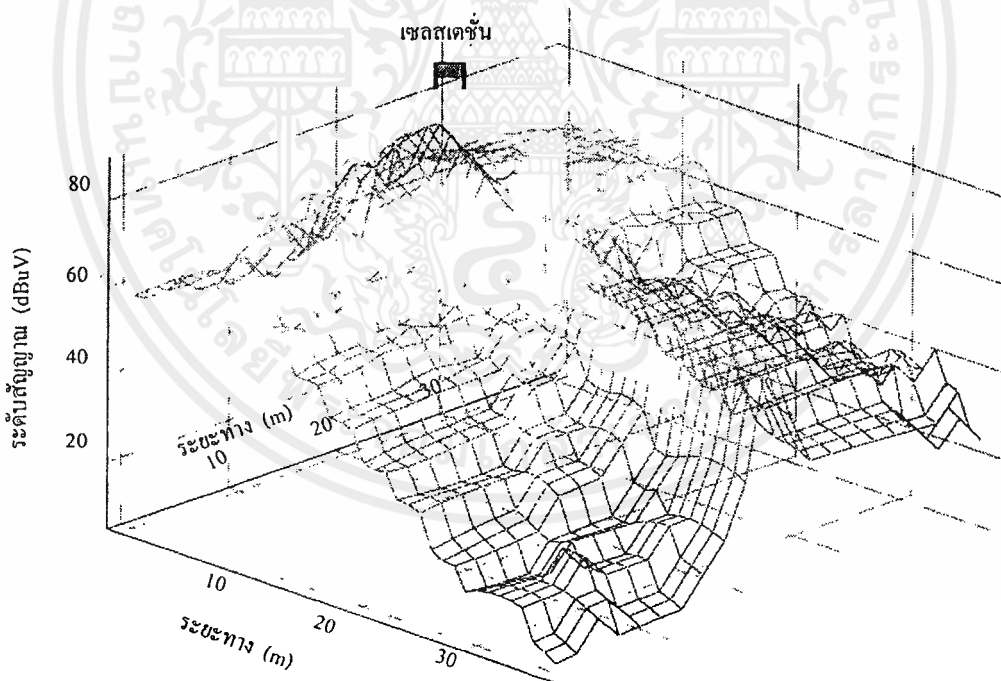
เอกสารนี้เป็นเอกสารที่สงวนไว้สำหรับการใช้งานเพื่อการศึกษาเท่านั้น ไม่อนุญาตให้นำไปใช้ประโยชน์ด้านการค้า ไม่ว่าจะกรณีใดๆทั้งสิ้น อีกทั้งห้ามมิให้คัดแปลงเนื้อหา และต้องอ้างอิงถึงเจ้าของเอกสารทุกครั้งที่มีการนำไปใช้



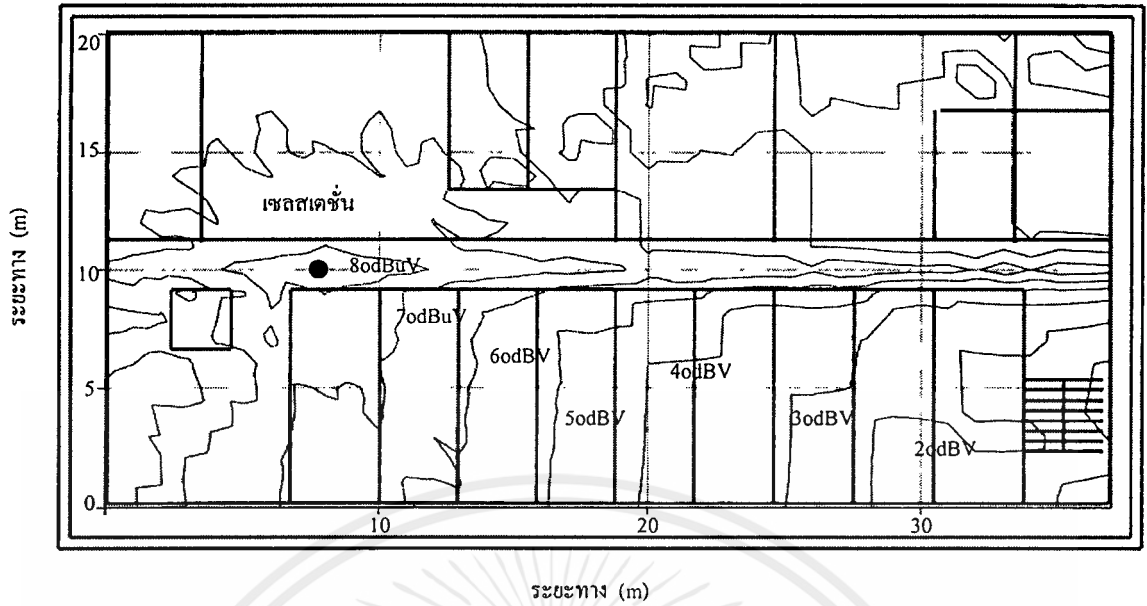
รูปที่ 4.14 แผนผังอาคารของตึกโทรคมนาคม ชั้น 3 คณะวิศวกรรมศาสตร์



รูปที่ 4.15 (ก) ตำแหน่งหรือฉากกั้นในแนวนอนทั้งหมดของตึกโทรคมนาคมชั้น 3 คณะวิศวกรรมศาสตร์
(ข) ตำแหน่งหรือฉากกั้นในแนวตั้งทั้งหมดของตึกโทรคมนาคมชั้น 3 คณะวิศวกรรมศาสตร์



รูปที่ 4.16 ลักษณะภาพตาข่าย 3มิติของสัญญาณที่คำนวณได้จากโปรแกรมของตึกโทรคมนาคม ชั้น 3
เอกสารนี้เป็นเอกสารที่สงวนไว้สำหรับการใช้งานเพื่อการศึกษาเท่านั้น ไม่อนุญาตให้นำไปใช้ประโยชน์ด้านการค้า
ไม่ว่ากรณีใดๆทั้งสิ้น อีกทั้งห้ามมิให้คัดแปลงเนื้อหา และต้องอ้างอิงถึงเจ้าของเอกสารทุกครั้งที่มีการนำไปใช้

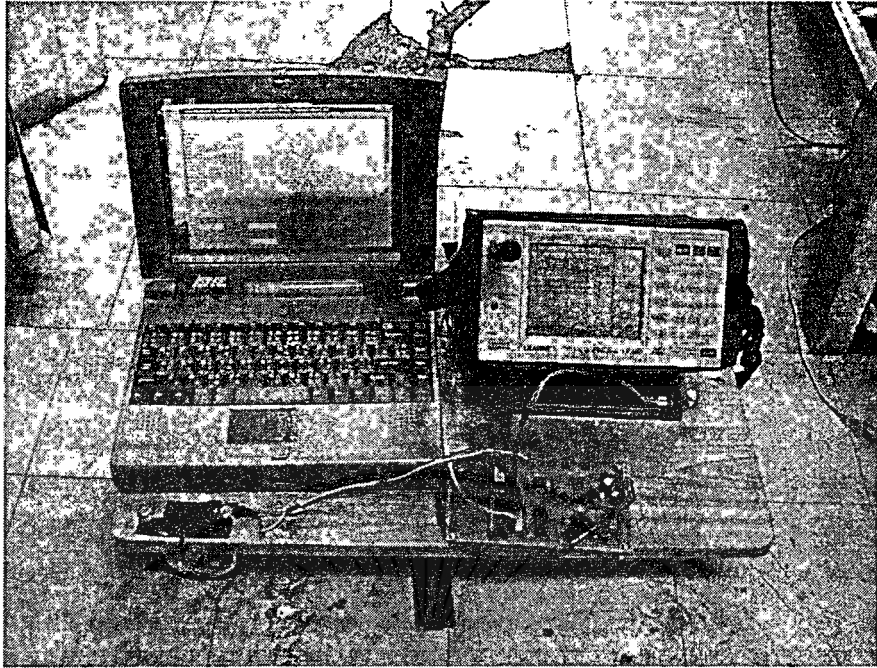


รูปที่ 4.17 ลักษณะภาพ คอนทัวร์ของสัญญาณที่คำนวณได้จากโปรแกรมของตึกโทรคมนาคม ชั้น 3

4.3 วิธีหาพื้นที่ครอบคลุมของเขตสเตรนจากการวัดระดับสัญญาณ

ประสิทธิภาพของระบบโทรศัพท์สื่อสารไร้สายที่ติดตั้งส่วนหนึ่งมาจากการวางเขตสเตรนให้สามารถครอบคลุมพื้นที่ได้อย่างทั่วถึง การทดสอบว่าเขตสเตรนนั้นสามารถครอบคลุมพื้นที่ได้ดีหรือไม่ วิธีที่ดีที่สุดคือวัดจากสถานที่จริง โดยการนำเครื่องรับสัญญาณไปวัดในตำแหน่งต่างๆ ตรงกับที่ได้คำนวณโดยโปรแกรมหรือไม่ ซึ่งจุดที่ควรพิจารณาคือบริเวณที่สัญญาณต่ำที่สุดว่าจุดนั้นยังสามารถที่รับสัญญาณได้หรือไม่ ในที่นี้จะใช้เครื่องดาด้าล็อกเกอร์ทำการวัด ซึ่งเครื่องดาด้าล็อกเกอร์ดังกล่าว แสดงให้เห็นดังรูปที่ 4.16 เครื่องดาด้าล็อกเกอร์สามารถที่จะวัดสัญญาณได้ละเอียดที่ระยะห่างเท่ากับ 1λ โดยที่การบันทึกสัญญาณจะเป็นไปโดยอัตโนมัติเมื่อรถเข็นเคลื่อนที่ไปตามพื้นของอาคาร เมื่อสวิทช์แม่เหล็กที่ติดอยู่ที่ล้อของรถเข็นเคลื่อนมาตรงกับตำแหน่งสวิทช์แม่เหล็กที่ติดอยู่ที่ตัวรถเข็น สวิทช์ก็จะส่งสัญญาณไปให้หน่วยประมวลผลการทำงานวัดค่าระดับสัญญาณ ณ.จุดนั้นว่ามีค่าเท่ากับเท่าไร จากนั้นส่งค่าระดับสัญญาณไปยังเครื่องคอมพิวเตอร์เพื่อบันทึกลงฮาร์ดดิสก์ เนื่องจากการวัดสัญญาณทุกๆ 1λ จะทำให้ต้องเสียเวลามาก ก็จะเปลี่ยนแปลงระยะการวัดของสัญญาณให้ระยะห่างมากขึ้นซึ่งการแปลงระยะห่างของการวัดระดับของสัญญาณสามารถที่จะเปลี่ยนแปลงได้จากโปรแกรม

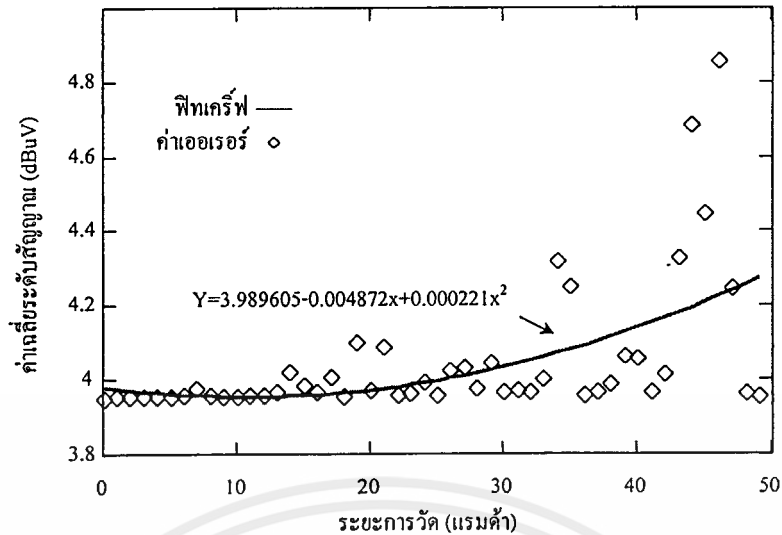
เอกสารนี้เป็นเอกสารที่สงวนไว้สำหรับการใช้งานเพื่อการศึกษาเท่านั้น ไม่อนุญาตให้นำไปใช้ประโยชน์ด้านการค้า
ไม่ว่ากรณีใดๆทั้งสิ้น อีกทั้งห้ามมิให้คัดแปลงเนื้อหา และต้องอ้างอิงถึงเจ้าของเอกสารทุกครั้งที่มีการนำไปใช้



รูปที่ 4.18 ภาพถ่ายจริงของเครื่องดัดแปลงเกอร์

ความผิดพลาดที่เกิดการเก็บตัวอย่างข้อมูลในลักษณะที่ห่างเกินไป ซึ่งสัญญาณแต่ละสัญญาณจะมีค่าซีเล็คทีฟเฟดดิ้ง(Selective Fading) เป็นการเฟดดิ้งที่เกิดจากตำแหน่ง ดังนั้นเพื่อป้องกันความผิดพลาดของการวิเคราะห์หาสมการจากระยะห่างการสุ่มตัวอย่างของระดับสัญญาณควรจะให้มึระยะไม่มากจนเกินไปจะทำให้เกิดความผิดพลาดมากขึ้นตามระยะห่างของตัวอย่างสัญญาณที่เพิ่มขึ้น โดยที่เครื่องดัดแปลงเกอร์ สามารถวัดสัญญาณที่ระยะห่างตั้งแต่ 1λ ขึ้นไป โดยสามารถจะเปลี่ยนแปลงได้ตามต้องการ ทดลองหาค่าความผิดพลาดที่เกิดจากระยะห่างการแซมปลิง โดยการวัดระดับสัญญาณจากเซลล์เตชั่นเริ่มตั้งวัดจากจุดศูนย์กลางของเซลล์แล้วเคลื่อนที่ออกด้านนอกเซลล์-สเตชั่น เริ่มต้นระยะการแซมปลิงเท่ากับ 1λ จากนั้นเปลี่ยนระยะการแซมปลิงให้แตกต่างกันคือ $1\lambda, 2\lambda, \dots, 25\lambda$ นำมาเปรียบเทียบกับระดับสัญญาณที่วัดทุกๆ 1λ ความผิดพลาดที่เกิดระยะห่างของการแซมปลิงระดับสัญญาณมากเกินไป จากความผิดพลาดที่เกิดขึ้นสามารถแสดงให้เห็นได้ดังรูป4.17

เอกสารนี้เป็นเอกสารที่สงวนไว้สำหรับการใช้งานเพื่อการศึกษาเท่านั้น ไม่อนุญาตให้นำไปใช้ประโยชน์ด้านการค้า ไม่ว่ากรณีใดๆทั้งสิ้น อีกทั้งห้ามมิให้ดัดแปลงเนื้อหา และต้องอ้างอิงถึงเจ้าของเอกสารทุกครั้งที่มีการนำไปใช้

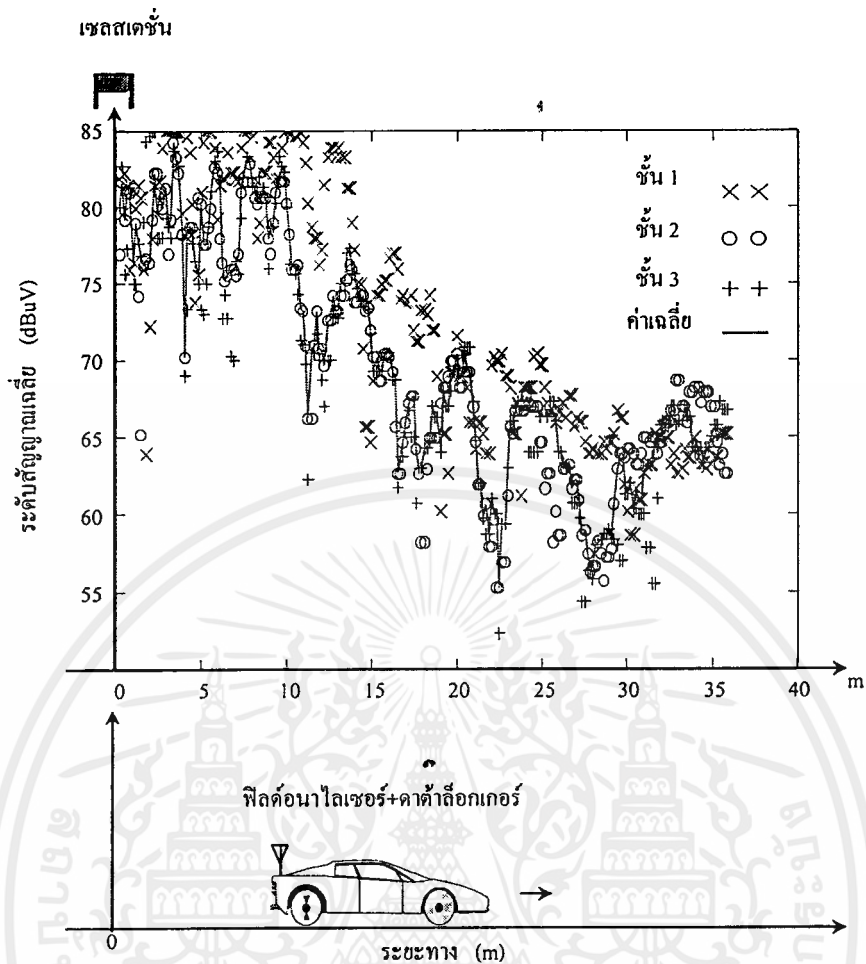


รูปที่ 4.19 ความผิดพลาดที่เกิดจากระยะห่างของการแซมปลิงข้อมูล

จากค่าความเบี่ยงเบนมาตรฐานของความผิดพลาดนี้ได้จากการวัดสัญญาณที่ระยะต่าง ๆ กัน สามารถที่จะใช้วิธีการลีนีเยร์เกรสชั้นหลักขณะการเพิ่มขึ้นของค่าความผิดพลาด ซึ่งจะได้เป็นสมการควอดรatic. จากรูปที่ 4.17 แสดงให้เห็นว่าจุดวิกฤตของสมการอยู่ที่ตำแหน่งแรมดำเท่ากับ 34 หมายถึงว่าการวัดระดับสัญญาณแบบแซมปลิงแบบจุดต่อจุดระยะอยู่ในช่วงไม่เกินระยะ 34λ จะได้ค่าเบี่ยงเบนมาตรฐานของความผิดพลาดที่มีค่าใกล้เคียงกับที่ระยะ 1λ แต่หากเกินกว่าที่ระยะ 34λ ค่าความผิดพลาดจะเพิ่มขึ้นอย่างรวดเร็วด้วยเป็นกำลังสองเท่าของระยะการวัด ซึ่งในระบบพีซีทีทำงานในย่าน 1900MHz ระยะการวัดพื้นที่ครอบคลุมเซลล์ภายในอาคารในแนวสายตาสามารถวัดที่ระยะประมาณไม่เกิน 5 เมตร เริ่มต้นจากจุดศูนย์กลางออกไปด้านนอกของเซลล์ชั้นจะได้ค่าความผิดพลาดใกล้เคียงกัน

การวิเคราะห์พื้นที่ครอบคลุมเซลล์ค่าที่ได้จากการคำนวณนั้นมีค่าใกล้เคียงกับที่คำนวณจากทางทฤษฎีนั้นใกล้เคียงกันเพียงใดนั้น ก็จำเป็นที่จะต้องวัดค่าระดับสัญญาณที่ติดตั้งจริงเปรียบเทียบกับค่าระดับสัญญาณที่ได้จากการคำนวณว่าแตกต่างกับค่าระดับสัญญาณมากน้อยเพียงใด แสดงให้เห็นในรูปการใช้เครื่องวัดค่าล็อกเกอร์วัดระดับของสัญญาณเพื่อเปรียบเทียบกับระดับสัญญาณที่ได้จากการคำนวณแสดงให้เห็นดังรูปที่ 4.18 ค่าที่ได้จากการวัดนี้บางครั้งอาจเกิดการแกว่งของสัญญาณมากหรือน้อยปกติคตินั้น เพื่อให้เกิดความถูกต้องก็จะทำการวัดสัญญาณในลักษณะเดียวกันซ้ำหลายๆครั้งผลที่ได้จากการวัดซ้ำกันหลายๆครั้ง ส่วนใหญ่ค่าที่ได้จะมีค่าใกล้เคียง ซึ่งเมื่อทำการเฉลี่ยสัญญาณที่เพิ่มขึ้นหรือลดลงอย่างรวดเร็วจะมีผลต่อลักษณะการแพร่กระจายคลื่นน้อยมาก

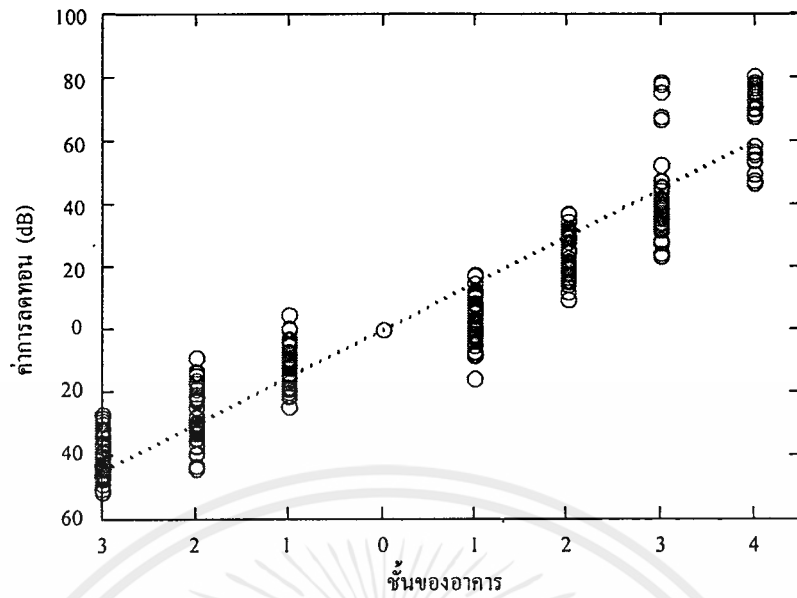
เอกสารนี้เป็นเอกสารที่สงวนไว้สำหรับการใช้งานเพื่อการศึกษาเท่านั้น ไม่อนุญาตให้นำไปใช้ประโยชน์ด้านการค้าไม่ว่ากรณีใดๆทั้งสิ้น อีกทั้งห้ามมิให้คัดแปลงเนื้อหา และต้องอ้างอิงถึงเจ้าของเอกสารทุกครั้งที่มีการนำไปใช้



รูปที่ 4.20 ระดับสัญญาณที่วัด โดยใช้เครื่องค่าค่าลือกเกอร์ร่วมกับพีเอสเอสฟิลต์ดอณาไลเซอร์

จากการทดลองหาค่าการลดทอนของสัญญาณระหว่างชั้นเพราะว่าเมื่อตำแหน่งของเขตแดนชั้นใกล้เคียงกันจะมีปัญหาในเรื่องของการสอดแทรกของสัญญาณของเขตแดนชั้นข้างเคียงระหว่างชั้นของอาคารดังนั้นสัญญาณจากเขตแดนชั้นของแต่ละชั้นที่ทะลุผ่านไปยังชั้นอื่นๆจึงต้องนำมาประกอบการพิจารณาการวางตำแหน่งเขตแดนชั้น จากการศึกษาพบว่าสัญญาณผ่านไประหว่างชั้นของอาคารสัญญาณจะลดลงประมาณ 15 dB ซึ่งสามารถแสดงให้เห็นการลดทอนของสัญญาณที่ได้จากการวัดระหว่างชั้นดังรูปที่ 4.19

เอกสารนี้เป็นเอกสารที่สงวนไว้สำหรับการใช้งานเพื่อการศึกษาเท่านั้น ไม่อนุญาตให้นำไปใช้ประโยชน์ด้านการค้าไม่ว่ากรณีใดๆทั้งสิ้น อีกทั้งห้ามมิให้คัดแปลงเนื้อหา และต้องอ้างอิงถึงเจ้าของเอกสารทุกครั้งที่มีการนำไปใช้



รูปที่ 4.21 ค่าการลดทอนของสัญญาณระหว่างชั้นภายในอาคาร

การลดทอนของสัญญาณที่ทะลุข้ามไประหว่างชั้นของอาคารสามารถที่สรุปลักษณะการลดทอนของสัญญาณได้ดังรูป ซึ่งลักษณะการลดทอนของสัญญาณประมาณได้ว่า การลดทอนมีลักษณะที่เป็นเชิงเส้นตามจำนวนชั้นที่สัญญาณเดินทางผ่านไป หรือเท่ากับ 15 dB ระยะการแพร่กระจายคลื่นที่ไปได้ไกลที่สุดระหว่างชั้นสามารถทะลุผ่านไปได้ประมาณ 4 ชั้น วัดที่ระยะห่างจากเขตสเดชั่นระยะอ้างอิงเท่ากับ 1 เมตร

เอกสารนี้เป็นเอกสารที่สงวนไว้สำหรับการใช้งานเพื่อการศึกษาเท่านั้น ไม่อนุญาตให้นำไปใช้ประโยชน์ด้านการค้า ไม่ว่ากรณีใดๆทั้งสิ้น อีกทั้งห้ามมิให้คัดแปลงเนื้อหา และต้องอ้างอิงถึงเจ้าของเอกสารทุกครั้งที่มีการนำไปใช้

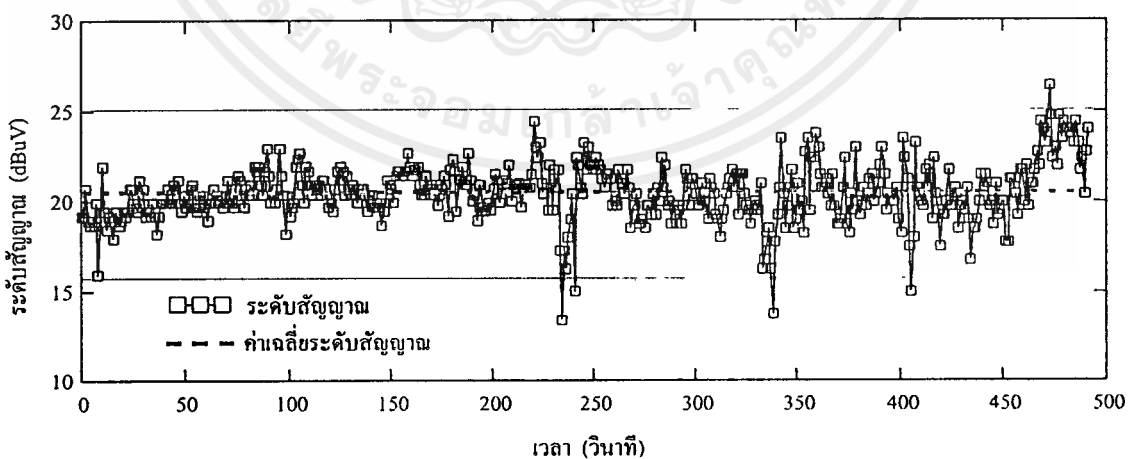
บทที่ 5

การวิเคราะห์ข้อมูล

จากการวิธีการออกแบบการวางเซลล์ที่ได้ออกมาแล้วข้างต้น เพื่อให้เกิดความเชื่อมั่นในการออกแบบการวางเซลล์ที่ผลของการออกแบบการวางเซลล์ที่คิดไว้เพียงใด จึงมีความจำเป็นที่จะต้องวิเคราะห์ผลลัพธ์ที่ได้จากการออกแบบการวางตำแหน่งเซลล์ที่ได้ออกมาแล้ว ว่ามีค่าความผิดพลาดจากการออกแบบ

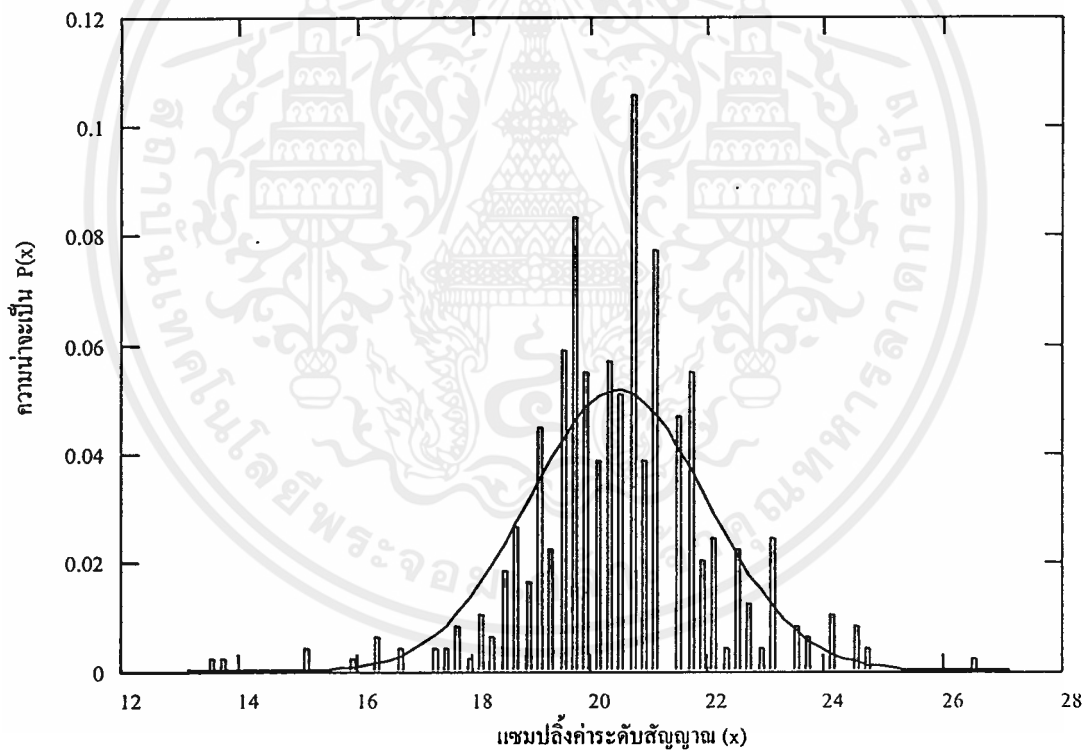
5.1 ผลการออกแบบการวางเซลล์

จากการเปรียบเทียบผลของระดับสัญญาณพื้นที่ในแนวนอนที่ได้จากการทดลองและการคำนวณตามสมการการลดทอนของสัญญาณจะเห็นว่ามีความแตกต่างกันเพียงเล็กน้อยทั้งทิศทางที่มีสิ่งกีดขวางและไม่มีสิ่งกีดขวาง จึงสรุปได้ว่า ถ้าจะวางเซลล์ในอาคารต่างๆ ในย่าน 1900 MHz นี้ สิ่งที่ต้องคำนึงถึงเป็นอย่างมากก็คือ ค่าแฟคเตอร์ของการลดทอนคลื่นจากภายในอาคารพื้นที่เป็นลักษณะปิด ระดับสัญญาณของเซลล์ในระดัชั้นเดียวกันค่าลดทอนส่วนใหญ่เกิดจากกำแพง ดังนั้นความถูกต้องจะขึ้นอยู่กับค่าความลดทอนของสัญญาณแต่ละวัสดุ ค่าที่ได้จากการคำนวณจึงจะใกล้เคียงกับความเป็นจริง และถ้าวัสดุใดไม่สามารถทราบถึงแฟคเตอร์ในการลดทอนของสัญญาณ เราก็สามารถที่จะทดลองหาค่าอย่างง่ายโดยการส่งคลื่นจากด้านหนึ่งจากนั้นไปรับยังอีกด้านหนึ่งของวัสดุนั้นๆ แล้ววัดค่าการสูญเสียนั้นว่าเป็นเท่าใด แล้วนำมาใช้เป็นแฟคเตอร์ในการคำนวณ



รูปที่ 5.1 การแกว่งของสัญญาณที่ระยะ 35 เมตรพื้นที่นอกแนวสายตา(NLOS) ของตึกโทรคมนาคม
คณะวิศวกรรมศาสตร์

ส่วนกรณีของการแกว่งของสัญญาณที่มีระดับสูงเกินกว่า 20 dB อาจจะต้องพิจารณาเปลี่ยนแปลงสถานที่ติดตั้งเซลล์เคลื่อนที่ไม่ให้อยู่ใกล้วัตถุที่สะท้อนคลื่นมากนักอย่างไรก็ตามจากการทดลองในบทความนี้ ค่าการแกว่งของสัญญาณยังไม่เกิน 20 dB ก็ถือว่าเป็นระดับที่ไม่ต่ำกว่ามาตรฐานไม่จำเป็นที่จะต้องแก้ไขแต่ประการใด ซึ่งจะแสดงลักษณะการแกว่งของสัญญาณได้ดังรูปที่ 5.1 จากรูปเป็นการวัดสัญญาณที่ตึกโทรคมนาคม คณะวิศวกรรมศาสตร์ พื้นที่นอกแนวสายตาที่ระยะประมาณ 35 เมตร ซึ่งลักษณะที่เกิดขึ้นลักษณะการเฟดคือเป็นแบบนอลมอลเคิร์ฟ (Normal Curve) แสดงให้เห็นดังรูปที่ 5.2 ซึ่งค่าความเชื่อมั่นเท่ากับ 95 เปอร์เซนต์ เมื่อให้การแกว่งของสัญญาณเท่ากับบวก-ลบ สามเท่าของค่าเบี่ยงเบนมาตรฐาน ($\pm 3\sigma$) ซึ่งค่าเบี่ยงเบนมาตรฐานของสัญญาณเท่ากับ ± 4.64 dB ดังนั้นเมื่อออกแบบการวางตำแหน่งของเซลล์เคลื่อนถ้าต้องการให้ระบบมีความเชื่อมั่นได้คือจำเป็นที่จำต้องเพื่อค่าการแกว่งสัญญาณเท่ากับประมาณ ± 4.64 dB สามารถที่จะลดการขาดหายของสัญญาณระหว่างการสนทนาได้

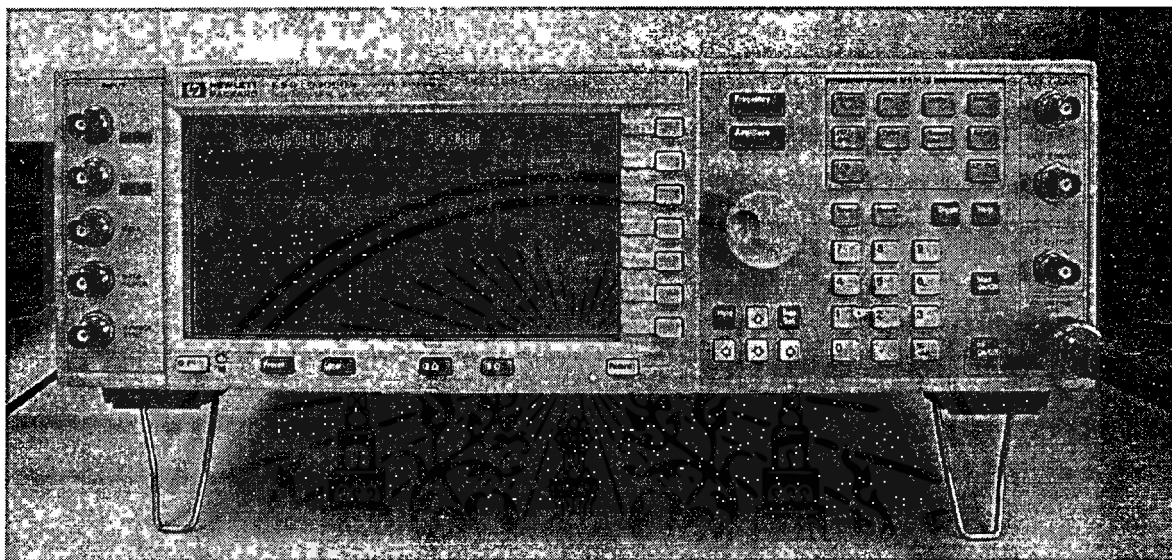


รูปที่ 5.2 ความน่าจะเป็นของสัญญาณที่ระยะ 35 เมตรพื้นที่นอกแนวสายตา(NLOS) ของตึกโทรคมนาคม คณะวิศวกรรมศาสตร์

เอกสารนี้เป็นเอกสารที่สงวนไว้สำหรับการใช้งานเพื่อการศึกษาเท่านั้น ไม่อนุญาตให้นำไปใช้ประโยชน์ด้านการค้าไม่ว่ากรณีใดๆทั้งสิ้น อีกทั้งห้ามมิให้คัดแปลงเนื้อหา และต้องอ้างอิงถึงเจ้าของเอกสารทุกครั้งที่มีการนำไปใช้

5.2 เปรียบเทียบผลการทดลองกับผลที่ได้จากการคำนวณโดยซอฟต์แวร์

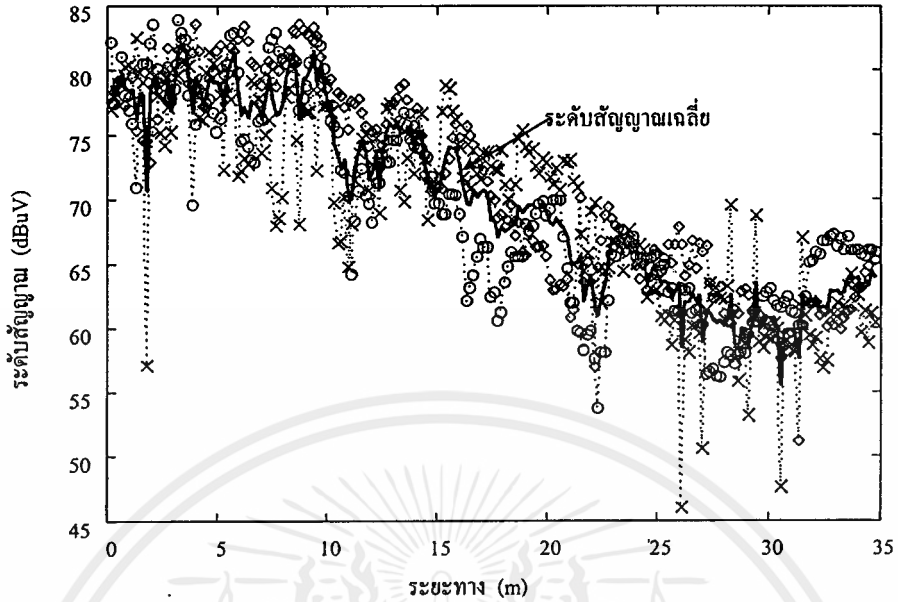
เมื่อทำการออกแบบการตำแหน่งเซลล์เตชันโดยโปรแกรมที่สร้างขึ้น เพื่อตรวจสอบความถูกต้องของระดับสัญญาณที่ได้จากโปรแกรมด้วยการเปรียบเทียบกับระดับของสัญญาณที่วัดได้จากสถานที่จริง



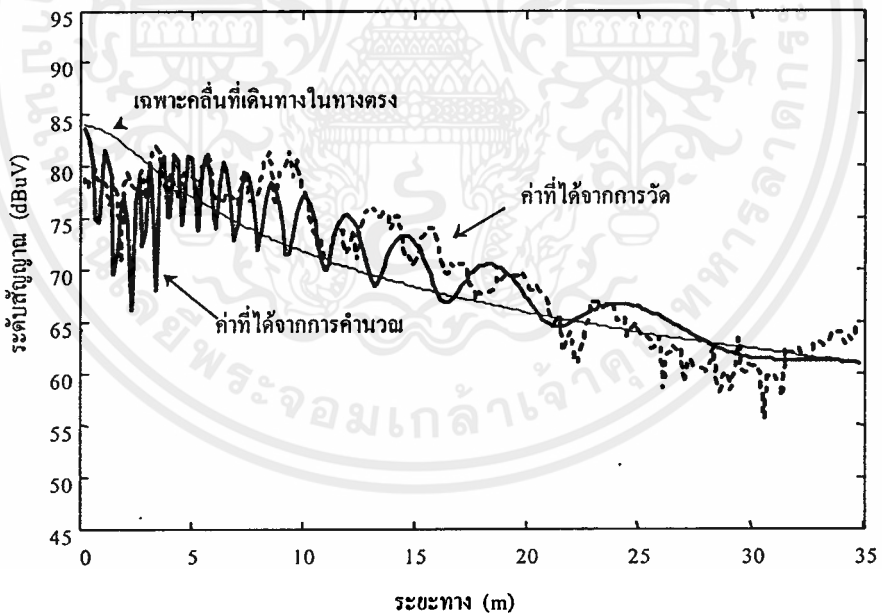
รูปที่ 5.3 ภาพถ่ายจริงของเครื่องเจเนอเรเตอร์ HP-ESG-3000A

ทำการทดลองโดยใช้เครื่องเจเนอเรเตอร์ของเอชพี(HP) โมเดล ESG-3000A เครื่องเจเนอเรเตอร์สามารถที่กำเนิดสัญญาณรูปแบบของเฟรมข้อมูลแบบพีเอชเอส(PHS) ได้โดยความสามารถที่จะกำหนดเท่ากับเซลล์เตชันภายในอาคารเท่ากับ 10mW จากใช้ค่าตัวล็อกเกอร์วัดสัญญาณเปรียบเทียบกับสัญญาณที่วัดคำนวณโดยโปรแกรม

ซึ่งผลจากการวัดระดับของสัญญาณจากสถานที่ในแนวสายตาภายในตึกโทรคมนาคมชั้นกันหลายๆ ค่าของระดับสัญญาณสามารถแสดงให้เห็นดังรูปที่ 5.4 ซึ่งจากค่าสัญญาณที่วัดได้จากสถานที่จริงเมื่อนำมาเปรียบเทียบกับระดับของสัญญาณที่คำนวณได้จากสมการ ซึ่งแสดงให้เห็นดังรูปที่ 5.4



รูปที่ 5.4 ระดับของสัญญาณในแนวสายตา(LOS) ของตึกโทรคมนาคม คณะวิศวกรรมศาสตร์ สถาบันเทคโนโลยีพระจอมเกล้าฯ เจ้าคุณทหารลาดกระบัง



รูปที่ 5.5 เปรียบระดับที่วัดกับสัญญาณที่ได้จากการคำนวณของสัญญาณในแนวสายตา(LOS) ของตึกโทรคมนาคม คณะวิศวกรรมศาสตร์ สถาบันเทคโนโลยีพระจอมเกล้าฯ เจ้าคุณทหารลาดกระบัง

เอกสารนี้เป็นเอกสารที่สงวนลิขสิทธิ์ไว้สำหรับใช้ในเพื่อการศึกษาค้นคว้าเท่านั้น ไม่อนุญาตให้เผยแพร่โดยไม่ได้รับอนุญาต
 ไม่ว่ากรณีใดๆทั้งสิ้น อีกทั้งห้ามมิให้คัดแปลงเนื้อหา และต้องอ้างอิงถึงเจ้าของเอกสารทุกครั้งที่มีการนำไปใช้

เบนมีค่าประมาณเท่ากับ ± 3.2 dB ซึ่งจะเห็นว่าค่าที่ได้สามารถที่จะยอมรับได้ ซึ่งค่าความผิดพลาดดังกล่าวอาจเกิดขึ้นได้จากหลายสาเหตุ เช่น เฟอร์นิเจอร์ที่นำมาตกแต่งอาคาร เป็นต้น ความผิดพลาดในส่วนนี้เป็นการอยากที่จะคาดเดาได้อย่างแม่นยำเพราะว่ามีการเปลี่ยนแปลงอยู่บ่อยๆ และมีรูปแบบการจัดวางที่ไม่ค่อยแน่นอน



เอกสารนี้เป็นเอกสารที่สงวนไว้สำหรับการใช้งานเพื่อการศึกษาเท่านั้น ไม่อนุญาตให้นำไปใช้ประโยชน์ด้านการค้าไม่ว่ากรณีใดๆทั้งสิ้น อีกทั้งห้ามมิให้คัดแปลงเนื้อหา และต้องอ้างอิงถึงเจ้าของเอกสารทุกครั้งที่มีการนำไปใช้

บทที่ 6

บทสรุป

6.1 ปัญหาที่เกิดขึ้น

ปัญหาที่พบจากเกิดจากการออกแบบการวางเซลล์เสตชันภายในอาคาร เนื่องจากในบางพื้นที่ของพื้นที่จริงพื้นที่ที่เป็นกำแพงคอนกรีต ในส่วนที่เป็นประตูหรือหน้าต่างอาจมีส่วนที่เป็นส่วนของวัสดุที่เป็นไม้หรือกระจก ซึ่งส่วนนี้อาจจะทำให้เกิดความผิดพลาดระหว่างระดับสัญญาณที่ได้จากการออกแบบ โปรแกรมกับระดับสัญญาณที่ได้จากการวัดในสถานที่จริง นอกจากนี้ส่วนที่มีผลกระทบต่อการคาดเดาระดับสัญญาณคือส่วนที่เป็นเฟอร์นิเจอร์ ซึ่งในส่วนนี้จะเป็นส่วนที่สามารถคาดเดาได้ยาก เนื่องจากวัสดุที่นำมาใช้ทำเฟอร์นิเจอร์มีมากมายหลายชนิดซึ่งก็ส่งผลทำให้เกิดค่าความผิดพลาดระหว่างค่าที่คำนวณกับค่าที่ได้จากการวัดจริง

ปัญหาความผิดพลาดอีกอย่างหนึ่งเกิดจากการปิดเศษของเลขทศนิยมของโปรแกรม เนื่องจากส่วนที่แสดงผลเป็นในภาพคอนทัวร์ (Contour) แสดงผลจากตัวแปรที่เป็นอาร์เรย์(Array) โดยค่าที่คำนวณประจำแต่ละหลักของตัวแปรอาร์เรย์จะต้องเป็นจำนวนเต็ม เพื่อให้เกิดความผิดพลาดจากการปิดเศษนี้ช่วยลดทำได้โดยการคำนวณระยะห่างของพื้นที่ให้น้อยลงก็จะสามารถลดความผิดพลาดจากกรณีได้ แต่จะทำให้จะต้องใช้ระยะเวลาที่ให้คอมพิวเตอร์คำนวณมากขึ้นตามไปด้วย ดังนั้นจึงมีความเป็นอยู่อย่างที่จะต้องใช้คอมพิวเตอร์ที่มีความเร็วสูงและจำนวนหน่วยความจำมากๆ

6.2 สรุปผลและข้อเสนอแนะ

ในการออกแบบการวางตำแหน่งในเซลล์เสตชันภายในอาคาร ในวิทยานิพนธ์ฉบับนี้ใช้วิธีโมเดลของเรย์เทรซิ่ง (Ray tracing model) ซึ่งลักษณะการคาดเดาการแพร่กระจายคลื่นในวิธีการนี้ตัวแปรที่สำคัญต่อการแพร่กระจายคลื่นภายในอาคารในแนวสายตา(LOS)คือความสูงของเซลล์เสตชัน ซึ่งความสูงของเซลล์เสตชันจะถูกจำกัดด้วยความสูงระหว่างชั้นของแต่ละอาคาร โดยทั่วไปจะอยู่ที่ประมาณ 3-4 เมตร ซึ่งตำแหน่งของเซลล์เสตชันถ้าติดตั้งในตำแหน่งที่สูงจะทำให้การแพร่กระจายคลื่นไปได้ไกล ส่วนการแพร่กระจายคลื่นที่ไม่อยู่ในระดับสายตา(NLOS) ตัวแปรที่สำคัญต่างสัญญาณนี้คือความซับซ้อนของแต่ละอาคาร ยิ่งอาคารมีความซับซ้อนของจำนวนกำแพงหรือฉากกั้นมาเท่าใดก็ยิ่งจะทำให้การแพร่กระจายคลื่นลดลงมากตามไปด้วย หมายความว่าความสูงของการวางเซลล์เสตชันเพื่อให้พื้นที่ครอบคลุมทั้งอาคารความซับซ้อนของจำนวนกำแพงจะมีผลกระทบมากกว่าขนาดของตัวอาคาร

จากโปรแกรมที่ใช้การออกแบบการวางเซลล์เดซันนี้สามารถที่จะนำช่วยในการออกแบบการวางตำแหน่งของเซลล์เดซันได้อย่างมีประสิทธิภาพ ทำให้การออกแบบการวางเซลล์เดซันภายในอาคารสามารถที่จะออกแบบวางเซลล์เดซันเพื่อให้ครอบคลุมพื้นที่ได้ทั่วถึง ออกแบบให้ใช้เซลล์เดซันได้อย่างเต็มประสิทธิภาพ คาดเดาระดับสัญญาณได้อย่างแม่นยำและใช้เวลาอันสั้นในการออกแบบการวางตำแหน่งเซลล์เดซันทำให้ประหยัดค่าใช้จ่ายในการออกแบบการวางตำแหน่งเซลล์เดซัน

เมื่อทำการออกแบบการวางเซลล์เดซันเรียบร้อยแล้วเพื่อให้เกิดความเชื่อมั่นว่าระบบที่ได้ออกแบบไปนั้นสามารถที่ใช้งานได้เต็มประสิทธิภาพตรงตามที่ได้ออกแบบไว้ สามารถทำการทดสอบได้โดยการทดสอบติดตั้งเซลล์เดซันในจุดที่ได้ออกแบบไว้ข้างต้น จากนั้นทำการวัดระดับของสัญญาณที่คำนวณได้ตรงตำแหน่งที่ระดับสัญญาณอ่อนที่สุด เพื่อตรวจสอบลักษณะของการเฟดดิ้งที่เกิดจากจุดที่วางว่าการเฟดดิ้งอยู่ในระดับที่สามารถไปยอมรับได้หรือสัญญาณต้องไม่ต่ำกว่าระดับแชนด์โอเวอร์(25 dBμV) ซึ่งจะให้เห็นลักษณะการเฟดดิ้งของสัญญาณ ถ้าสัญญาณที่รับได้เฟดดิ้งไม่ต่ำกว่าระดับของการแชนด์โอเวอร์แสดงว่าตำแหน่งที่ออกแบบนั้นยังสามารถที่จะใช้งานได้ดี

เอกสารนี้เป็นเอกสารที่สงวนไว้สำหรับการใช้งานเพื่อการศึกษาเท่านั้น ไม่อนุญาตให้นำไปใช้ประโยชน์ด้านการค้าไม่ว่ากรณีใดๆทั้งสิ้น อีกทั้งห้ามมิให้คัดแปลงเนื้อหา และต้องอ้างอิงถึงเจ้าของเอกสารทุกครั้งที่มีการนำไปใช้

บรรณานุกรม

- [1] ถวิล พึ่งมา. 2541. ระบบโทรศัพท์เคลื่อนที่เซลลูลาร์. กรุงเทพฯ: คณะวิศวกรรมศาสตร์ สถาบันเทคโนโลยีพระจอมเกล้าเจ้าคุณทหารลาดกระบัง.
- [2] สหะไชย วิชาสุวรรณ. 2537. วิธีการออกแบบระบบและเลือกตำแหน่งของเซลในระบบโทรศัพท์เคลื่อนที่แบบเซลลูลาร์. กรุงเทพฯ: วิทยานิพนธ์วิศวกรรมศาสตรมหาบัณฑิต สาขาวิชาวิศวกรรมไฟฟ้า-บัณฑิตวิทยาลัย. สถาบันเทคโนโลยีพระจอมเกล้าเจ้าคุณทหารลาดกระบัง.
- [3] ธเนศ พัฒนชาติพงษ์ พิสิฐ บุญศรีเมือง ถวิล พึ่งมา และ มนูญ สุขเกษม. 2541. การออกแบบการวางเซลสำหรับให้บริการในพื้นที่สาธารณะในระบบโทรศัพท์พื้นฐานพกพาส่วนบุคคล PCT. กรุงเทพฯ:การประชุมวิชาการทางวิศวกรรมไฟฟ้า ครั้งที่ 21.
- [4] P. Moungnoul, P. Tangtisanon, and T. Paungma. 1998. **PCT-The New Service for Digital Wireless Communication in Thailand**. Taiwan:Proc. of The 16th (1998) International Telecommunications Symposium (ITS'98).
- [5] P. Moungnoul, N. Namuang, M. Sukkasem and T. Paungma. 1998. **The computation and experimental results for cell coverage regions for a PCT system**. Taiwan:Proc. of The 16 th (1998) International Telecommunications Symposium (ITS,98).
- [6] P. Moungnoul, P. Tangtisanon, and T. Paungma. 1998. **Cell station design for Personal Communication Telephone**. Australia:Proc. of The 6th IEEE International Workshop on intelligent Signal Processing and Communication System (ISPACS 98).
- [7] T. Paungma. 1999. **Test Result for Cell Coverage Area in Personal Communication Telephone System in Thailand**. Taiwan: Progress in Electromagnetics Research Symposium 1999 (PIERS1999).
- [8] Telecom training Department-TT&D. 1997. **PCT Network Introduction**. Version 3.
- [9] J.D. Parsons. 1992. **The Mobile Radio Propagation Channel**. New York: John Wiley & Sons.
- [10] M. J.Feuerstein, K. L. Blackard, T. S.Rappaport, Scott Y.Seidel and H. H.Xia. 1994. **Path Loss, Delay Spread and Outage Models as Function of antenna Height for Microcellular System Design**. IEEE Trans.Vehicular. Vol.43: pp. 487-498.
- [11] T. S. Rappaport. 1996. **Wireless Communications**. New York: Prentice Hall.
- [12] William C.Y. Lee. 1993. **Mobile Communications Design Fundamentals**. New York: John Wiley & Sons Inc.

- [13] Howard H.Xia, Henry L.Bertoni, Leandro R.Maciell, Andrew Lindsay-Stewart and Robert Rowe. 1993 **Radio Propagation Characteristics for Line-of-Sight Microcellular and Personal Communications**. IEEE Trans Antennas and Propagation. Vol.41: pp.1439-1447.
- [14] Martin V.Clark, Vinko Erceg and Larry J.Greenstein. 1997. **Reuse Efficiency in Urban Microcellular Networks** . IEEE Trans Vehicular Technology. Vol 46. No 2:pp. 279-288.
- [15] S. Y. Seidel and T. S. Rappaport. 1992. **914 MHz path loss prediction models for indoor wireless communications in multifloored buildings**, IEEE Trans. Antenna & Propag. Vol. 40. No. 2: pp. 207-217.
- [16] Karim Rizk, Jean-Frederic Wagan, and Fred Gardiol. 1997. **Two – Dimensional Ray – Tracing Modeling for Propagation Prediction in Microcellular Environments**. IEEE Trans. Vehicular Technology. Vol42. No 2:pp. 508-518.
- [17] Reinaldo A. Valenzuela, Orlando Landron and D.L. Jacobs. 1997 **Estimating Local Mean Signal Strength of Indoor Multipath Propagation**. IEEE Trans. Vehicular Technology. Vol 46. No.1: pp. 203-211.
- [18] Vittorio Degli-Esposti, Gabriele Falciasecca and Guido Riva. 1996. **Evaluation of Cellular Coverage Solutions for an Indoor DECT System Using a 3D Ray tracing Technique**. IEEE: pp. 834-838.
- [19] R.P. Torres, L.Valle, M.Domingo and M.C. Diez. 1999 **CINDOOR: An Engineering Tool for Planning and Design of Wireless System in Enclosed Spaces**. IEEE Trans. Antenna & Propag. Vol. 41. No 4: pp. 11-22.
- [20] Akihiro Kajiwara. 1997. **Effects of Polarization, Antenna Directivity, and Room Size on Delay Spread in LOS Indoor Radio Channel**. IEEE Trans Vehicular Technology. Vol 46. No.1 pp. 169-175.



เอกสารนี้เป็นเอกสารที่สงวนไว้สำหรับการใช้งานเพื่อการศึกษาเท่านั้น ไม่อนุญาตให้นำไปใช้ประโยชน์ด้านการค้า
ไม่ว่ากรณีใดๆทั้งสิ้น อีกทั้งห้ามมิให้คัดแปลงเนื้อหา และต้องอ้างอิงถึงเจ้าของเอกสารทุกครั้งที่มีการนำไปใช้

```
unit FieldAnalyzer;
```

```
interface
```

```
uses
```

```
Windows, Messages, SysUtils, Classes, Graphics, Controls, Forms, Dialogs, StdCtrls,  
async32, ExtCtrls, Menus;
```

```
type
```

```
TForm1 = class(TForm)
  Comm32: TComm32;
  Memo2: TMemo;
  CloseButton: TButton;
  ParameterEdit: TEdit;
  TransmitButton: TButton;
  ClearButton: TButton;
  Timer1: TTimer;
  Label6: TLabel;
  Bevel1: TBevel;
  AutoCheckBox: TCheckBox;
  OpenButton: TButton;
  CommandComboBox: TComboBox;
  TimeEdit: TEdit;
  Label1: TLabel;
  Label2: TLabel;
  Label3: TLabel;
  OpenFileDialog1: TOpenDialog;
  SaveDialog1: TSaveDialog;
  MainMenu1: TMainMenu;
  Files1: TMenuItem;
  OpenMenu: TMenuItem;
  SaveMenu: TMenuItem;
```

```

N1: TMenuItem;
ExitMenu: TMenuItem;
HelpMenu: TMenuItem;
About1: TMenuItem;
SingleStepButton: TButton;
procedure FormCreate(Sender: TObject);
procedure OpenButtonClick(Sender: TObject);
procedure Comm32Open(Sender: TObject; ProviderSubType: Integer;Error: Integer);
procedure CloseButtonClick(Sender: TObject);
procedure TransmitButtonClick(Sender: TObject);
procedure ClearButtonClick(Sender: TObject);
procedure Comm32Error(Sender: TObject; Errors: Integer);
procedure Comm32Ring(Sender: TObject);
procedure Comm32RLSD(Sender: TObject);
procedure Comm32RxChar(Sender: TObject; Count: Integer);
procedure Comm32RxFlag(Sender: TObject);
procedure Comm32Break(Sender: TObject);
procedure Comm32CTS(Sender: TObject);
procedure Comm32DSR(Sender: TObject);
procedure Timer1Timer(Sender: TObject);
procedure XOffButtonClick(Sender: TObject);
procedure XOnButtonClick(Sender: TObject);
procedure ExitMenuClick(Sender: TObject);
procedure OpenMenuClick(Sender: TObject);
procedure SaveMenuClick(Sender: TObject);
procedure About1Click(Sender: TObject);
procedure TimeEditChange(Sender: TObject);
procedure CommandComboBoxChange(Sender: TObject);
procedure SingleStepButtonClick(Sender: TObject);
procedure ParameterEditChange(Sender: TObject);

```


begin

```
Memo2.Lines.add('Error accessing device: ' + Comm32.DeviceName + ' (code: ' + IntToStr
(Error) + '');
```

end

else

begin

```
Memo2.Lines.add('Device ready: ' + Comm32.DeviceName + ' (code: ' + IntToStr(Error) +
');
```

```
Inc(FCurrentLine);
```

```
case ProviderSubType of
```

```
PST_FAX: S := 'FAX device';
```

```
PST_LAT: S := 'LAT protocol';
```

```
PST_MODEM: S := 'Modem device';
```

```
PST_NETWORK_BRIDGE: S := 'Unspecified network bridge';
```

```
PST_PARALLELPORT: S := 'Parallel port';
```

```
PST_RS232: S := 'RS-232 serial port';
```

```
PST_RS422: S := 'RS-422 port';
```

```
PST_RS423: S := 'RS-423 port';
```

```
PST_RS449: S := 'RS-449 port';
```

```
PST_SCANNER: S := 'Scanner device';
```

```
PST_TCPIP_TELNET: S := 'TCP/IP Telnet protocol';
```

```
PST_UNSPECIFIED: S := 'Unspecified';
```

```
PST_X25: S := 'X.25 standards';
```

end;

```
Memo2.Lines.add(S);
```

```
Inc(FCurrentLine);
```

end;

end;

```
procedure TForm1.CloseButtonClick(Sender: TObject);
```

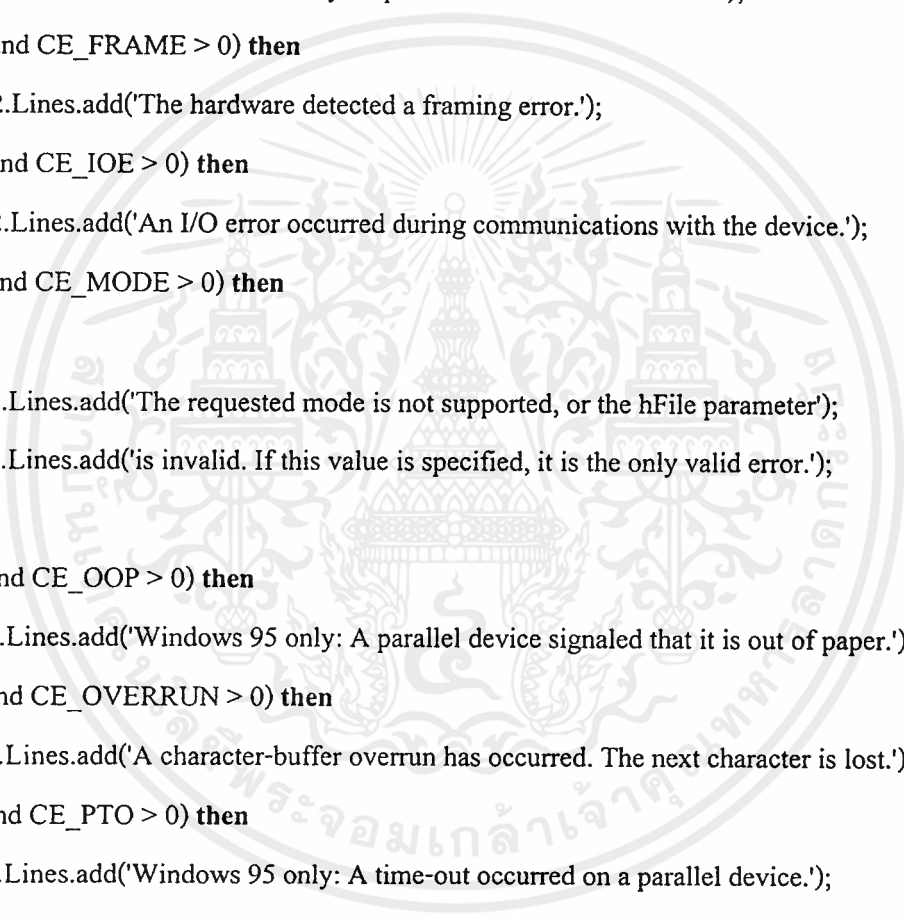
begin

```
Memo2.Lines.add('Closing: ' + Comm32.DeviceName);
```

```
Comm32.Close;
```

```

    Inc(FCurrentLine);
end;
procedure TForm1.Comm32Error(Sender: TObject; Errors: Integer);
begin
if (Errors and CE_BREAK > 0) then
    Memo2.Lines.add('The hardware detected a break condition.');
```



```

if (Errors and CE_DNS > 0) then
    Memo2.Lines.add('Windows 95 only: A parallel device is not selected.');
```

```

if (Errors and CE_FRAME > 0) then
    Memo2.Lines.add('The hardware detected a framing error.');
```

```

if (Errors and CE_IOE > 0) then
    Memo2.Lines.add('An I/O error occurred during communications with the device.');
```

```

if (Errors and CE_MODE > 0) then
begin
    Memo2.Lines.add('The requested mode is not supported, or the hFile parameter');
    Memo2.Lines.add('is invalid. If this value is specified, it is the only valid error.');
```

```

end;
```

```

if (Errors and CE_OOP > 0) then
    Memo2.Lines.add('Windows 95 only: A parallel device signaled that it is out of paper.');
```

```

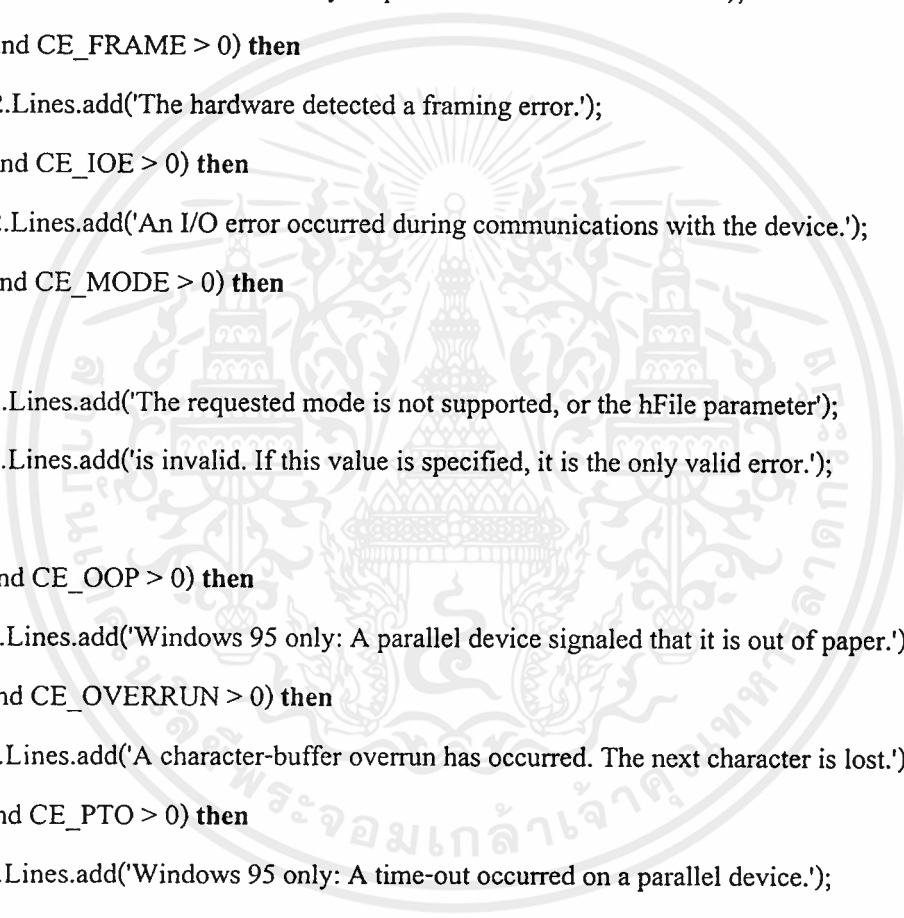
if (Errors and CE_OVERRUN > 0) then
    Memo2.Lines.add('A character-buffer overrun has occurred. The next character is lost.');
```

```

if (Errors and CE_PTO > 0) then
    Memo2.Lines.add('Windows 95 only: A time-out occurred on a parallel device.');
```

```

if (Errors and CE_RXOVER > 0) then
begin
    Memo2.Lines.add('An input buffer overflow has occurred. There is either no');
    Memo2.Lines.add('room in the input buffer, or a character was received after');
```



```

    Memo2.Lines.add('the end-of-file (EOF) character.');
```

```

end;
```

```

if (Errors and CE_RXPARITY > 0) then
    Memo2.Lines.add('The hardware detected a parity error.');
```

```
if (Errors and CE_TXFULL > 0) then
```

```
begin
```

```
    Memo2.Lines.add('The application tried to transmit a character, but the output');
```

```
    Memo2.Lines.add('buffer was full.');
```

```
end;
```

```
end;
```

```
procedure TForm1.TransmitButtonClick(Sender: TObject);
```

```
var
```

```
S: string;
```

```
Count: Integer;
```

```
begin
```

```
    S:=CommandComboBox.Text+#$20+ParameterEdit.Text+#13+#10;
```

```
    Count:=Comm32.Write(S[1],Length(s));
```

```
    Inc(FCurrentLine);
```

```
if Count = -1 then
```

```
    Memo2.Lines.add('Error!')
```

```
else
```

```
    Memo2.Lines.add('This command :'+S);
```

```
end;
```

```
procedure TForm1.ClearButtonClick(Sender: TObject);
```

```
begin
```

```
    Memo2.Lines.Clear;
```

```
    FCurrentLine := 0;
```

```
    //prepare receive buffer
```

```
    Memo2.Lines.add("");
```

```
end;
```

```
procedure TForm1.Comm32CTS(Sender: TObject);
```

```
begin
```

```
    Memo2.Lines.add('CTS SIGNAL: ' + ONOFF[ord(Comm32.CTS)]);
```

```
end;
```

```
procedure TForm1.Comm32DSR(Sender: TObject);
```

```
begin
```

```

Memo2.Lines.add('DSR SIGNAL: ' + ONOFF[ord(Comm32.DSR)]);
end;
procedure TForm1.Comm32Ring(Sender: TObject);
begin
    Memo2.Lines.add('RING SIGNAL: ' + ONOFF[ord(Comm32.Ring)]);
end;
procedure TForm1.Comm32RLSD(Sender: TObject);
begin
    Memo2.Lines.add('RLSD SIGNAL: ' + ONOFF[ord(Comm32.RLSD)]);
end;
procedure TForm1.Comm32RxChar(Sender: TObject; Count: Integer);
var
    Buffer: array[0..1024] of Char;
    Bytes, P: Integer;
begin
    Fillchar(Buffer, Sizeof(Buffer), 0);
    Bytes := Comm32.Read(Buffer, Count);
    if Bytes = -1 then
        Memo2.Lines.add('Error reading incoming data!')
    else
        begin
            for P := 0 to Bytes do
                case Buffer[P] of
                    #10: begin
                        Memo2.Lines.add("");
                        Inc(FCurrentLine);
                    end;
                    #13:;
                else
                    begin
                        Memo2.Lines[FCurrentLine] := Memo2.Lines[FCurrentLine] + Buffer[P];

```

เอกสารนี้เป็นเอกสารที่สงวนไว้สำหรับการใช้งานเพื่อการศึกษาเท่านั้น ไม่อนุญาตให้นำไปใช้ประโยชน์ด้านการค้า
ไม่ว่ากรณีใดๆทั้งสิ้น อีกทั้งห้ามมิให้ดัดแปลงเนื้อหา และต้องอ้างอิงถึงเจ้าของเอกสารทุกครั้งที่มีการนำไปใช้

```

Memo2.Refresh;
    end;
end;
end;
end;
procedure TForm1.Comm32RxFlag(Sender: TObject);
begin
    Memo2.Lines.add('RXFLAG SIGNAL');
end;
procedure TForm1.Comm32Break(Sender: TObject);
begin
    Memo2.Lines.add('BREAK SIGNAL');
end;
procedure TForm1.Timer1Timer(Sender: TObject);
var
    SS: string;
begin
    Label6.Visible := not Label6.Visible;
    if AutoCheckBox.Checked then
        SS := 'MDA'+ #13+#10;
        Comm32.Write(SS[1], Length(SS));
    end;
end;
procedure TForm1.XOffButtonClick(Sender: TObject);
begin
    Comm32.XON(false);
end;
procedure TForm1.XOnButtonClick(Sender: TObject);
begin
    Comm32.XON(true);
end;
procedure TForm1.OpenMenuClick(Sender: TObject);

```

```

begin
    Opendialog1.Execute;
    Memo2.Lines.LoadFromFile(Opendialog1.FileName);
end;
procedure TForm1.SaveMenuClick(Sender: TObject);
begin
    SaveDialog1.Execute;
    Memo2.Lines.SaveToFile(SaveDialog1.FileName);
end;
procedure TForm1.ExitMenuClick(Sender: TObject);
begin
    Close;
end;
procedure TForm1.About1Click(Sender: TObject);
begin
    ShowMessage('This program used to PSH Filed Analyzer');
end;
procedure TForm1.TimeEditChange(Sender: TObject);
var
    Itime:Integer;
    Stime:string;
begin
    Itime:=Strtoint(TimeEdit.Text);
    Timer1.Interval:=Itime;
end;
procedure TForm1.CommandComboBoxChange(Sender: TObject);
begin
    CommandComboBox.ItemIndex;
end;
procedure TForm1.ParameterEditChange(Sender: TObject);
begin


```

เอกสารนี้เป็นเอกสารที่สงวนไว้สำหรับการใช้งานเพื่อการศึกษาเท่านั้น ไม่อนุญาตให้นำไปใช้ประโยชน์ด้านการค้า
 ไม่ว่ากรณีใดๆทั้งสิ้น อีกทั้งห้ามมิให้ดัดแปลงเนื้อหา และต้องอ้างอิงถึงเจ้าของเอกสารทุกครั้งที่มีการนำไปใช้

```
ParameterEdit.Text;  
end;  
procedure TForm1.SingleStepButtonClick(Sender: TObject);  
var  
    SS:String;  
begin  
    SS := 'MDA'+ #13+#10;  
    Comm32.Write(SS[1], Length(SS));  
end;  
end.
```



เอกสารนี้เป็นเอกสารที่สงวนไว้สำหรับการใช้งานเพื่อการศึกษาเท่านั้น ไม่อนุญาตให้นำไปใช้ประโยชน์ด้านการค้า
ไม่ว่ากรณีใดๆทั้งสิ้น อีกทั้งห้ามมิให้ตัดแปลงเนื้อหา และต้องอ้างอิงถึงเจ้าของเอกสารทุกครั้งที่มีการนำไปใช้



ภาคผนวก ข

โปรแกรมแอสเซมบลี(Asembly) เครื่องควบคุมการทำงานและรับข้อมูลจาก
เครื่องพีเอสเอสฟิลด์อานาไลเซอร์(PHS Field Analyzer)

เอกสารนี้เป็นเอกสารที่สงวนไว้สำหรับการใช้งานเพื่อการศึกษาเท่านั้น ไม่อนุญาตให้นำไปใช้ประโยชน์ด้านการค้า
ไม่ว่ากรณีใดๆทั้งสิ้น อีกทั้งห้ามมิให้คัดแปลงเนื้อหา และต้องอ้างอิงถึงเจ้าของเอกสารทุกครั้งที่มีการนำไปใช้

```
;#####;
;##### PROGRAM BY TELACOMMUNICATION ENGINEERING #####;
;##### KING MONGKUT 'S INSTITUTE OF TECHNOLOGY LADKABANG #####;
;##### Creative by Mr. PISIT BOONSRIMUANG #####;
;#####;
```

```
KEY1 EQU P1.0
KEY2 EQU P1.1
KEY3 EQU P1.2
EN_COMPUTER EQU P1.6
EN_ANALYZER EQU P1.7
TRIGGER EQU P3.2
COMM_LCD EQU 0FA00H
BUSY_LCD EQU 0FA01H
WR_LCD EQU 0FA02H
RD_LCD EQU 0FA03H
KEY EQU 20H
DATA_TO_LCD EQU 21H
TIME_TRIG EQU 22H
INDEX_MODE EQU 23H
REC_DATA EQU 30H
```

```
ORG 0000H
JMP START
```

```
ORG 000BH
JMP MAIN_TF0
```

```
ORG 0023H
JMP RXTX_INT
```

```
ORG 0050H
```

```
START: MOV SP,#08H ; MOVE STACK
```

เอกสารนี้เป็นเอกสารที่สงวนลิขสิทธิ์สำหรับโรงเรียนเพื่อการศึกษาเท่านั้น ไม่อนุญาตให้นำไปใช้ประโยชน์ด้านการค้า
ไม่ว่ากรณีใดๆทั้งสิ้น อีกทั้งห้ามมิให้คัดแปลงเนื้อหา และต้องอ้างอิงถึงเจ้าของเอกสารทุกครั้งที่มีการนำไปใช้

```

_INIT_TF0:      SETB  EA                ;EXTERNAL INTERUPT
                ORL   TMOD,#01H        ;SET TIMER 0,MODE2
                MOV   TH0,#0H
                MOV   TL0,#0H
                SETB  ET0                ;ENABLE INTERUPT TIMER 0
                SETB  TR0

INIT_TXRX:     SETB  EA
                MOV   PCON,#80H        ;SMOD=1
                MOV   SCON,#50H       ;SERIAL MODE1 ,NOT
                                        RB8 ,RECIEVE ENABLE
                ORL   TMOD,#20H        ;SET TIMER1 ,MODE2
                MOV   TL1,#0FAH       ;(AUTO RELOAD)
                MOV   TH1,#0FAH       ;BUARD RATE 9600(TH1=FA)
                SETB  TR1                ;ON TIMER 1 ,MODE2

_INI_PORT:    CLR   EN_COMPUTER
                SETB  EN_ANALYZER

_INIT_RAM:    MOV   KEY,#0H
                MOV   TIME_TRIG,#0H
                MOV   INDEX_MODE,#01H

MAIN:         CALL  FUNC_LCD
                CALL  ENT_MODE_LCD
                CALL  ON_LCD
                CALL  OFF_CURSOR
                CALL  CLEAR_LCD
                CALL  LINE1_LCD
                MOV   DPTR,#POWER_ON1
                CALL  WRITE_16CHAR
                CALL  LINE2_LCD

```

เอกสารนี้เป็นเอกสารที่สงวนลิขสิทธิ์ไว้เพื่อการศึกษาเท่านั้น ไม่อนุญาตให้นำไปใช้ประโยชน์ด้านการค้า
ไม่ว่ากรณีใดๆทั้งสิ้น อีกทั้งยังห้ามเผยแพร่ข้อมูลนี้อ่างอิงถึงเจ้าของเอกสารทุกครั้งที่มีการนำไปใช้

```

MOV DPTR,#POWER_ON2
CALL WRITE_16CHAR
CALL LINE3_LCD
MOV DPTR,#POWER_ON3
CALL WRITE_16CHAR
CALL LINE4_LCD
MOV DPTR,#POWER_ON4
CALL WRITE_16CHAR

```

LOOP_MAIN:

```

MOV A,KEY
CJNE A,#01H,_JMP_MODE1
MOV A,INDEX_MODE
CJNE A,#01H,_M_MODE1
MOV INDEX_MODE,#02H
CALL LINE2_LCD
MOV A,#' '
CALL WRITE_CHAR
CALL LINE3_LCD
MOV A,#>'
CALL WRITE_CHAR
JMP _MAIN_END

```

_M_MODE1:

```

CJNE A,#02H,_M_MODE2
MOV INDEX_MODE,#03H
CALL LINE3_LCD
MOV A,#' '
CALL WRITE_CHAR
CALL LINE4_LCD
MOV A,#>'
CALL WRITE_CHAR
JMP _MAIN_END

```

_M_MODE2:

เอกสารนี้เป็นเอกสารที่สงวนลิขสิทธิ์สำหรับใช้งานเพื่อการศึกษาเท่านั้น ไม่อนุญาตให้นำไปใช้ประโยชน์ด้านการค้า
ไม่ว่ากรณีใดๆทั้งสิ้น อีกทั้งห้ามมิให้คัดลอกหรือเผยแพร่โดยไม่ได้รับอนุญาตจากเจ้าของเอกสารทุกครั้งที่มีการนำไปใช้

```

CJNE  A,#03H,_M_MODE3
MOV   INDEX_MODE,#01H
CALL  LINE4_LCD
MOV   A,#'
CALL  WRITE_CHAR
CALL  LINE2_LCD
MOV   A,#>'
CALL  WRITE_CHAR
JMP   _MAIN_END

```

```
_M_MODE3:
```

```
_JMP_MODE1:
```

```

CJNE  A,#03H,_MAIN_END
MOV   A,INDEX_MODE
CJNE  A,#01H,_GOTO_M1
JMP   SETUP_MODE

```

```
_GOTO_M1:
```

```

CJNE  A,#02H,_GOTO_M2
JMP   AUTO_MODE

```

```
_GOTO_M2:
```

```

CJNE  A,#03H,_GOTO_M3
JMP   AUTO_MODE

```

```
_MAIN_END:
```

```

CALL  DELAY_250mS
MOV   KEY,#0H

```

```
_GOTO_M3:
```

```
JMP  MAIN
```

```
SETUP_MODE:
```

```

CALL  DELAY_250mS
MOV   KEY,#0H
CALL  CLEAR_LCD
CALL  LINE1_LCD
MOV   DPTR,#SETUP_MODE1

```

```
CALL WRITE_16CHAR
```

```
LOOP_SETUP:
```

```
MOV DATA_TO_LCD,#0CBH
```

```
CALL SET_DDRAM_LCD
```

```
MOV A,TIME_TRIG
```

```
ANL A,#0F0H
```

```
SWAP A
```

```
ORL A,#30H
```

```
CALL WRITE_CHAR
```

```
MOV DATA_TO_LCD,#0CDH
```

```
CALL SET_DDRAM_LCD
```

```
MOV A,TIME_TRIG
```

```
ANL A,#0FH
```

```
ORL A,#30H
```

```
CALL WRITE_CHAR
```

```
MOV A,KEY
```

```
CJNE A,#01H,_SETUP_K1
```

```
INC TIME_TRIG
```

```
MOV A,TIME_TRIG
```

```
DA A
```

```
MOV TIME_TRIG,A
```

```
CALL DELAY_250mS
```

```
MOV KEY,#0H
```

```
JMP SETUP_MODE_END
```

```
_SETUP_K1:
```

```
CJNE A,#02H,_SETUP_K2
```

```
CALL DELAY_250mS
```

```
MOV KEY,#0H
```

```
JMP MAIN
```

```
_SETUP_K2:
```

```
SETUP_MODE_END:
```

```
JMP LOOP_AUTO
```

เอกสารนี้เป็นเอกสารที่สงวนลิขสิทธิ์หรืองานเพื่อการศึกษาเท่านั้น ไม่อนุญาตให้นำไปใช้ประโยชน์ด้านการค้า
 ไม่สงวนลิขสิทธิ์ ห้ามนำไปคัดลอกหรือเผยแพร่โดยไม่ได้รับอนุญาตจากเจ้าของเอกสารทุกครั้งที่มีการนำไปใช้

SETUP_MODE1: DB "OperateSetupMode"

SETUP_MODE2: DB "Setup Time x.xmS"

AUTO_MODE:

CALL DELAY_250mS

MOV KEY,#0H

CALL CLEAR_LCD

CALL LINE1_LCD

MOV DPTR,#AUTO_MODE1

CALL WRITE_16CHAR

LOOP_AUTO:

CALL LINE2_LCD

MOV DPTR,#TRIG_MODE2

CALL WRITE_16CHAR

CLR ES

CLR EN_ANALYZER

SETB EN_COMPUTER

MOV A,#4CH

MOV SBUF,A

JNB TI,\$

CLR TI

MOV A,#44H

MOV SBUF,A

JNB TI,\$

CLR TI

MOV A,#41H

MOV SBUF,A

JNB TI,\$

CLR TI

MOV A,#13D

MOV SBUF,A

JNB TI,\$

CLR TI

เอกสารนี้เป็นเอกสารที่สงวนลิขสิทธิ์ของงานเพื่อการศึกษาเท่านั้น ไม่อนุญาตให้นำไปใช้ประโยชน์ด้านการค้า
ไม่ว่ากรณีใดๆทั้งสิ้น อีกทั้งผู้ใดที่คัดลอกหรือหาและต้องอ้างอิงถึงเจ้าของเอกสารทุกครั้งที่มีการนำไปใช้

```

MOV A,#10D
MOV SBUF,A
JNB TI,$
CLR TI
SETB ES
CALL LINE2_LCD
MOV DPTR,#TRIG_MODE3
CALL WRITE_16CHAR
MOV R0,TIME_TRIG

```

_T_AUTO:

```

CALL DELAY_10mS
DJNZ R0,_T_AUTO
MOV A,KEY
CJNE A,#02H,AUTO_MODE_END
MOV KEY,#0H
CALL DELAY_250mS
JMP MAIN

```

AUTO_MODE_END:

```
JMP LOOP_AUTO
```

AUTO_MODE1:

```
DB "Operate AutoMode"
```

TRIG_MODE:

```

CALL DELAY_250mS
MOV KEY,#0H
CALL CLEAR_LCD
CALL LINE1_LCD
MOV DPTR,#TRIG_MODE1
CALL WRITE_16CHAR

```

LOOP_TRIG:

```
JB TRIGER,_DRILECT
```

```
CALL LINE2_LCD
```

```
MOV DPTR,#TRIG_MODE2
```

```
CALL WRITE_16CHAR
```

เอกสารนี้เป็นเอกสารที่สงวนลิขสิทธิ์สำหรับใช้ภายในมหาวิทยาลัยเท่านั้น ไม่อนุญาตให้นำไปใช้ประโยชน์ด้านการค้า
ไม่ว่ากรณีใดๆทั้งสิ้น อีกทั้งผู้เผยแพร่เอกสารนี้จะต้องอ้างอิงถึงเจ้าของเอกสารทุกครั้งที่มีการนำไปใช้

```

CLR    ES
CLR    EN_ANALYZER
SETB   EN_COMPUTER
MOV    A,#4CH
MOV    SBUF,A
JNB    TI,$
CLR    TI
MOV    A,#44H
MOV    SBUF,A
JNB    TI,$
CLR    TI
MOV    A,#41H
MOV    SBUF,A
JNB    TI,$
CLR    TI
MOV    A,#13D
MOV    SBUF,A
JNB    TI,$
CLR    TI
MOV    A,#10D
MOV    SBUF,A
JNB    TI,$
CLR    TI
SETB   ES
CALL   DELAY_250mS
JNB    TRIGER,$
CALL   LINE2_LCD
MOV    DPTR,#TRIG_MODE3
CALL   WRITE_16CHAR
DRILECT:
MOV    A,KEY
CJNE  A,#02H,TRIG_MODE_END

```

เอกสารนี้เป็นเอกสารที่สงวนลิขสิทธิ์ไว้เพื่อใช้ในการศึกษาเท่านั้น ไม่อนุญาตให้นำไปใช้ประโยชน์ด้านการค้า
 ไม่เว้นกรณีเห็นหนังสืออื่นที่ห้ามมิให้คัดแปลงเนื้อหา และต้องอ้างอิงถึงเจ้าของเอกสารทุกครั้งที่มีการนำไปใช้

```

CALL DELAY_250mS
MOV KEY,#0H
JMP MAIN
TRIG_MODE_END:
JMP LOOP_TRIG
TRIG_MODE1: DB "Operate TrigMode"
TRIG_MODE2: DB " Triging "
TRIG_MODE3: DB " Holding "
TRIG_MODE4: DB " "
MAIN_TF0:
JB KEY1,_SKEY1
MOV KEY,#01H
JMP _SKEY_E
_SKEY1:
JB KEY2,_SKEY2
MOV KEY,#02H
JMP _SKEY_E
_SKEY2:
JB KEY3,_SKEY_E
MOV KEY,#03H
_SKEY_E:
RETI
RXTX_INT:
PUSH ACC
PUSH DPH
PUSH DPL
CLR TR0
CLR EA
MOV R1,#REC_DATA
_L_RXTX:
JNB RI,$ ;Waiting prompt
MOV A,SBUF

```

เอกสารนี้เป็นเอกสารที่สงวนลิขสิทธิ์หรือการขงนสิทธิการศึกษาเท่านั้น ไม่อนุญาตให้นำไปใช้ประโยชน์ด้านการค้า
 ไม่ได้รับผิดู์ทั้งสิ้น อีกทั้งห้ามมิให้ดัดแปลงเนื้อหา และต้องอ้างอิงถึงเจ้าของเอกสารทุกครั้งที่มีการนำไปใช้

```

MOV @R1,A
INC R1
CLR RI ;Clear Interupt By Software
CJNE A,#0AH,_L_RXTX ;0DH = ENTER
SETB EA
SETB TR0
SETB EN_ANALYZER
CLR EN_COMPUTER
POP DPL
POP DPH
POP ACC
RETI
POWER_ON1: DB " Field Analyzer "
POWER_ON2: DB ">Setup Mechanism"
POWER_ON3: DB " Auto Measure "
POWER_ON4: DB " Trig Measure "
END

```

เอกสารนี้เป็นเอกสารที่สงวนไว้สำหรับการใช้งานเพื่อการศึกษาเท่านั้น ไม่อนุญาตให้นำไปใช้ประโยชน์ด้านการค้า
ไม่ว่ากรณีใดๆทั้งสิ้น อีกทั้งห้ามมิให้คัดแปลงเนื้อหา และต้องอ้างอิงถึงเจ้าของเอกสารทุกครั้งที่มีการนำไปใช้



ภาคผนวก ค

คำสั่งของพีเอสเอสไฟล์ดอณาไลเซอร์(PHS Filed Analyzer)

เอกสารนี้เป็นเอกสารที่สงวนไว้สำหรับการใช้งานเพื่อการศึกษาเท่านั้น ไม่อนุญาตให้นำไปใช้ประโยชน์ด้านการค้า
ไม่ว่ากรณีใดๆทั้งสิ้น อีกทั้งห้ามมิให้ดัดแปลงเนื้อหา และต้องอ้างอิงถึงเจ้าของเอกสารทุกครั้งที่มีการนำไปใช้

Basic Control Command

MMO	p1	Selects the measurement mode.
CNO	p1	Sets the carrier number.
ATT	p1	Sets the RF attenuator on/off.
CON	p1	Sets the contrast.
DTE	p1 - p6	Sets the date and time.
MDT		Recalls date and time of measurement.
BEP	p1	Sets the beeper.
TIM	p1	Sets the auto power-off.
BAT		Outputs battery voltage.
OFS	P	Sets the offset level.
BLT	p1	Backlight on/off.
PRE	p1[,p2]	Recalls/stores preset conditions.
DAT	p1[,p2]	Recalls/stores measurement data.
TIT	p1	Sets the title.
CMT	p1 [,p2]	Sets the carrier type and comment.
MST	p1	Starts/stops measurement.
GLT		Cancels remote control mode.
MDA		Outputs measurement data.

Spectrum Measurement Command

SAR		Executes picture search.
MLV		Outputs level of center carrier number.

Cell Station Measurement Command

MTI	p1	Sets the measurement period.
CSC	p1	Copies CS-ID of specified number.
CSS	p1	Sets the numerical value of CS-ID.
DEC	p1	Selects the decimal/hexadecimal display for CS-ID.
ALM	p1	Sets the alarm level.
FISL	p1	Displays specified page (MULTI mode only).

MAX p1 Selects the measurement data calculation method (SINGLE mode only).

Connection Test Command

PSS p1 Sets the PS-ID.

Details on Command

(1) Basic Command

MMO p1

Sets the measurement mode.

p1 : 0 SPECTRUM WIDE
 : 1 SPECTRUM NARROW 2
 : 2 CS-TRACE:MULTI
 : 3 CS-TRACE:SINGLE
 : 4 PS-TEST
 : ? Reads setting status in measurement mode.

CNO p1

Sets the carrier number.

p1 : 1-77
 : ? Reads setting status.

ATT p1

Sets the RF attenuator.

p1 : 0 Attenuator off
 : 1 Attenuator on
 : ? Reads setting status.

CCN p1

Sets the contrast

p1 : 0 20 to 20 (- for thinner. + for darker)
 : ? Reads setting status.

DTE p1 - p6

Sets the date and time

p1 Year
 : ? Reads setting status. (p2 through p6 are not required.)

p2 : Month
 p3 : Date
 p4 : Hour (24-hour system)
 p5 : Minute
 p6 : Second

MDT Output date and time of measurement

- Example: November 20,1994,1:3:25 pm

"MDT 1994,11,20,13.3,25"

- The date and time of measurement are output when recalling data.

BEP p1

Sets the beeper on/off.

p1 : 0 Beeper off
 : 1 Beeper on
 : ? Reads setting status.

TIM p1

Sets the auto power-off on/off.

p1 : 0 Auto power-off off
 : 1 Auto power-off on
 : 2 Auto power-off [off]
 : ? Reads setting status.

BAT Outputs battery voltage in volts.

Example: "BAT 12.1"

OFS p1

Sets the offset level

p1 : -9.9to9.9
 : ? Reads setting status.

BLT p1

Sets the backlight on/off

p1 : 0 Backlight off
 : 1 Backlight on
 : ? Reads setting status.

PRE p1[,p2]

เอกสารนี้เป็นเอกสารที่ : 0 อนุญาตให้ทำงานเพื่อการศึกษาเท่านั้น ไม่อนุญาตให้นำไปใช้ประโยชน์ด้านการค้า
 : 1 ห้ามเผยแพร่โดยไม่ขออนุญาต และต้องอ้างอิงถึงเจ้าของเอกสารทุกครั้งที่มีการนำไปใช้

Recalls/stores preset conditions.

p1 : 0 – 49 Specifies preset number.
 : ? Displays remaining memory in %. (p2 is not required.)

p2 : 0 Selects the recall.
 : 1 Selects the store.
 : 2 Selects the clear.
 : ? Checks the number specified by p1 for store-enable/disable, and reads the result.

* Output example (in case of p1 is 5)

"PRE 5, 0<CR+LF>"(Store enable)

"PRE 5, 1<CR+LF>"(Stored)

DAT p1[,p2]

Recalls/stores measurement data.

p1 : 0 – 999 Specifies data number.
 : - Terminate data recall.
 : ? Shows remaining memory capacity. (p2 is not required.)

p2 : Selects the recall.
 : 1 Selects the store.
 : 2 Selects the clear.

: ? Checks the number specified by p1 for store-enable/disable, and reads the result.

* Output example (in case of p1 is 25)

"PRE 25, 0<CR+LF>"(Store enable)

"PRE25, 1<CR+LF>"(Stored)

TIT p1

Sets the title.

p1 : Up to 10 ASCII characters.
 : ? Reads setting status.
 * Clears without parameter.

CMT p1[,p2]

Sets the carrier type and comment.

p1 : 1 – 77 Specifies carrier number to be set.
 p2 : Up to 10 ASCII characters.

: ? Reads setting status.
 * Clears without parameter.

MST p1

Starts/stops measurement.

p1 :0 Starts measurement
 :1 Stops measurement
 :2 Continuous measurement
 : ? Reads setting status.

Measurement continues during the preset period, then the termination message is output.

Termination message "MED<CR+LF>"

In the continuous measurement mode, it continues until termination command is received.

- The continuous measurement mode is disabled in the PS-TEST mode.
- The continuous measurement mode is disabled in the CS-TRACE CCH mode.
- The continuous measurement mode is disabled in the PS-TEST:HANDOVER mode.

GLT

Cancels remote control mode.

MDA

Outputs measurement data. The data depends on the measurement mode.

[Spectrum Mode]

There are 77 data for the WIDE measurement mode and 11 data for NARROW measurement mode. Each data consists of the carrier number and measurement value, and is delimited by <CR+LF>. The <EOF>(1 AH) is output at the end.

Output example

"1.36.3<CR+LF>"

"2.36.3<CR+LF>"

"3.35.3<CR+LF>"

"4.35.3<CR+LF>"

เอกสารนี้เป็นเอกสารที่ "76.35.2<CR+LF>" ซึ่งงานเพื่อการศึกษาเท่านั้น ไม่อนุญาตให้นำไปใช้ประโยชน์ด้านการค้า
 ไม่ว่ากรณีใดๆทั้งสิ้น อีก "77.35.1<CR+LF>"งานเนื้อหา และต้องอ้างอิงถึงเจ้าของเอกสารทุกครั้งที่มีการนำไปใช้

"<EOF>"

Spectrum Slot Measurement Mode

Each data consists of one line of trigger information and 77 data, and is delimited by <CR+LF>.

The <EOF>(1 AH) is output at the end.

The trigger information consisting of carrier number, CS-ID, absolute CS slot is output.

The data consisting of carrier number, and measurement values of slot 1, 2, 3, and 4 are output

```
"77,819C08AA20,0<CR+LF>"
"1,<O, 0,<O,<O<CR+LF>"
"2, <0, <0, <0, <O<CR+LF>"
"3, <0, <0, <0, <O<CR+LF>"
"4, <0, <0, <0, <O<CR+LF>"
"76, 19.7, 2.1, 2.1, <O<CR+LF>"
"77, 40.7, 54.7, 41.4, 1. I <CR +LF>"
"<EOF>"
```

[Cell Station Measurement Mode]

MULTI Measurement Mode

Each data consists of CS-ID and measurement value, and is delimited by <CR+LF>. The <EOF> (1 AH) is output at the end.

* Output example

```
"819COE85CO0,45.7<CR+LF>"
"819COEB0430,42.9<CR+LF>"
"819CI 383430,39.1 <CR+LF>"
"819CI 381630,36.1 <CR+LF>"
"819COE82030,24.9<CR+LF>"
"819CO800830,23.5<CR+LF>"
"<EOF>"
```

[Connection Test Mode]

PS-TEST

Outputs measurement results.

Each data consists of total judgment value, PS-to-CS judgment value, CS-to-PS judgment value, reject reason code, and CS-ID.

Judgment value:

O=NG

I=OK

Output example

"1, 1,1,-,8080CDO01 68<CR+LF>"

PS-TEST:HANDOVER

Each data consists of one line of frame error rate and up to 1 000 slots of measurement data, and is delimited by <CR+LF>. The <EOF>(I AH) is output at the end. The measurement data depends on TIME/LEVEL setting.

(2) Spectrum Measurement Command

SAR

Executes picture search and sets center carrier number to the carrier with peak level.

MLV

Outputs measurement level of center carrier number.

SSL p1

(Enables in SLOT only)

Sets the slot to output picture search and marker level.

p1 :1 slot 1
: 2 Slot 2
: 3 Slot 3
: 4 Slot 4
: ? Reads setting value.

LNK p1

(Enables in SLOT only)

Selects the downlink/uplink of slot

p1 : 1 Level of downlink only
: 2 Level of uplink only
: 3 Larger level of downlink or uplink
: ? Reads setting value.

(3) Cell Station Measurement Command

MTI p1

เอกสารนี้เป็นงานเพื่อการศึกษาเท่านั้น ไม่อนุญาตให้นำไปใช้ประโยชน์ด้านการค้า
ไม่ว่ากรณีใดๆ p1 ตั้ง อี: 0-10 1 step (sec) เงื่อนไข และต้องอ้างอิงถึงเจ้าของเอกสารทุกครั้งที่มีการนำไปใช้

: ? Reads setting value.

* The measurement period cannot be set in the following status.

Measurement mode: TIME, burst signal monitoring function off CCH

CSC P1

This command copies specified CS-ID in the CS-ID list measured by CS-TRACE-.MULTI mode.and set it to the CS-ID used in the CS-TRACE:SINGLE mode.

p1 : 1 - 80

CSS p1

Sets the numerical value of CS-ID used in the CS-TRACE:SINGLE.

p1 : 11 digits in hexadecimal (current display is in hexadecimal)
: 9 digits in decimal (current display is in decimal) Reads setting status.

* This command is used to set CS-ID in CCH mode.

DEC p1

Sets the CS-ID Display in dedimal or hexadecimal.

p1 : Displays in hexadecimal.

p1 : 1 Displays in decimal.

p1 : ? Reads setting status.

ALM p1

Sets the alarm level in dB μ V

p1 : 0-85

p1 : ? Reads setting status.

PSL p 1

(Enables in MULTI mode only)

Displays measurement data of the page specified by p1

p1 : 1 - 10

: 1 - 12 (CCH only)

• This command can be used in the following status.

Measurement mode: TIME. burst signal monitoring function on CCH, hold

• This command can be used in the following status.

Measurement mode: HANDOVER in PS-TEST mode

เอกสารนี้เป็นเอกสารที่สงวนไว้สำหรับการใช้งานเพื่อการศึกษาเท่านั้น ไม่อนุญาตให้นำไปใช้ประโยชน์ด้านการค้า
ไม่ว่าในรูปแบบใดก็ตาม กรุณาแจ้งเจ้าของเอกสารทุกครั้งที่มีการนำไปใช้

(Enables in SINGLE mode only)

Sets the measurement data calculation method.

p1 . 0 Displays maximum value. (MAX)

- : 1 Displays average value. (AVE)
- : 2 Displays minimum value. (MIN)

(4) CS Transmission Timing measurement Command

T/L p1

Selects the measurement time or level in the following status.

Measurement Mode: TIME

Burst display: Off.

- P1 : 0 Displays time.
- : 1 Displays level.
- : ? Reads setting value.

TRC p1

Copies specified CS-ID number in the CS-ID list for trigger station in the following status.

Measurement Mode: TIME

Burst display: Off.

- p1 : 1 - 80
- : ? Outputs number of CS-ID measured.

DVW p1

Sets the burst signal display mode on/off in the TIME mode.

- p1 : 0 off
- : 1 On
- : ? Reads setting value.

MKR p1

Sets the marker position in the TIME mode.

Measurement Mode: TIME

Burst display : On

- p1 : 1 - 87
- : ? Reads setting value.

เอกสารนี้เป็น • Parameters 1 through 3 cannot be set when delay time is 0 Ms. เติให้นำไปใช้ประโยชน์ด้านการค้า
ไม่ว่ากรณีใดๆ • When the time base is 0.625 ms/div (MS/=0), fractions are rounded off for an even
number.

MTL

4 : The parameter is incorrect.

(3) Delimiter

<CR+LF>(ODH, OAH' is used.



เอกสารนี้เป็นเอกสารที่สงวนไว้สำหรับการใช้งานเพื่อการศึกษาเท่านั้น ไม่อนุญาตให้นำไปใช้ประโยชน์ด้านการค้า
ไม่ว่ากรณีใดๆทั้งสิ้น อีกทั้งห้ามมิให้ตัดแปลงเนื้อหา และต้องอ้างอิงถึงเจ้าของเอกสารทุกครั้งที่มีการนำไปใช้



เอกสารนี้เป็นเอกสารที่สงวนไว้สำหรับการใช้งานเพื่อการศึกษาเท่านั้น ไม่อนุญาตให้นำไปใช้ประโยชน์ด้านการค้า
ไม่ว่ากรณีใดๆทั้งสิ้น อีกทั้งห้ามมิให้ดัดแปลงเนื้อหา และต้องอ้างอิงถึงเจ้าของเอกสารทุกครั้งที่มีการนำไปใช้

$$x := 0.\text{area}_x \quad y := 0.\text{area}_y$$

$$D_{x,y} := 1\sqrt{[x - (\text{cell}_x + 0.000000)]^2 + [y - (\text{cell}_y + 0.000000)]^2}$$

$$\text{Drefl}_{x,y} := \frac{\text{Ht} + \text{Hr}}{\sin\left(\text{atan}\left(\frac{\text{Ht} + \text{Hr}}{|D_{x,y}|}\right)\right)} \quad \text{Ddir}_{x,y} := \frac{\text{Ht} - \text{Hr}}{\sin\left(\text{atan}\left(\frac{\text{Ht} - \text{Hr}}{|D_{x,y}|}\right)\right)}$$

$$\alpha_{x,y} := \text{atan}\left(\frac{\text{Ht} + \text{Hr}}{|D_{x,y}|}\right)$$

$$a := \frac{1}{\epsilon}$$

$$\theta_{x,y} := \frac{\pi}{2} - \alpha_{x,y}$$

$$\Gamma_{x,y} := \frac{\cos(\theta_{x,y}) - a\sqrt{\epsilon - (\sin(\theta_{x,y}))^2}}{\cos(\theta_{x,y}) + a\sqrt{\epsilon - (\sin(\theta_{x,y}))^2}}$$

$$\text{Pr}_{x,y} := \text{Pt} \cdot \left(\frac{\lambda}{4\pi}\right)^2 \cdot \left[\left| \frac{1}{\text{Ddir}_{x,y}} \cdot \exp\left[-\left(\frac{2\pi}{\lambda} \text{Ddir}_{x,y} i\right)\right] + \Gamma_{x,y} \cdot \frac{1}{\text{Drefl}_{x,y}} \cdot \exp\left[-\left(\frac{2\pi}{\lambda} \text{Drefl}_{x,y} i\right)\right] \right|^2 \right]$$

$$\text{Pn}_{x,y} := \text{Pt} \cdot \left(\frac{\lambda}{4\pi}\right)^2 \cdot \left[\left| \frac{1}{\text{Ddir}_{x,y}} \cdot \exp\left[-\left(\frac{2\pi}{\lambda} \text{Ddir}_{x,y} i\right)\right] \right|^2 \right]$$

$$\text{Pr}_{w_{x,y}} := 10 \cdot \log(\text{Pr}_{x,y}) + \text{Gt} + \text{Gr}$$

$$\text{Prr}_{x,y} := 10 \left(\frac{\text{Pr}_{w_{x,y}}}{10} \right)$$

$$\text{Pr}_{uV_{x,y}} := 20 \cdot \left(\log\left(\frac{\sqrt{\text{Prr}_{x,y} \cdot \eta}}{10^{-6}}\right) \right)$$

$$\text{wall_horizontal}(x1, x2, y) := \begin{cases} \text{wall_hor_left}(x1, x2, y) & \text{if } x2 < \text{cell}_x \\ \text{wall_hor_right}(x1, x2, y) & \text{if } x1 > \text{cell}_x \end{cases}$$

เอกสารนี้เป็นเอกสารที่สงวนไว้สำหรับการใช้งานเพื่อการศึกษาเท่านั้น ไม่อนุญาตให้นำไปใช้ประโยชน์ด้านการค้า
ไม่ว่ากรณีใดๆทั้งสิ้น อีกทั้งห้ามมิให้คัดลอกหรือเผยแพร่เอกสารฉบับนี้

```

wall_hor12(x1,x2,y) :=
   $\alpha_{12} \leftarrow \text{atan} \left( \frac{\text{cell}_y - y}{x1 - \text{cell}_x} \right)$ 
   $\alpha_{12H} \leftarrow \text{atan} \left( \frac{\text{cell}_y - y}{x2 - \text{cell}_x} \right)$ 
  for i ∈ 0..area_x
    for j ∈ 0..area_y
       $M_{i,j} \leftarrow 0$ 
      for j ∈ 0..y
        for i ∈ floor  $\left( \text{cell}_x + \frac{\text{cell}_y - j}{\tan(\alpha_{12})} \right)$  .. floor  $\left( \text{cell}_x + \frac{\text{cell}_y - j}{\tan(\alpha_{12H})} \right)$ 
           $M_{i,j} \leftarrow 1$  if  $i \geq 0$ 
          for i ∈ 0..area_x
            for j ∈ 0..area_y
               $N_{i,j} \leftarrow M_{i,j}$ 
  N

```

เอกสารนี้เป็นเอกสารที่สงวนไว้สำหรับการใช้งานเพื่อการศึกษาเท่านั้น ไม่อนุญาตให้นำไปใช้ประโยชน์ด้านการค้า
ไม่ว่ากรณีใดๆทั้งสิ้น อีกทั้งห้ามมิให้ดัดแปลงเนื้อหา และต้องอ้างอิงถึงเจ้าของเอกสารทุกครั้งที่มีการนำไปใช้



ภาคผนวก จ

ผลงานวิจัยในระหว่างการศึกษาที่ได้รับการตีพิมพ์เผยแพร่

เอกสารนี้เป็นเอกสารที่สงวนไว้สำหรับการใช้งานเพื่อการศึกษาเท่านั้น ไม่อนุญาตให้นำไปใช้ประโยชน์ด้านการค้า
ไม่ว่ากรณีใดๆทั้งสิ้น อีกทั้งห้ามมิให้คัดแปลงเนื้อหา และต้องอ้างอิงถึงเจ้าของเอกสารทุกครั้งที่มีการนำไปใช้

1999 ASIA PACIFIC MICROWAVE CONFERENCE



APMC '99

Microwaves Enter the 21st Century



30 NOVEMBER – 3 DECEMBER, 1999

RAFFLES CITY CONVENTION CENTRE

THE WESTIN STAMFORD & WESTIN PLAZA

SINGAPORE

CONFERENCE PROCEEDINGS

Volume 3 of 3

Organized by:

In Co-operation with:



IEEE



MTTS



IME
SINGAPORE

INTRA BUILDING CELL STATIONS PLACEMENT PREDICTION MODEL FOR PERSONAL COMMUNICATION TELEPHONE (PCT) SYSTEM IN 1.9GHZ BAND

T. Paungma, P. Moungnoul, P. Boonsrimuang

Faculty of Engineering and Research Center for Communication and Information Technology
King Mongkut 's Institute of Technology Ladkrabang, Bangkok 10520, Thailand

Fax: +662 326 9965 E-mail : tawilp@telelan.telecom.eng.kmitl.ac.th

ABSTRACT

This paper presents the appropriate indoor cell stations layout of Personal Communication Telephone (PCT) system in Thailand. This layout designs for rather big and very big buuildings which base on frequency reuse technique for each floors by considering vertical and horizontal wave propagation. Cell stations were installed for modeling at the Telecommunication Building, Faculty of Engineering, King Mongkut's Institute of Technology Ladkrabang. By virtue of computer technology and employing propagation loss factors in the establishment of the equation, the measured signal levels were then compared with theoretical signal levels. The outcome of the verification was satisfactory. The results will be used as guide line in designing indoor cell stations layout to improve the quality of performance of the PCT system.

I. INTRODUCTION

A new personal wireless telephone service known as PCT (Personal Communication Telephone) was provided in Thailand by Telecom Asia Co., Ltd. (TA), a concessionaire under the Telephone Organization of Thailand (TOT). TA is carrying out a field trial of PCT technology from December 1997 to June 1999, providing service to 100,000 subscribers with the installation of 80,000 outdoor stations and a targeted 100,000 indoor stations which is now in its first phase of installation.

The PCT network[1] provides service over the existing wire line telephone network. There are two network categories: external public area network and intra building network. The efficiency of both networks depend on the coverage to the service area that the layout of cell stations (CS) can provide: Due to the fact that CS's in the PCT system are nanocell technology, with very low output power. The external CS's are not capable of providing coverage inside the building.

To achieve the highest efficiency, it is essential to allocate the internal CS's placement[2-5]. However, the methology of designing the CS's layout for internal and external coverage is entirely different. This is due to the environmental condition of the building interior, which consist of walls, floors and furniture that attenuate the propagation waves. Therefore, certain factors such as

interference and fading should be taken into account such that C/I is better than 6 dB with fading not more than 10 dB which are standard for PCT. In the case that the measured values did not comply with that aforementioned the CS's have to be relocated.

II. INTRA BUILDING CELL STATION PLACEMENT DESIGN

Intra building cell stations installation planning is categorized into 4 types[2] according to the size of the building.

- A) Groups of small buildings.
- B) Medium size buildings.
- C) Rather big size buildings.
- D) Very big size buildings.

A. GROUPS OF SMALL BUILDINGS

Cell stations can be installed outside to cover the whole building area. The equation will be:

$$L_p(r) = L_r(r_0) \left(\frac{r}{r_0} \right)^{\alpha_1} L_B(r_0) \left(\frac{r}{r_0} \right)^{\alpha_2} A_F \quad (2.1)$$

Where

$L_r(r_0)$ = propagation path loss attenuation at distance $r=r_0$

$L_B(r_0)$ = building attenuation at $r=r_0$

α_1 = attenuation factor of the propagation path loss with respect to distance

α_2 = building attenuation factor

A_F = building penetration loss

B. MEDIUM SIZE BUILDINGS

Installation of only one cell station to cover every room inside the building according to equation.

$$L_p(r) = L_r(r_0) \left(\frac{r}{r_0} \right)^{\alpha_p} \quad (2.2)$$

$\alpha_p = 2-3$, while the transmitter and the terminal are located on the same floor.

$\alpha_p = \geq 3$, while they are located on the different floors.

C. RATHER BIG SIZE BUILDINGS

Installation of cell stations on each floor of the building according to attenuation equation are as follow.

$$L_p(r) = 20 \log\left(\frac{4\pi r}{\lambda}\right) + a(AF_{w1}) + b(AF_{w2}) + c(AF_{w3}) + d(AF_f) \quad (2.3)$$

$$P_r = P_t + G_t + G_r - \{20 \log\left(\frac{4\pi r}{\lambda}\right) + a(AF_{w1}) + b(AF_{w2}) + c(AF_{w3}) + d(AF_f)\} \quad (2.4)$$

Where

- R = distance
- λ = wavelength of utilized frequency
- P_t = transmit power of cell station
- P_r = receive power of personal station
- G_t, G_r = rate of extension of PCT and cell station
- $AF_{w1,2,3}$ = factor of wall attenuation of 1,2,3 walls, respectively
- AF_{wf} = factor of floor attenuation
- d = number of floors

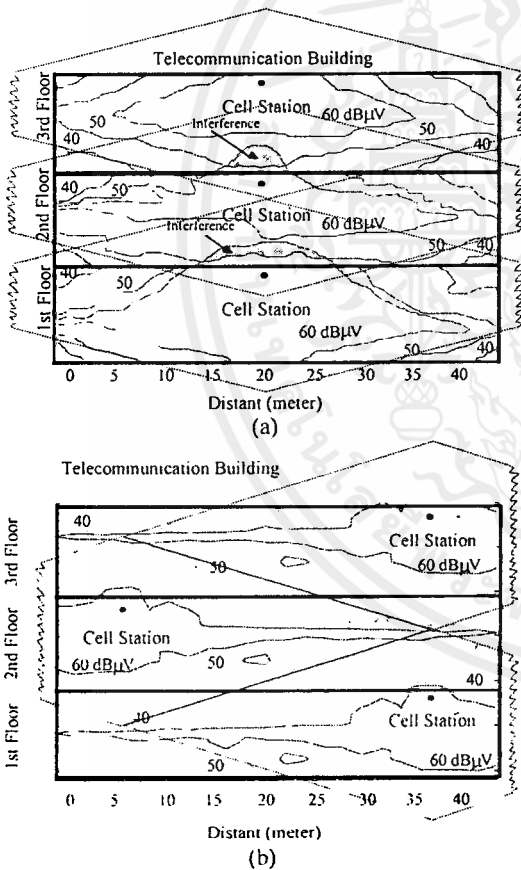


Fig.1 Installation of indoor cell station for experiment in the Telecommunication Building.
 (a) Installation of indoor cell station in the corridor on each floor of the Building
 (b) Alternatively offsetting installation of indoor cell station on each floor in the Building

D. VERY BIG SIZE BUILDINGS

Installation of multiple cell stations on each floor in big rooms. The number of cell stations should depend on the size and usage quantity of each room by applying equation 2.4.

III. EXPERIMENTAL RESULTS

The Telecommunication Building, Faculty of Engineering KMITL was chosen for simulation, the construction of building was 20 X 44 X 12 metre, had 3 floors and rather big. One cell station was installed on each floor. Fig. 1(a) shows the interference amongst the cell stations on each floor, the cell stations are subsequently installed in an alternatively offsetting pattern in order to reduce interference as showed in Fig.1(b).

The test of measuring signal by NEC - CP6H3E1-2A can assume that the vertical propagation pattern look like rectangular like the 2nd illustration. This model divides propagation to LOS and NLOS[6]. The propagation in LOS area will spread without any obstruction, but NLOS area will spread with the lower obstruction which is the floor and the lower and upper floor as ceiling.

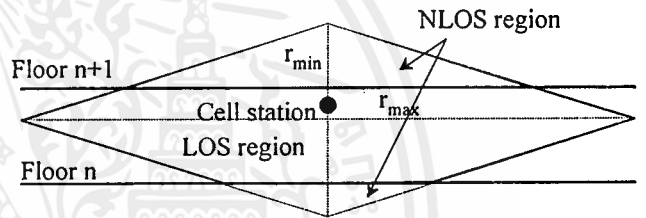


Fig.2. The model of cell station in each floor of building

From this model which can apply to cell station design in high building which has many floors. To set vertical cells which have 8-neighbor cells surrounded, which appropriate for very high building but not too wide.

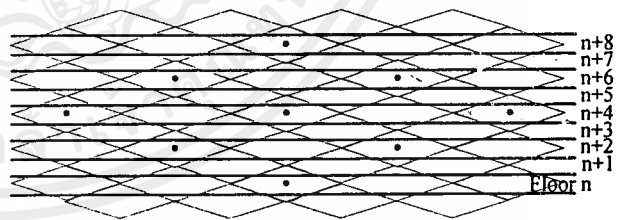


Fig.3 The cell model position in high building, wide not too big

This group is convenient for the high building which has many floor and very wide. Setting the vertical cells must consider with the horizon cells.

The signal level was then measured with NEC CP6H3E1-2A from point to point totaling 288 points 2 meters apart as per Fig.2. All results were analyzed by MATLAB version 5.1.10 as per illustration 3, the result was then compared with that of the theory as per the 4th equation by assuming 10 mW cell stations with 2dBi diversity omnidirectional dipole

antenna and specifying area attenuation as 20dB/Oct. The attenuation factor of brick, concrete and glass walls were 10 dB, 4.5dB and 2dB, respectively.

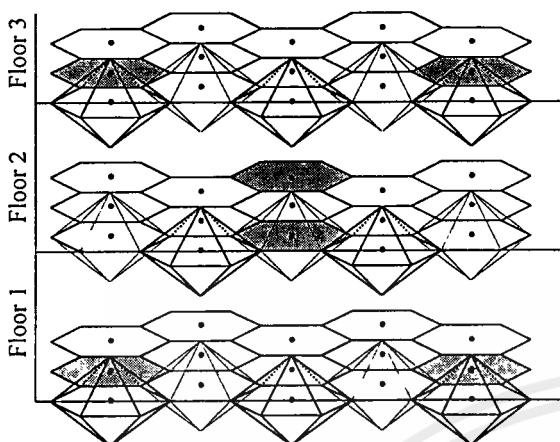


Fig.4 The cell model position in high build wide too big

IV.COMPARISON OF CALCULATED AND EXPERIMENTAL SIGNAL LEVELS

Signal level are measured in real indoor area of the building of the building of Telecommunication department, Faculty of Engineering, KMITL. The contour of calculated and experimental signal were illustrated in Fig 5(a), 4(b) respectively. The comparison between computed values from the 4th equation and measured values along the corridor indicated that the signal levels of the former were slightly higher while in some other areas, signal levels were too weak for operation, such deviations may be occurred due to fading and other factors such as office tools and equipment in each room and etc but not included in the calculation. All the above mentioned may effect the attenuation of the signal.

The measured values of signal levels along the corridor of the Telecommunication Building was show in Fig.6 there were 3 signal level curves, minimum, maximum and average, value deviation was less than 18 dBμ V; these may be due to reflected wave from materials used to construct the building.

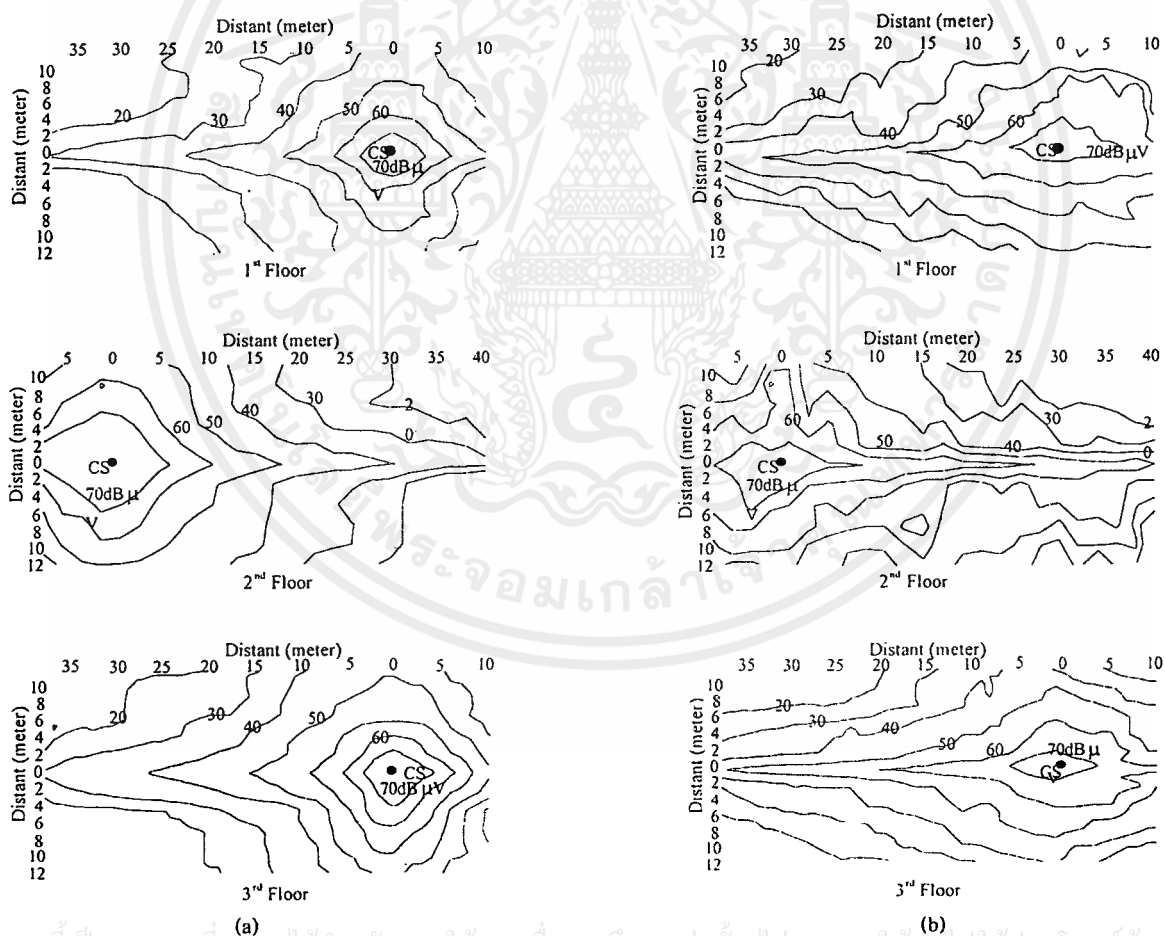


Fig. 5 Contour of signal levels on the 2nd floor of the Telecommunication Building
 (a) Computed values
 (b) Measured values

The comparison of the results from experimental and calculation of the diagonal of the Telecommunication Building was shown in Fig 7. The difference was less than 2 dB μ V. to indicate for indoor cell layout design.

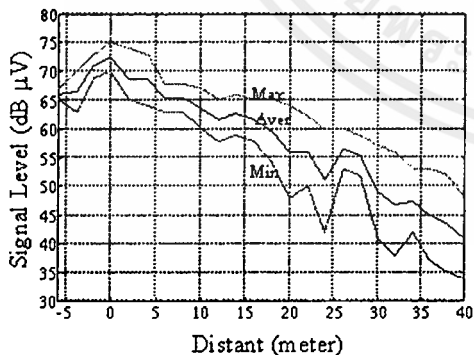
V.CONCLUSION

From the experimental results, it is obviously show that the rectangular model can be represented the coverage area of indoor cells of each floor. The cell arrangement depends on the building type. For the high building but not so wide site, the vertical frequency group is used. The high building with wide size, the cell arrangement should be overlapped. The horizontal model should be as show in Fig.4.

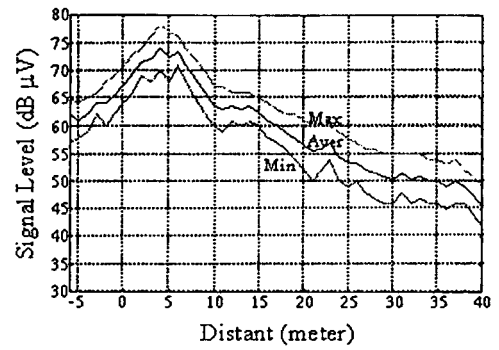
Comparison between experimental and computed signal attenuation results indicated that minimal difference existed in both obstacle and non obstacle conditions because during the design process of the indoor cell layout for the 1900 MHz band, material attenuation factors were taken into consideration. In the case of a material for unknown signal attenuation factor, an experiment can be carried out to determine such factor which can subsequently be used for calculation. While signal deviation is exceed 18 dB, the locations of cell stations have to be changed to ascertain that they are not close to a wave reflective material. In this experiment, signal level deviations were not more than 18 dB, it is acceptable, the change of location is thus deem unnecessary.



(A) 1 st Floor



(B) 2 nd Floor



(C) 3 rd Floor

Fig.6 Measurement of signal levels from the Telecommunication Building.

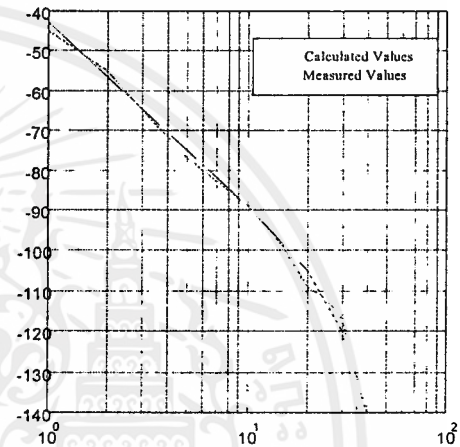


Fig.7 Measurement of diagonal signal attenuation in the Telecommunication Building.

REFERENCE

- [1] Telecomm training Department-TT&D, "PCT Network Introduction," Version 3, November 26, 1997
- [2] S. Y. Seidel and T. S. Rappaport, "914 MHz path loss prediction models for indoor wireless communications in multifloored buildings." *IEEE Trans. Antenna & Propag.*, vol. 40 , no. 2, pp. 207-217, Feb. 1992.
- [3] D. A. Hawbaker and T. S. Rappaport, "Indoor wire band radio wave propagation measurements at 1.3 GHz and 1.4 GHz," *Electronics Letters*, vol. 26, no. 21, pp. 1800-1802, Oct. 1990.
- [4] K.-W. Cheung, J. H.-M. Sau and R. D. Murch, "A new empirical model for indoor propagation prediction." *IEEE Trans. Vehicular Technology*, Vol. 47, No. 3, Aug. 1998.
- [5] F. C. Owen and C. D. Pudney, "Radio propagation for digital cordless telephone at 1700 MHz and 900 MHz," *Electronics Letters*, vol. 25, no. 1, pp. 52-53, Jan. 1989.
- [6] M.V.Clark, V. Erceg and L. J.Greenstein, "Reuse Efficiency in Urban Microcellular Network", *IEEE Trans. Vehicular Technology*, vol. 46, No.2, May 1997.

เอกสารนี้เป็นเอกสารที่สงวนไว้สำหรับการใช้งานเพื่อการศึกษาค้นคว้าเท่านั้น ไม่ควรพิมพ์หรือทำซ้ำโดยไม่ได้รับอนุญาต และต้องอ้างอิงถึงเจ้าของเอกสารทุกครั้งที่มีการนำไปใช้

ประวัติผู้เขียน

นายพิสิฐ บุญศรีเมือง เกิดเมื่อวันที่ 6 กุมภาพันธ์ พ.ศ. 2518 ที่จังหวัดราชบุรี สำเร็จการศึกษาในระดับปริญญาตรีจากคณะวิศวกรรมศาสตร์ สถาบันเทคโนโลยีพระจอมเกล้าเจ้าคุณทหารลาดกระบัง สาขาวิศวกรรมโทรคมนาคม ปีการศึกษา 2540 เข้าศึกษาต่อในปริญญาโท หลักสูตรวิศวกรรมศาสตรมหาบัณฑิต สาขาวิชาวิศวกรรมไฟฟ้า คณะวิศวกรรมศาสตร์ สถาบันเทคโนโลยีพระจอมเกล้าเจ้าคุณทหารลาดกระบัง ในปีการศึกษา 2541 เป็นผู้ช่วยวิจัยโครงการวิจัย ในปี พ.ศ. 2541 และ ปี พ.ศ. 2542

ผลงานทางวิชาการที่ได้รับการตีพิมพ์

1. T. Paungma, P. Moungnoul, P. Boonsrimuang, "Intra Building Cell Stations Placement Prediction Model for Personal Communication Telephone (PCT) System in 1.9GHZ Band", APMC'99, 30 Nov-3 Dec 1999.
2. ณรงค์ กวาทก พิสิฐ บุญศรีเมือง พิเชษ ม่วงนวล และ รศ.ดร. ถวิล พึ่งมา บทความทางวิชาการเรื่อง "เครื่องควบคุมสัญญาณไฟแบบอัตโนมัติโดยใช้ไมโครคอนโทรลเลอร์" การประชุมวิชาการทางวิศวกรรมไฟฟ้า ครั้งที่ 22 คณะวิศวกรรมศาสตร์ เกษตรศาสตร์ 2-3 ธันวาคม 2542
3. ธเนศ พัฒนาคาพงษ์ พิสิฐ บุญศรีเมือง ถวิล พึ่งมา และ มนูญ สุขเกษม บทความทางวิชาการเรื่อง "การออกแบบการวางเซลล์สำหรับให้บริการในพื้นที่สาธารณะในระบบโทรศัพท์พื้นฐานพกพาส่วนบุคคล PCT" การประชุมวิชาการทางวิศวกรรม ไฟฟ้า ครั้งที่ 21 คณะวิศวกรรมศาสตร์ มหาวิทยาลัยเทคโนโลยีพระจอมเกล้าธนบุรี 12-13 พฤศจิกายน 2541

เอกสารนี้เป็นเอกสารที่สงวนไว้สำหรับการใช้งานเพื่อการศึกษาเท่านั้น ไม่อนุญาตให้นำไปใช้ประโยชน์ด้านการค้าไม่ว่ากรณีใดๆทั้งสิ้น อีกทั้งห้ามมิให้ดัดแปลงเนื้อหา และต้องอ้างอิงถึงเจ้าของเอกสารทุกครั้งที่มีการนำไปใช้